

สำนักหอสมุดกลาง พระจอมเกล้าลาดกระบัง

การพัฒนาหุ่นยนต์สำรวจแบบ ROCKER-BOGIE

THE DEVELOPMENT OF ALL TERRAIN ROCKER-BOGIE ROBOT



นายเกรียงไกร แจ่มขุนเทียน
นายคณิต ธรรมกิตติคุณ
นายสุรพร พวงพันธ์บุตร

รฟ.
กจ๕๗๐
๒๕๔๙

เลขหมู่.....

เลขทะเบียน..... 62587

วัน,เดือน,ปี. 19 ส.ค. 2549

b. ๑๑๖๔๕๐๒๘
i.....

ปริญญานิพนธ์นี้เป็นส่วนหนึ่งของการศึกษาตามหลักสูตรปริญญาวิศวกรรมศาสตรบัณฑิต
สาขาวิชาวิศวกรรมการวัดคุม
ภาควิชาวิศวกรรมการวัดคุม คณะวิศวกรรมศาสตร์
สถาบันเทคโนโลยีพระจอมเกล้าเจ้าคุณทหารลาดกระบัง

ปีการศึกษา 2548

เอกสารนี้เป็นเอกสารที่สงวนไว้สำหรับการใช้งานเพื่อการศึกษาเท่านั้น ไม่อนุญาตให้นำไปใช้ประโยชน์ด้านการค้า
ไม่ว่ากรณีใดๆ ทั้งสิ้น อีกทั้งห้ามมิให้ตัดแปลงเนื้อหา และต้องอ้างอิงถึงเจ้าของเอกสารทุกครั้งที่มีการนำไปใช้

THE DEVELOPMENT OF ALL TERRAIN ROCKER-BOGIE ROBOT



A THESIS SUBMITTED IN PARTIAL FULFILLMENT
OF THE REQUIREMENT FOR THE DEGREE OF
BACHELOR OF ENGINEERING IN INSTRUMENTATION ENGINEERING
DEPARTMENT OF INSTRUMENTATION ENGINEERING
FACULTY OF ENGINEERING
KING MONGKUT'S INSTITUTE OF TECHNOLOGY LADKRABANG

เอกสารนี้เป็นเอกสารที่สงวนไว้สำหรับการใช้งานเพื่อการศึกษาเท่านั้น ไม่อนุญาตให้นำไปใช้ประโยชน์ด้านการค้า
ไม่ว่ากรณีใดๆ ทั้งสิ้น อีกทั้งห้ามมิให้ดัดแปลงเนื้อหา และต้องอ้างอิงถึงเจ้าของเอกสารทุกครั้งที่มีการนำไปใช้

ภาควิชาวิศวกรรมการวัดคุม
คณะวิศวกรรมศาสตร์
สถาบันเทคโนโลยีพระจอมเกล้าเจ้าคุณทหารลาดกระบัง
ใบรับรองปริญญาโท

.....

หัวข้อปริญญาโท การพัฒนาหุ่นยนต์สำรวจแบบ ROCKER-BOGIE
THE DEVELOPMENT OF ALL TERRAIN ROCKER-BOGIE
ROBOT

นักศึกษาผู้จัดทำ นายเกรียงไกร แจ่มขุนเทียน รหัสประจำตัว 45010063
นายคณิต ธรรมกิตติคุณ รหัสประจำตัว 45010080
นายสุรพร พวงพันธ์บุตร รหัสประจำตัว 45010872

ปริญญา วิศวกรรมศาสตรบัณฑิต
สาขาวิชา วิศวกรรมการวัดคุม
ปีการศึกษา 2548

อาจารย์ผู้ควบคุมปริญญาโท	ลายมือชื่อ
ดร. พงษ์ชัย นิลาศ	พงษ์ชัย นิลาศ

ภาควิชารับรองแล้ว



(รศ. ประสิทธิ์ จุลเสวีวงศ์)

หัวหน้าภาควิชาวิศวกรรมการวัดคุม

เอกสารนี้เป็นเอกสารที่สงวนไว้สำหรับการใช้งานเพื่อการศึกษาเท่านั้น ไม่อนุญาตให้นำไปใช้ประโยชน์ด้านการค้า
ไม่ว่ากรณีใดๆ ทั้งสิ้น อีกทั้งห้ามมิให้ตัดแปลงเนื้อหา และต้องอ้างอิงถึงเจ้าของเอกสารทุกครั้งที่มีการนำไปใช้

หัวข้อปริญญานิพนธ์	การพัฒนาหุ่นยนต์สำรวจแบบ ROCKER-BOGIE		
	THE DEVELOPMENT OF ALL TERRAIN ROCKER-BOGIE		
	ROBOT		
นักศึกษาผู้จัดทำ	นายเกรียงไกร	แจ่มขุนเทียน	รหัสประจำตัว 45010063
	นายคณิต	ธรรมกิตติคุณ	รหัสประจำตัว 45010080
	นายสุรพร	พวงพันธ์บุตร	รหัสประจำตัว 45010872
อาจารย์ที่ปรึกษา	ดร. พงษ์ชัย	นิลาศ	
ปีการศึกษา	2548		

บทคัดย่อ

ปริญญานิพนธ์นี้ได้นำเสนอการออกแบบและทดลองสร้างหุ่นยนต์ 6 ล้อ ที่มีคุณลักษณะสามารถเคลื่อนที่ข้ามสิ่งกีดขวางที่มีขนาดใหญ่กว่าขนาดของเส้นผ่านศูนย์กลางของล้อ โดยใช้ระบบกลไกช่วงล่างแบบ Rocker-Bogie ซึ่งสามารถทำให้ล้อทั้งหมดทุกล้อสัมผัสอยู่กับผิวของวัตถุที่หุ่นยนต์กำลังเคลื่อนที่ผ่านตลอดเวลา ถึงแม้ว่าจะมีการเคลื่อนที่ผ่านในพื้นที่ที่มีความต่างระดับกันมาก ซึ่งทำให้หุ่นยนต์สามารถส่งถ่ายพลังงานขับไปยังล้อ เพื่อใช้ในการปีนป่ายได้เป็นอย่างดี โดยคณะผู้วิจัยนี้มีความประสงค์ที่จะทำให้หุ่นยนต์สำรวจตัวนี้สามารถเคลื่อนที่ผ่านสิ่งกีดขวางที่วางอยู่ในลักษณะตั้งฉากกับพื้นได้

เอกสารนี้เป็นเอกสารที่สงวนไว้สำหรับการใช้งานเพื่อการศึกษาเท่านั้น ไม่อนุญาตให้นำไปใช้ประโยชน์ด้านการค้า ไม่ว่ากรณีใดๆ ทั้งสิ้น อีกทั้งห้ามมิให้ดัดแปลงเนื้อหา และต้องอ้างอิงถึงเจ้าของเอกสารทุกครั้งที่มีการนำไปใช้

Thesis Title The Development of all Terrain Rocker-Bogie Robot
Author Mr. Kreingkrai Jamkhuntein
 Mr. Kanit Thumkittikun
 Mr. Suraporn Puangpanbute
Thesis Advisor Dr. Phongchai Nilas
Year 2005

ABSTRACT

This Thesis presents the design and development of a six-wheel Rocker-Bogie robot. The unique of this robot is able to claim over obstacles that have the height larger than the robot wheel's diameter. The Rocker-Bogie system automatically adjusts the wheels to touch on the surface of the obstacles at all time , which allows the robot to apply its claiming force more efficiently. The main purpose of this project is to study the Rocker-Bogie system and construct a robot that can overcome the perpendicular obstacle.

เอกสารนี้เป็นเอกสารที่สงวนไว้สำหรับการใช้งานเพื่อการศึกษาเท่านั้น ไม่อนุญาตให้นำไปใช้ประโยชน์ด้านการค้า
ไม่ว่ากรณีใดๆ ทั้งสิ้น อีกทั้งห้ามมิให้ดัดแปลงเนื้อหา และต้องอ้างอิงถึงเจ้าของเอกสารทุกครั้งที่มีการนำไปใช้

กิตติกรรมประกาศ

ปริญญานิพนธ์เรื่อง การพัฒนาหุ่นยนต์สำรวจแบบ Rocker-Bogie สำเร็จลุล่วงไปได้ด้วยดี เพราะได้รับความเมตตาจาก ดร.พงษ์ชัย นิลาศ ซึ่งเป็นอาจารย์ที่ปรึกษาโครงการ และขอขอบพระคุณ รศ.ประภาพร อุคคกิมพันธ์ ผศ.ไสว พงศ์สวัสดิ์ และดร.อำนาจ คณะรัฐ ที่คอยให้คำแนะนำอันมีประโยชน์อย่างยิ่ง รวมไปถึง ดร.รัชทิน จันทร์เจริญ ภาควิศวกรรมเครื่องกล จุฬาลงกรณ์มหาวิทยาลัย สำหรับคำแนะนำและแนวคิดดีๆ ที่ได้กรุณาแนะนำมา

ขอขอบพระคุณภาควิชาวิศวกรรมควบคุม และวิศวกรรมเครื่องกล สำหรับอุปกรณ์และเครื่องมืออำนวยความสะดวกในการทำโครงการ

และที่ลืมเสียไม่ได้คือ ขอกราบขอบพระคุณคุณแม่อันเป็นที่รักยิ่งของเรา ที่คอยให้ความช่วยเหลือ ทั้งด้านกำลังใจทรัพย์และกำลังใจในการทำงานครั้งนี้

คุณค่าและประโยชน์อันพึงมีจากปริญญานิพนธ์ฉบับนี้ ผู้วิจัยขอมอบแด่ผู้มีพระคุณทุกท่าน

คณะผู้จัดทำ

เอกสารนี้เป็นเอกสารที่สงวนไว้สำหรับการใช้งานเพื่อการศึกษาเท่านั้น ไม่อนุญาตให้นำไปใช้ประโยชน์ด้านการค้า ไม่ว่าจะกรณีใดๆ ทั้งสิ้น อีกทั้งห้ามมิให้ดัดแปลงเนื้อหา และต้องอ้างอิงถึงเจ้าของเอกสารทุกครั้งที่มีการนำไปใช้

สารบัญ

	หน้า
บทคัดย่อภาษาไทย.....	I
บทคัดย่อภาษาอังกฤษ.....	II
กิตติกรรมประกาศ.....	III
สารบัญ.....	IV
สารบัญตาราง.....	VII
สารบัญรูป.....	VIII
บทที่ 1 บทนำ.....	1
1.1 วัตถุประสงค์ในการทำปริญญานิพนธ์.....	1
1.2 ขั้นตอนการศึกษา.....	1
1.3 ประโยชน์ที่คาดว่าจะได้รับ.....	2
บทที่ 2 ทฤษฎี และหลักการ.....	3
2.1 หลักการและทฤษฎีที่เกี่ยวข้องที่นำมาใช้.....	3
2.1.1 รูปแบบและสมการทางคณิตศาสตร์ ของระบบช่วงล่างแบบ Rocker-Bogie.....	4
2.1.2 กลไกคิฟเฟอเรนเชียล (Differential joint).....	7
บทที่ 3 การออกแบบระบบควบคุม วงจรขับเคลื่อน และโปรแกรมที่เกี่ยวข้อง.....	9
3.1 ไมโครคอนโทรลเลอร์.....	9
3.1.1 คุณสมบัติทางเทคนิคที่สำคัญของ P89C51RD2B.....	9
3.1.2 การจัดการขาของไมโครคอนโทรลเลอร์.....	11
3.1.3 การเขียนโปรแกรมควบคุมการทำงานของไมโครคอนโทรลเลอร์.....	11
3.1.4 การเขียนโปรแกรมติดต่อกับ PCF8591 เพื่อควบคุมความเร็วของหุ่นยนต์.....	13
3.1.5 หลักการทำงานและคุณสมบัติของระบบบัส I2C.....	15
3.1.5.1 การทำงานบนบัส I2C.....	18

เอกสารนี้เป็นเอกสารที่สงวนไว้สำหรับการใช้งานเพื่อการศึกษาเท่านั้น ไม่อนุญาตให้นำไปใช้ประโยชน์ด้านการค้า
ไม่ว่ากรณีใดๆ ทั้งสิ้น อีกทั้งห้ามมิให้ดัดแปลงเนื้อหา และต้องอ้างอิงถึงเจ้าของเอกสารทุกครั้งที่มีการนำไปใช้

สารบัญ (ต่อ)

	หน้า
3.1.5.2 การเข้าถึงแบบ 7 บิต(7-bit Addressing).....	18
3.1.5.3 การเข้าถึงข้อมูลแบบ 10 บิต(10-bit Addressing).....	19
3.1.5.4 การเขียนโปรแกรมเพื่อติดต่อกับบัส I2C.....	20
3.2 คุณสมบัติทางเทคนิคที่สำคัญของ PCF8591.....	23
3.2.1 ข้อมูลควบคุม.....	24
3.2.2 โครงสร้างโปรแกรมสำหรับติดต่อกับ ไอซี PCF8591.....	26
3.3 การเขียนโปรแกรมสร้างสัญญาณตามความกว้างพัลส์(Pulse-Width Modulation).....	29
3.4 การควบคุมความเร็วของหุ่นยนต์.....	32
3.4.1 หลักการทำงานของดีซีมอเตอร์.....	33
3.4.2 การวัดค่าแรงดันย้อนกลับ.....	35
3.4.3 วงจร Half-Bridge.....	36
3.5 การควบคุมทิศทางของหุ่นยนต์.....	37
3.6 การเคลื่อนที่ของหุ่นยนต์.....	38
3.6.1 ความเร็วของหุ่นยนต์.....	38
3.6.2 การเลี้ยวของหุ่นยนต์.....	39
3.6.2.1 การเลี้ยวแบบกะทันหัน.....	39
3.6.2.2 การเลี้ยวแบบรศมี.....	39
3.6.2.3 การเลี้ยวแบบวงกลม.....	41
3.7 โปรแกรม Rocker-Bogie Robot Control.....	41
3.7.1 การติดต่อกับ Serial Port ด้วย Visual Basic.....	41
3.7.1.1 การเขียนโปรแกรมติดต่อกับ Serial Port.....	43
3.7.1.2 องค์ประกอบในการใช้ MSComm.....	44
3.7.1.3 วิธีการใช้โปรแกรม Rocker-Bogie Robot Control.....	47
บทที่ 4 การทดลอง.....	49
4.1 ขั้นตอนการทดลอง.....	49
4.2 ผลการทดลอง.....	50
4.2.1 การทดลองที่ 1.....	50

เอกสารนี้เป็นเอกสารที่สงวนไว้สำหรับการใช้งานเพื่อการศึกษาเท่านั้น ไม่อนุญาตให้นำไปใช้ประโยชน์ด้านการค้า
ไม่ว่ากรณีใดๆ ทั้งสิ้น อีกทั้งห้ามมิให้ดัดแปลงเนื้อหา และต้องอ้างอิงถึงเจ้าของเอกสารทุกครั้งที่มีการนำไปใช้

สารบัญ (ต่อ)

	หน้า
4.2.2 การทดลองที่ 2.....	53
4.2.3 การทดลองที่ 3.....	54
4.2.4 การทดลองที่ 4.....	54
บทที่ 5 สรุปการทดลอง.....	55
5.1 สรุปผลการทดลอง.....	55
5.1.1 สรุปผลการทดลองที่ 1.....	55
5.1.2 สรุปผลการทดลองที่ 2.....	55
5.1.3 สรุปผลการทดลองที่ 3.....	55
5.1.4 สรุปผลการทดลองที่ 4.....	55
บรรณานุกรม.....	56
ภาคผนวก.....	57

เอกสารนี้เป็นเอกสารที่สงวนไว้สำหรับการใช้งานเพื่อการศึกษาเท่านั้น ไม่อนุญาตให้นำไปใช้ประโยชน์ด้านการค้า
ไม่ว่ากรณีใดๆ ทั้งสิ้น อีกทั้งห้ามมิให้ดัดแปลงเนื้อหา และต้องอ้างอิงถึงเจ้าของเอกสารทุกครั้งที่มีการนำไปใช้

สารบัญตาราง

ตารางที่	หน้า
4.1 ความเร็วในแต่ละเกียร์ที่หุนยนต์วิ่งได้บนพื้นยาง.....	50
4.2 ความเร็วในแต่ละเกียร์ที่หุนยนต์วิ่งได้บนพื้นหญ้า.....	51
4.3 ความเร็วในแต่ละเกียร์ที่หุนยนต์วิ่งได้บนพื้นคอนกรีต.....	51
4.4 ความเร็วในแต่ละเกียร์ที่หุนยนต์วิ่งได้บนพื้นทราย.....	52
4.5 แรงกด (N) ที่เกิดขึ้นแต่ละล้อเมื่อทำการแล่นผ่านพื้นที่มีมุมเอียงต่างๆกัน.....	53



เอกสารนี้เป็นเอกสารที่สงวนไว้สำหรับการใช้งานเพื่อการศึกษาเท่านั้น ไม่อนุญาตให้นำไปใช้ประโยชน์ด้านการค้า
ไม่ว่ากรณีใดๆ ทั้งสิ้น อีกทั้งห้ามมิให้ดัดแปลงเนื้อหา และต้องอ้างอิงถึงเจ้าของเอกสารทุกครั้งที่มีการนำไปใช้

สารบัญรูป

รูปที่	หน้า
2.1 ระบบช่วงล่างแบบ Rocker-Bogie.....	3
2.2 พังวัตถุอิสระของตัวรถ.....	4
2.3 การกำหนดขนาดจริงให้กับพังวัตถุอิสระของตัวรถ.....	6
2.4 ทิศทางการเคลื่อนที่ของชุดกลไกคิฟเฟอเรนเชียล (Differential joint).....	8
2.5 กลไกคิฟเฟอเรนเชียล.....	8
3.1 แสดงขาต่างๆของไมโครคอนโทรลเลอร์ P89C51RD2BN.....	9
3.2 ขาของไมโครคอนโทรลเลอร์.....	11
3.3 Flowchart ควบคุมการทำงานของไมโครคอนโทรลเลอร์.....	12
3.4 สัญญาณดิจิตอลเทียบกับสัญญาณอะนาลอก.....	13
3.5 สัญญาณอะนาลอกคงที่ที่นำมาลบ.....	14
3.6 ช่วงของแรงดันเมื่อนำมาลบกับสัญญาณคงที่ +2.5 Vdc.....	14
3.7 แรงดันเมื่อผ่านตัว Amplifier.....	14
3.8 สัญญาณอินพุตที่เป็นดิจิตอลเทียบกับสัญญาณเอาต์พุตที่เป็นอะนาลอก.....	15
3.9 สภาวะที่เกิดบนบัส I2C.....	16
3.10 Acknowledge บนสาย I2C.....	17
3.11 การส่งข้อมูลแบบ 7 บิตของอุปกรณ์มาสเตอร์.....	18
3.12 การอ่านสัญญาณ Acknowledge ของอุปกรณ์มาสเตอร์แบบ 7 บิต.....	19
3.13 การส่งข้อมูลแบบ 10 บิตของอุปกรณ์มาสเตอร์.....	19
3.14 การอ่านสัญญาณ Acknowledge ของอุปกรณ์มาสเตอร์แบบ 10 บิต.....	19
3.15 ขาของ PCF8591.....	23
3.16 บิตกำหนดคงที่(Fixed Address bit) 4 บิต.....	24
3.17 บิตควบคุมของ PCF8591.....	25
3.18 การเรียกฟังก์ชันการทำงานของบัส I2C.....	27
3.19 การอ่านฟังก์ชันการทำงานของบัส I2C.....	28
3.20 โมดูลวงจรนับโปรแกรมได้(Programmable Counter Array : PCA).....	29
3.21 โครงสร้างการทำงานของโมดูล PCA.....	30
3.22 รีจิสเตอร์ CMOD.....	30
3.23 รีจิสเตอร์ CCAPMn.....	31

เอกสารนี้เป็นเอกสารที่สงวนไว้สำหรับการใช้งานเพื่อการศึกษาเท่านั้น ไมอนุญาตให้นำไปใช้ประโยชน์ด้านการค้า
ไม่ว่ากรณีใดๆ ทั้งสิ้น อีกทั้งห้ามมิให้ดัดแปลงเนื้อหา และต้องอ้างอิงถึงเจ้าของเอกสารทุกครั้งที่มีการนำไปใช้

สารบัญรูป (ต่อ)

รูปที่	หน้า
3.24 วงจรสร้างสัญญาณตามความกว้างพัลส์(Pulse-Width Modulation).....	32
3.25 บล็อกไดอะแกรมของการควบคุมความเร็วของมอเตอร์แบบป้อนกลับ.....	33
3.26 โมเดลของดีซีมอเตอร์แบบแยกขดกระตุ้น.....	34
3.27 บล็อกไดอะแกรมของดีซีมอเตอร์แบบแยกขดกระตุ้น.....	35
3.28 วงจรควบคุมความเร็วดีซีมอเตอร์.....	35
3.29 วงจร Half-Bridge.....	37
3.30 เซอร์โวมอเตอร์.....	37
3.31 ความเร็วของหุ่นยนต์แบ่งตามระดับเกียร์.....	38
3.32 การเลี้ยวแบบกะทันหัน.....	39
3.33 การเลี้ยวแบบรัศมี.....	40
3.34 การเลี้ยวแบบวงกลม.....	41
3.35 วิธีการติดต่อกับ Serial Port.....	43
3.36 Flowchart การส่งข้อมูลให้กับไมโครคอนโทรลเลอร์.....	45
3.37 Flowchart การรับข้อมูลจากไมโครคอนโทรลเลอร์.....	46
3.38 หน้าจอโปรแกรมที่ใช้ในการบังคับหุ่นยนต์ Rocker-Bogie Robot.....	47
4.1 หุ่นยนต์ rocker-bogie เมื่อเสร็จสมบูรณ์.....	49
4.2 พื้นยาง.....	50
4.3 พื้นหญ้า.....	51
4.4 พื้นคอนกรีต.....	52
4.5 พื้นทราย.....	52
4.6 ตำแหน่งอ้างอิงของแต่ละล้อ.....	53
4.7 การไต่ข้ามสิ่งกีดขวางของหุ่นยนต์ rocker-bogie.....	54
4.8 การวิ่งในสภาพภูมิประเทศจริงของหุ่นยนต์ rocker-bogie.....	54

เอกสารนี้เป็นเอกสารที่สงวนไว้สำหรับการใช้งานเพื่อการศึกษาเท่านั้น ไม่อนุญาตให้นำไปใช้ประโยชน์ด้านการค้า
ไม่ว่ากรณีใดๆ ทั้งสิ้น อีกทั้งห้ามมิให้ดัดแปลงเนื้อหา และต้องอ้างอิงถึงเจ้าของเอกสารทุกครั้งที่มีการนำไปใช้

บทที่ 1

บทนำ

ในปัจจุบันนี้หุ่นยนต์เข้ามามีบทบาทมากขึ้นในภาคอุตสาหกรรม หุ่นยนต์ถูกใช้ทั้งในการสำรวจ หรือลำเลียงชิ้นส่วนอุปกรณ์ต่างๆภายในโรงงาน แต่ในระยะหลังได้มีการพัฒนาหุ่นยนต์เคลื่อนที่ได้ (Mobile Robots) เพื่อใช้งานในพื้นที่เสี่ยงอันตรายสำหรับมนุษย์ ซึ่งหุ่นยนต์ประเภทนี้โดยมากจะถูกสร้างให้มีความสามารถในการเคลื่อนที่บนพื้นผิวที่มีความขรุขระมากได้ดี โดยกลไกที่ช่วยสนับสนุนในการเคลื่อนที่บนพื้นผิวเช่นนี้มีอยู่หลายประเภท มีทั้งที่เป็นแบบใช้ล้อ เป็นล้อที่มีสายพาน หรือแบบที่ใช้ขาในการก้าวเดินคล้ายกับแมลง โดยที่กลไกแต่ละแบบแต่ละชนิดก็จะมีข้อดีและข้อเสียเปรียบที่ต่างกันออกไป

ในการศึกษาครั้งนี้ผู้ทำโครงการได้เลือกใช้การขับเคลื่อนแบบใช้ล้อเพราะมีระบบกลไกแบบง่าย โดยศึกษาถึงระบบกลไกที่เหมาะสมในการเคลื่อนที่บนพื้นผิวที่ขรุขระได้ดี ซึ่งจะเลือกใช้ระบบกลไกช่วงล่างที่เรียกว่า Rocker-Bogie ซึ่งระบบช่วงล่างแบบ Rocker-Bogie จะไม่อาศัยสปริงหรือชิ้นส่วนที่มีความยืดหยุ่น ส่งผลให้มีแรงในการขับเคลื่อนดีขึ้น และระบบช่วงล่างดังกล่าวนี้ยังช่วยให้ล้อทุกล้อสัมผัสอยู่กับพื้นตลอดเวลา แม้ว่าจะเคลื่อนที่บนพื้นผิวที่ขรุขระ โดยทำให้คุณลักษณะภายในมีการกระจายน้ำหนักลงสู่ล้อทั้งหมดอย่างสม่ำเสมอ ทำให้มีแรงในการขับเคลื่อนดีขึ้น จากคุณสมบัติดังกล่าวระบบช่วงล่างแบบ Rocker-Bogie จึงสามารถช่วยให้หุ่นยนต์เคลื่อนที่ข้ามสิ่งกีดขวางที่มีขนาดใหญ่กว่าเมื่อเทียบกับขนาดเส้นผ่านศูนย์กลางของล้อได้

1.1 วัตถุประสงค์ในการทำปริญญานิพนธ์

ปริญญานิพนธ์นี้เป็นการศึกษาและออกแบบสร้างหุ่นยนต์ขับเคลื่อน 6 ล้อที่มีกลไกช่วงล่างแบบ Rocker-Bogie เพื่อเป็นการศึกษาถึงความสามารถของหุ่นยนต์ที่มีระบบช่วงล่างประเภทนี้ว่ามีความสามารถในการปีนได้สิ่งกีดขวางที่มีความยากต่อการข้ามมากๆ เช่น วัตถุที่มีความสูงมากกว่าความสูงของล้อของหุ่นยนต์หรือวัตถุที่มีลักษณะตั้งฉากกับพื้นผิว

1.2 ขั้นตอนการศึกษา

การทำปริญญานิพนธ์ฉบับนี้มีขั้นตอนการศึกษาเริ่มจากการศึกษาถึง ทฤษฎี โครงสร้างของระบบช่วงล่างแบบ Rocker-Bogie ซึ่งมีสมการทางคณิตศาสตร์รองรับจากนั้นจึงทำการออกแบบโดยใช้โปรแกรม Solid Work และทำการกัดชิ้นส่วนของหุ่นยนต์เพื่อนำมาประกอบเป็นตัวหุ่นยนต์ จากนั้นก็ทำการออกแบบและสร้างระบบควบคุมทั้งระบบการเคลื่อนที่และระบบบังคับความเร็วโดยเอกสารนี้เป็นเอกสารที่สงวนไว้สำหรับการใช้งานเพื่อการศึกษาเท่านั้น ไม่อนุญาตให้นำไปใช้ประโยชน์ด้านการค้า ไม่ว่าจะกรณีใดๆ ทั้งสิ้น อีกทั้งห้ามมิให้ตัดแปลงเนื้อหา และต้องอ้างอิงถึงเจ้าของเอกสารทุกครั้งที่มีการนำไปใช้

ระบบการเคลื่อนที่ใช้เป็นแบบการควบคุมแรงบิดของแต่ละล้อ (Torque Control) และมีการควบคุมแบบป้อนกลับ(Feedback Control) ส่วนระบบบังคับเลี้ยวใช้มอเตอร์ Servo บังคับเลี้ยว จากนั้นทำการศึกษาและเขียนโปรแกรมที่ใช้ควบคุม โดยใช้โปรแกรม Visual Basic ผู้ควบคุมสามารถควบคุมการเคลื่อนที่ของหุ่นยนต์ผ่านพอร์ตอนุกรมของคอมพิวเตอร์(RS 232)ได้

1.3 ประโยชน์ที่คาดว่าจะได้รับ

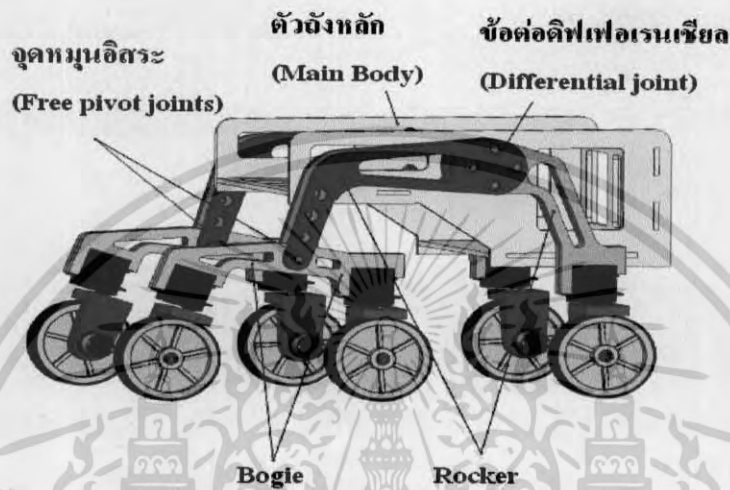
จากการทำปริญญานิพนธ์ทำให้สามารถสร้างหุ่นยนต์ที่มีระบบช่วงล่างแบบ Rocker-Bogie ซึ่งมีความสามารถในการข้ามสิ่งกีดขวางได้เป็นอย่างดี เราสามารถนำไปใช้เป็นหุ่นยนต์สำรวจหรือหุ่นยนต์ปฏิบัติการแทนมนุษย์ในที่มีความเสี่ยงอันตรายหรือที่มีสภาพภูมิประเทศที่ยากต่อการเข้าถึงโดยมนุษย์ และยังสามารถพัฒนาต่อให้มีประสิทธิภาพในหลายๆรูปแบบ ทั้งการควบคุมจากระยะไกลๆ การติดอุปกรณ์ต่างๆ เช่น กล้อง อุปกรณ์ตรวจจับชนิดต่างๆ เพื่อให้เป็นหุ่นยนต์เอนกประสงค์ต่อไป

เอกสารนี้เป็นเอกสารที่สงวนไว้สำหรับการใช้งานเพื่อการศึกษาเท่านั้น ไม่อนุญาตให้นำไปใช้ประโยชน์ด้านการค้า ไม่ว่ากรณีใดๆ ทั้งสิ้น อีกทั้งห้ามมิให้ตัดแปลงเนื้อหา และต้องอ้างอิงถึงเจ้าของเอกสารทุกครั้งที่มีการนำไปใช้

บทที่ 2

ทฤษฎี และหลักการ

2.1 หลักการและทฤษฎีที่เกี่ยวข้องที่นำมาใช้งาน



รูปที่ 2.1 ระบบช่วงล่างแบบ Rocker-Bogie

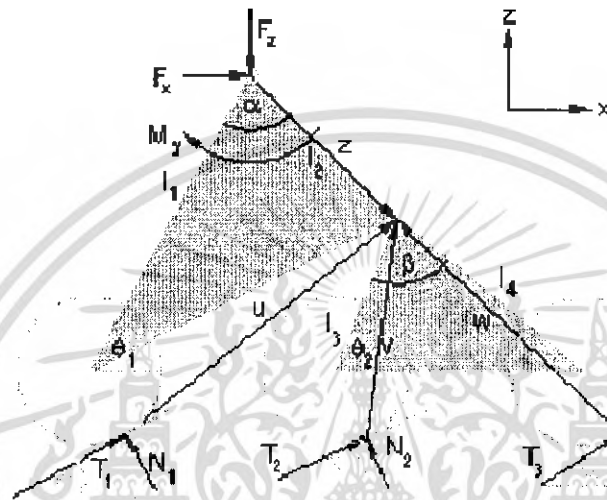
ระบบช่วงล่างแบบ Rocker-Bogie เป็นระบบช่วงล่างที่ทำงานได้ดีที่ความเร็วต่ำ และเป็นแบบ passive โดยล้อขับเคลื่อนทั้ง 6 ล้อจะเป็นอิสระต่อกัน ติดตั้งอยู่บนฐานล้อแบบหมุน (articulated frame) ซึ่งฐานล้อดังกล่าวประกอบขึ้นจากแขนกระดก (rocker arm) จำนวน 2 แขน ประกอบติดกับลำตัว แขนกระดกแต่ละอันจะติดตั้งล้อหลังไว้ที่ปลายด้านหนึ่ง ส่วนปลายอีกด้านหนึ่งจะต่อกับแขนกระดกชุดที่สอง หรือที่เรียกว่า “Bogie” ผ่านจุดหมุนอิสระ (free pivoting joint) โดยที่ปลายทั้งสองของ bogie ติดตั้งด้วยล้อขับเคลื่อน และแขนกระดก (rocker) ติดตั้งกับลำตัวโดยใช้กลไกคิฟเฟอเรนเชียล (differential joint) ซึ่งจะช่วยให้มุมก้มเงย (pitch angle) ของลำตัวเป็นค่าเฉลี่ยระหว่างมุมของแขนกระดกทั้งสองข้าง แสดงดังรูปที่ 2.1 ระบบช่วงล่างแบบ Rocker-Bogie จะทำให้ล้อทุกล้อสัมผัสพื้นอยู่ตลอดเวลา แม้ในขณะที่เคลื่อนที่บนพื้นผิวที่ขรุขระ นอกจากนี้ยังมีการกระจายน้ำหนักลงสู่ล้อทั้งหกอย่างสม่ำเสมอ ทำให้มีแรงขับเคลื่อนที่ดีขึ้น

เมื่อเปรียบเทียบระบบช่วงล่างของการขับเคลื่อนด้วยล้อแบบ 4 ล้อของรถยนต์ และแบบ Rocker-Bogie แล้ว แบบรถยนต์จะใช้ตัวหน่วงหรือที่เรียกว่า แหนบรถยนต์ในการรับน้ำหนักซึ่งมีความยืดหยุ่น ทำให้แรงกดที่พื้นมีค่ามากพอ ซึ่งแรงที่คณนี้จะขึ้นอยู่กับสภาพความขรุขระของพื้นสัมผัส แต่ระบบช่วงล่างแบบ Rocker-Bogie จะใช้กลไกที่มีความเป็นอิสระ ทำให้ล้อสามารถสัมผัสพื้นได้ทุกสภาพความขรุขระของพื้น ทำให้สมรรถนะในการปีนไต่สิ่งกีดขวางดีขึ้น แรงที่กดพื้นของล้อจะไม่ขึ้นอยู่กับความขรุขระของพื้น แต่จะขึ้นอยู่กับมุมที่ล้อสัมผัสพื้น

เอาใจใส่ในการนำเอาเทคโนโลยีที่ทันสมัยมาใช้ในการพัฒนาให้นำไปใช้ประโยชน์ด้านการค้า
ไม่ว่ากรณีใดๆ ทั้งสิ้น อีกทั้งห้ามมิให้คัดแปลงเนื้อหา และต้องอ้างอิงถึงเจ้าของเอกสารทุกครั้งที่มีการนำไปใช้

ด้วยเหตุผลที่กล่าวมา จะเห็นได้ว่าระบบกลไกช่วงล่างแบบ Rocker-Bogie นั้นมีลักษณะ โครงสร้างที่ไม่ซับซ้อน และมีศักยภาพในการเคลื่อนที่บนพื้นผิวที่มีความขรุขระมากได้ดี ทำให้ เหมาะสมกับการใช้เป็นระบบช่วงล่างของยานพาหนะที่ต้องเคลื่อนที่บนสภาพแวดล้อมที่เราไม่ สามารถควบคุมได้

2.1.1 รูปแบบและสมการทางคณิตศาสตร์ของระบบช่วงล่างแบบ Rocker-Bogie



รูปที่ 2.2 ผังวัตถุอิสระของคั้วรถ

F_x : แรงในแนวแกน X

F_z : แรงในแนวแกน Z

Z : ระยะจากจุดหมุนอิสระถึงข้อต่อคิฟเฟอเรนเชียล

M_y : โมเมนต์รอบจุดคิฟเฟอเรนเชียล

I_1 : ระยะจากจุดศูนย์กลางล้อที่ 1 ถึงข้อต่อคิฟเฟอเรนเชียล

I_2 : ระยะจากจุดศูนย์กลางล้อที่ 2 ถึงข้อต่อคิฟเฟอเรนเชียล

I_3 : ระยะจากจุดศูนย์กลางล้อที่ 3 ถึงข้อต่อคิฟเฟอเรนเชียล

U : ระยะจากจุดสัมผัสล้อที่ 1 ถึงจุดหมุนอิสระ

V : ระยะจากจุดสัมผัสล้อที่ 2 ถึงจุดหมุนอิสระ

W : ระยะจากจุดสัมผัสล้อที่ 3 ถึงจุดหมุนอิสระ

α_1 : มุมระหว่างพื้นสัมผัสกับล้อที่ 1

α_2 : มุมระหว่างพื้นสัมผัสกับล้อที่ 2

α_3 : มุมระหว่างพื้นสัมผัสกับล้อที่ 3

T_1 : แรงเสียดทานที่เกิดที่ล้อที่ 1

เอกสารนี้เป็นเอกสารที่สงวนไว้สำหรับการใช้งานเพื่อการศึกษาเท่านั้น ไม่อนุญาตให้นำไปใช้ประโยชน์ด้านการค้า
ไม่ว่ากรณีใดๆ ทั้งสิ้น อีกทั้งห้ามมิให้ดัดแปลงเนื้อหา และต้องอ้างอิงถึงเจ้าของเอกสารทุกครั้งที่มีการนำไปใช้

T_2 : แรงเสียดทานที่เกิดที่ล้อที่ 2

T_3 : แรงเสียดทานที่เกิดที่ล้อที่ 3

N_1 : แรงกดที่พื้นกระทำกับล้อที่ 1

N_2 : แรงกดที่พื้นกระทำกับล้อที่ 2

N_3 : แรงกดที่พื้นกระทำกับล้อที่ 3

จากรูปที่ 2.2 เขียนสมการสมดุลของผังวัตถุอิสระได้ดังนี้

$$\sum F_x ; T_1c_1 + T_2c_2 + T_3c_3 - N_1s_1 - N_2s_2 - N_3s_3 + F_x = ma \quad (2-1)$$

$$\sum F_y ; T_1c_1 + T_2c_2 + T_3c_3 + N_1s_1 + N_2s_2 + N_3s_3 + F_z = 0 \quad (2-2)$$

$$\sum M_{y_i} ; T_1c_1u_z - T_1s_1u_x - N_1c_1u_z - N_1s_1u_x - F_xz_z + F_zz_x - M_y = 0 \quad (2-3)$$

$$\sum M_{y_o} ; T_2c_2v_z - T_2s_2v_x - N_2c_2v_x - N_2s_2v_z + T_3c_3w_z + T_3s_3w_x + N_3s_3w_x + N_3c_3w_x - N_3s_3w_z = 0 \quad (2-4)$$

โดยที่ $c_i = \cos(\alpha_i)$ และ $s_i = \sin(\alpha_i)$; $i=1,2,3$ กำหนด $T \leq \mu N$ และ $N > 0$

จาก 4 สมการหลักข้างต้นนำมาแทนค่าและทำการจัดเรียงใหม่

จากสมการ (2-1) ได้

$$\mu N_1 \cos(\alpha_1) + \mu N_2 \cos(\alpha_2) + \mu N_3 \cos(\alpha_3) - N_1 \sin(\alpha_1) - N_2 \sin(\alpha_2) - N_3 \sin(\alpha_3) + F_x = ma \quad (2-5)$$

$$(\mu \cos(\alpha_1) - \sin(\alpha_1))N_1 + (\mu \cos(\alpha_2) - \sin(\alpha_2))N_2 + (\mu \cos(\alpha_3) - \sin(\alpha_3))N_3 + F_x = ma \quad (2-5a)$$

จากสมการ (2-2) ได้

$$\mu N_1 \sin(\alpha_1) + \mu N_2 \sin(\alpha_2) + \mu N_3 \sin(\alpha_3) + N_1 \cos(\alpha_1) + N_2 \cos(\alpha_2) + N_3 \cos(\alpha_3) - F_z = 0 \quad (2-6)$$

$$(\mu \sin(\alpha_1) + \cos(\alpha_1))N_1 + (\mu \sin(\alpha_2) + \cos(\alpha_2))N_2 + (\mu \sin(\alpha_3) + \cos(\alpha_3))N_3 - F_z = 0 \quad (2-6a)$$

จากสมการ (2-3) ได้

$$\mu N_1 \cos(\alpha_1)u_z - \mu N_1 \sin(\alpha_1)u_x - \cos(\alpha_1)N_1u_x - \sin(\alpha_1)N_1u_z - F_xz_z + F_zz_x - M_y = 0 \quad (2-7)$$

$$(\mu \cos(\alpha_1)u_z - \mu \sin(\alpha_1)u_x - \cos(\alpha_1)u_x - \sin(\alpha_1)u_z)N_1 - F_xz_z + F_zz_x - M_y = 0 \quad (2-7a)$$

จากสมการ (2-4) ได้

$$\begin{aligned} & \mu N_2 \cos(\alpha_2)v_z - \mu N_2 \sin(\alpha_2)v_x - \cos(\alpha_2)N_2v_x - \sin(\alpha_2)N_2v_z + \cos(\alpha_3)\mu N_3w_z + \mu N_3 \sin(\alpha_3)w_z \\ & + N_3 \cos(\alpha_3)w_x - N_3 \sin(\alpha_3)w_z = 0 \end{aligned} \quad (2-8)$$

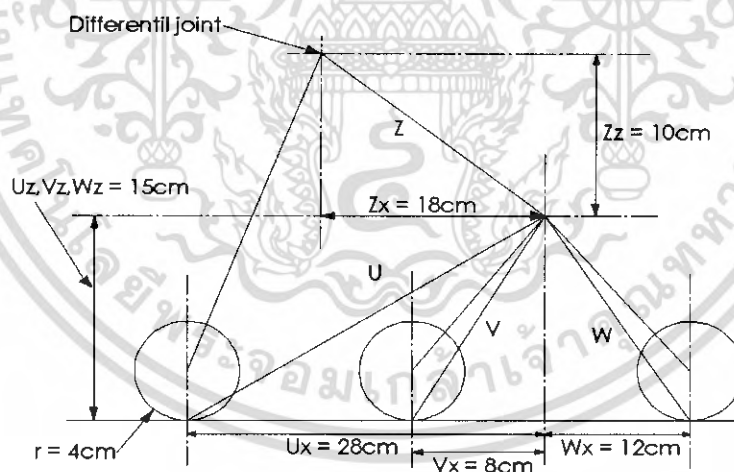
$$(\mu \cos(\alpha_2)v_z - \mu \sin(\alpha_2)v_x - \cos(\alpha_2)v_x - \sin(\alpha_2)v_z)N_2 + (\mu \cos(\alpha_3)w_z + \mu \sin(\alpha_3)w_z + \cos(\alpha_3)w_x - \sin(\alpha_3)w_z)N_3 = 0 \quad (2-8a)$$

เอกสารนี้เป็นเอกสารที่สงวนไว้สำหรับการใช้งานเพื่อการศึกษาเท่านั้น ไม่อนุญาตให้นำไปใช้ประโยชน์ด้านการค้า
ไม่ว่ากรณีใดๆ ทั้งสิ้น อีกทั้งห้ามมิให้ตัดแปลงเนื้อหา และต้องอ้างอิงถึงเจ้าของเอกสารทุกครั้งที่มีการนำไปใช้

จากสมการที่ (2.51) , (2.61) , (2.71) และ (2.81) นำมาเขียนเป็นแบบจำลองทางคณิตศาสตร์ของระบบนี้ ได้เป็น

$$\begin{bmatrix} (\mu \cos \alpha_1 - \sin \alpha_1) & (\mu \cos \alpha_2 - \sin \alpha_2) & & & \\ (\mu \sin \alpha_1 - \cos \alpha_1) & (\mu \sin \alpha_2 - \cos \alpha_2) & & & \\ (\mu \cos \alpha_1 u_z - \mu \sin \alpha_1 u_x) & & 0 & & \\ -\cos \alpha_1 \mu_x - \sin \alpha_1 u_z) & & & & \\ 0 & (\mu \cos \alpha_2 v_z - \mu \sin \alpha_2 v_x) & & & \\ & -\cos \alpha_2 v_x - \sin \alpha_2 v_z) & & & \\ (\mu \cos \alpha_3 - \sin \alpha_3) & 1 & 0 & 0 & \\ (\mu \sin \alpha_3 - \cos \alpha_3) & 0 & -1 & 0 & \\ 0 & -Z_z & Z_x & -1 & \\ (\mu \cos \alpha_3 w_z + \mu \sin \alpha_3 w_x) & & & & \\ + \cos \alpha_3 w_x - \sin \alpha_3 w_z) & & & & \end{bmatrix} \begin{bmatrix} N_1 \\ N_2 \\ N_3 \\ F_x \\ F_z \\ M_y \end{bmatrix} = \begin{bmatrix} ma \\ 0 \\ 0 \\ 0 \end{bmatrix} \quad (2-9)$$

จากโมเดลทางคณิตศาสตร์นี้ทำให้หาค่าพารามิเตอร์ต่างๆที่เหมาะสมได้ โดยได้ทำการออกแบบโครงสร้างออกมา ดังรูปที่ 2.3



รูปที่ 2.3 การกำหนดขนาดจริงให้กับผังวัดอุทิสระของตัวรถ

เมื่อคิดแรงในสภาวะปกติที่รถเคลื่อนที่ไปในแนวแกน X ที่มุม $\alpha_i = 0$, $\mu = 0.5$ แล้วแทนค่าพารามิเตอร์ต่างๆ ลงใน 4 สมการหลัก จะได้ค่า ดังนี้

เอกสารนี้เป็นเอกสารที่สงวนไว้สำหรับการใช้งานเพื่อการศึกษาเท่านั้น ไม่อนุญาตให้นำไปใช้ประโยชน์ด้านการค้าไม่ว่ากรณีใดๆ ทั้งสิ้น อีกทั้งห้ามมิให้ดัดแปลงเนื้อหา และต้องอ้างอิงถึงเจ้าของเอกสารทุกครั้งที่มีการนำไปใช้

$$0.5N_1 + 0.5N_2 + 0.5N_3 + F_x = 0 \quad (2-10)$$

$$N_1 + N_2 + N_3 = 73.575 \quad (2-11)$$

$$-0.205N_1 - 0.10F_x - M_y = -13.2435 \quad (2-12)$$

$$-0.005N_2 + 0.195 N_3 = 0 \quad (2-13)$$

ซึ่งที่สภาวะพื้นเรียบกำหนดให้ $N_1 = N_2 = N_3$ จะได้

$$1.5N_1 + F_x = 0 \quad (2-14)$$

$$3N_1 = 73.575 \quad (2-15)$$

$$-0.205N_1 - 0.10F_x - M_y = -13.2435 \quad (2-12)$$

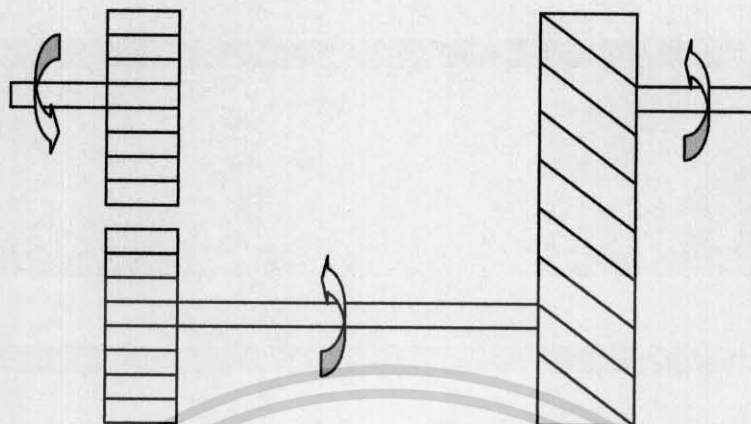
$$0.19 N_1 = 0 \quad (2-16)$$

เมื่อทำการแก้สมการทั้ง 4 สมการจะได้ค่าออกมาดังนี้ $N_1 = N_2 = N_3 = 24.525$, $F_x = -36.78$, $M_y = 11.8946$ พบว่า เราต้องทำการวางน้ำหนัก ให้ได้ โมเมนต์รอบจุด differential joint เท่ากับ 11.8946 N.m

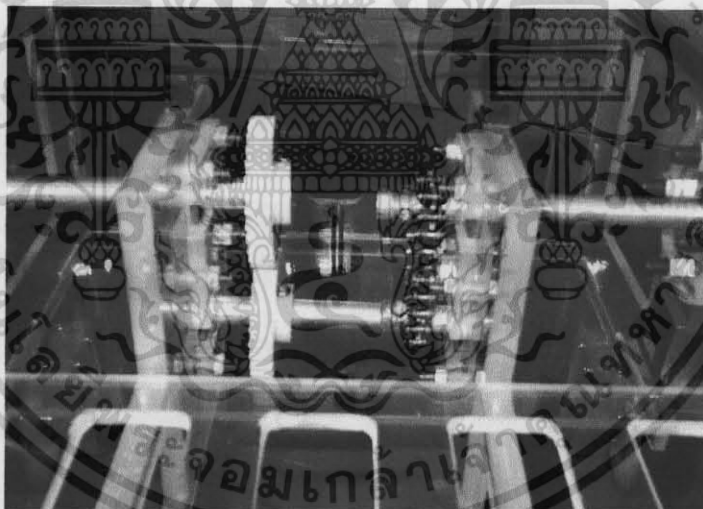
2.1.2 กลไกดิฟเฟอเรนเชียล (Differential joint)

กลไกดิฟเฟอเรนเชียล (Differential joint) เป็นกลไกที่สำคัญในหุ่นยนต์ที่ใช้ระบบช่วงล่างแบบ Rocker-Bogie ซึ่งจะช่วยให้ระบบช่วงล่างของ (Differential joint) ล้อมีการสัมผัสพื้นทุกล้อ เมื่อมีการยกตัวขึ้นของล้อใดล้อหนึ่งหรือมากกว่าหนึ่งล้อ โดยล้อที่เหลือจะสัมผัสกับพื้นได้ทุกล้อ กลไกของหุ่นยนต์ตัวนี้ใช้ ชุดเฟืองขับ และชุดเฟืองสายพาน เป็นตัวควบคุมความสัมพันธ์ระหว่างขาทั้งสองข้างของตัวหุ่นยนต์ โดยเมื่อขาอีก ข้างของตัวหุ่นยนต์มีการขยับตัวขึ้นหรือลง ขาอีกข้างของหุ่นยนต์ก็จะเคลื่อนที่ในทิศทางตรงกันข้าม ดังรูปที่ 2.7

เอกสารนี้เป็นเอกสารที่สงวนไว้สำหรับการใช้งานเพื่อการศึกษาเท่านั้น ไม่อนุญาตให้นำไปใช้ประโยชน์ด้านการค้า
ไม่ว่ากรณีใดๆ ทั้งสิ้น อีกทั้งห้ามมิให้ดัดแปลงเนื้อหา และต้องอ้างอิงถึงเจ้าของเอกสารทุกครั้งที่มีการนำไปใช้



รูปที่ 2.4 ทิศทางการเคลื่อนที่ของชุดกลไกคิฟเฟอเรนเชียล (Differential joint)



รูปที่ 2.5 กลไกคิฟเฟอเรนเชียล

เอกสารนี้เป็นเอกสารที่สงวนไว้สำหรับการใช้งานเพื่อการศึกษาเท่านั้น ไม่อนุญาตให้นำไปใช้ประโยชน์ด้านการค้า
ไม่ว่ากรณีใดๆ ทั้งสิ้น อีกทั้งห้ามมิให้ดัดแปลงเนื้อหา และต้องอ้างอิงถึงเจ้าของเอกสารทุกครั้งที่มีการนำไปใช้

บทที่ 3

การออกแบบระบบควบคุม วงจรขับเคลื่อนมอเตอร์ และโปรแกรมที่เกี่ยวข้อง

หลักการการทำงานของหุ่นยนต์

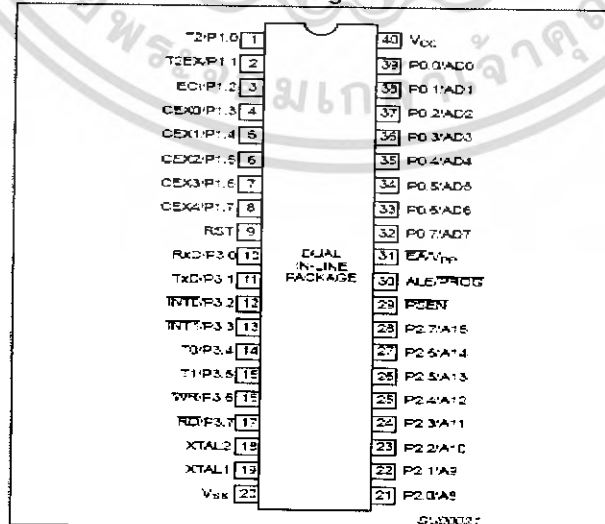
หลักการการทำงานของหุ่นยนต์นั้นจะเริ่มจากการรับคำสั่งต่างๆจากโปรแกรม Rocker-Bogie Robot Control ที่ถูกพัฒนาขึ้นด้วยโปรแกรม Visual Basic ซึ่งจะติดต่อกับหุ่นยนต์ผ่านสายสัญญาณอนุกรม RS-232 เพื่อส่งคำสั่งต่างๆไปประมวลผลที่ไมโครคอนโทรลเลอร์ซึ่งถูกติดตั้งที่หุ่นยนต์แล้วส่งค่าสัญญาณสังเกตต่างๆกลับ ไปแสดงผลที่โปรแกรม Rocker-Bogie Robot Control โดยที่สามารถแบ่งออกเป็นหัวข้อต่างๆ ได้ดังนี้

3.1 ไมโครคอนโทรลเลอร์

ไมโครคอนโทรลเลอร์ถือเป็นหัวใจหลักในการควบคุมการทำงานของหุ่นยนต์ โดยจะเป็นตัวติดต่อกับโปรแกรม Rocker-Bogie Robot Control เพื่อรับคำสั่งในการทำงานผ่านสายสัญญาณอนุกรม RS-232 และควบคุมความเร็วและทิศทางของหุ่นยนต์ อีกทั้งยังส่งค่าสัญญาณสังเกตกลับ ไปแสดงผลที่โปรแกรม Rocker-Bogie Robot Control ด้วย โดยคณะผู้จัดทำจะใช้ไมโครคอนโทรลเลอร์ Phillips เบอร์ P89C51RD2BN

3.1.1 คุณสมบัติทางเทคนิคที่สำคัญของ P89C51RD2B

PINNING
Plastic Dual In-Line Package

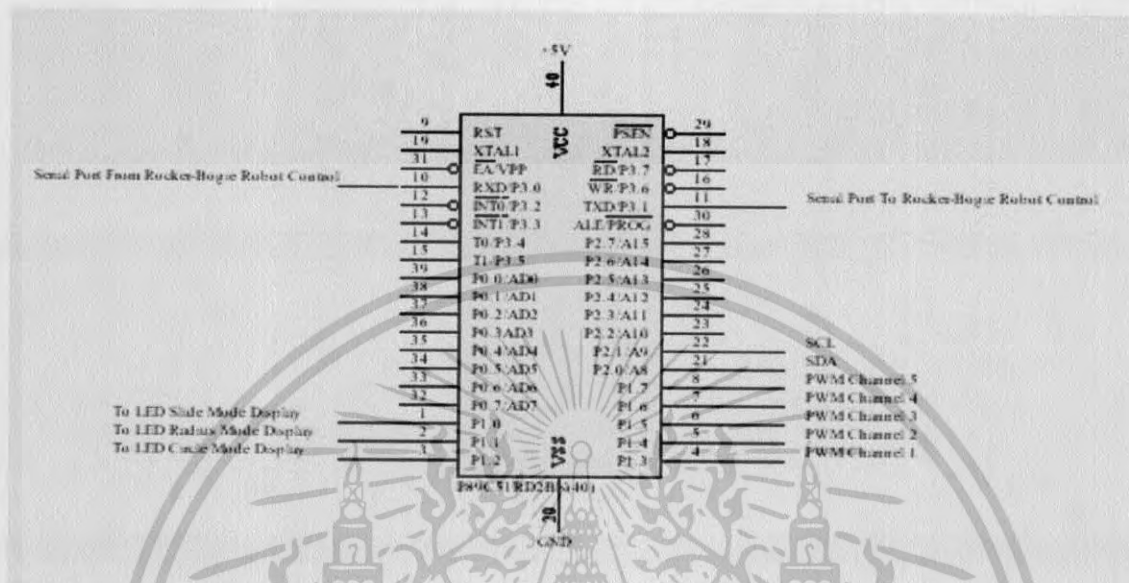


รูปที่ 3.1 แสดงขาต่างๆของไมโครคอนโทรลเลอร์ P89C51RD2BN

เอกสารนี้เป็นเอกสารที่สงวนไว้สำหรับบริการเชิงงานเพื่อการศึกษาเท่านั้น ไม่อนุญาตให้นำไปใช้ประโยชน์ด้านการค้าไมโครคอนโทรลเลอร์ P89C51RD2HBP มีคุณสมบัติพื้นฐาน ดังนี้
ไม่ว่ากรณีใดๆ พงษ์สนธิ์ อภินันท์ ผลิตและเผยแพร่โดย พงษ์สนธิ์ อภินันท์ ขอสงวนสิทธิ์ในเอกสารทุกครั้งที่มีการนำไปใช้

3.1.2 การจัดการขาของไมโครคอนโทรลเลอร์

ในการสร้างหุ่นยนต์ Rocker-Bogie นี้ ทางคณะผู้จัดทำได้มีการจัดการขาอินพุตเอาต์พุตต่างๆของไมโครคอนโทรลเลอร์ ดังรูปที่ 3.2



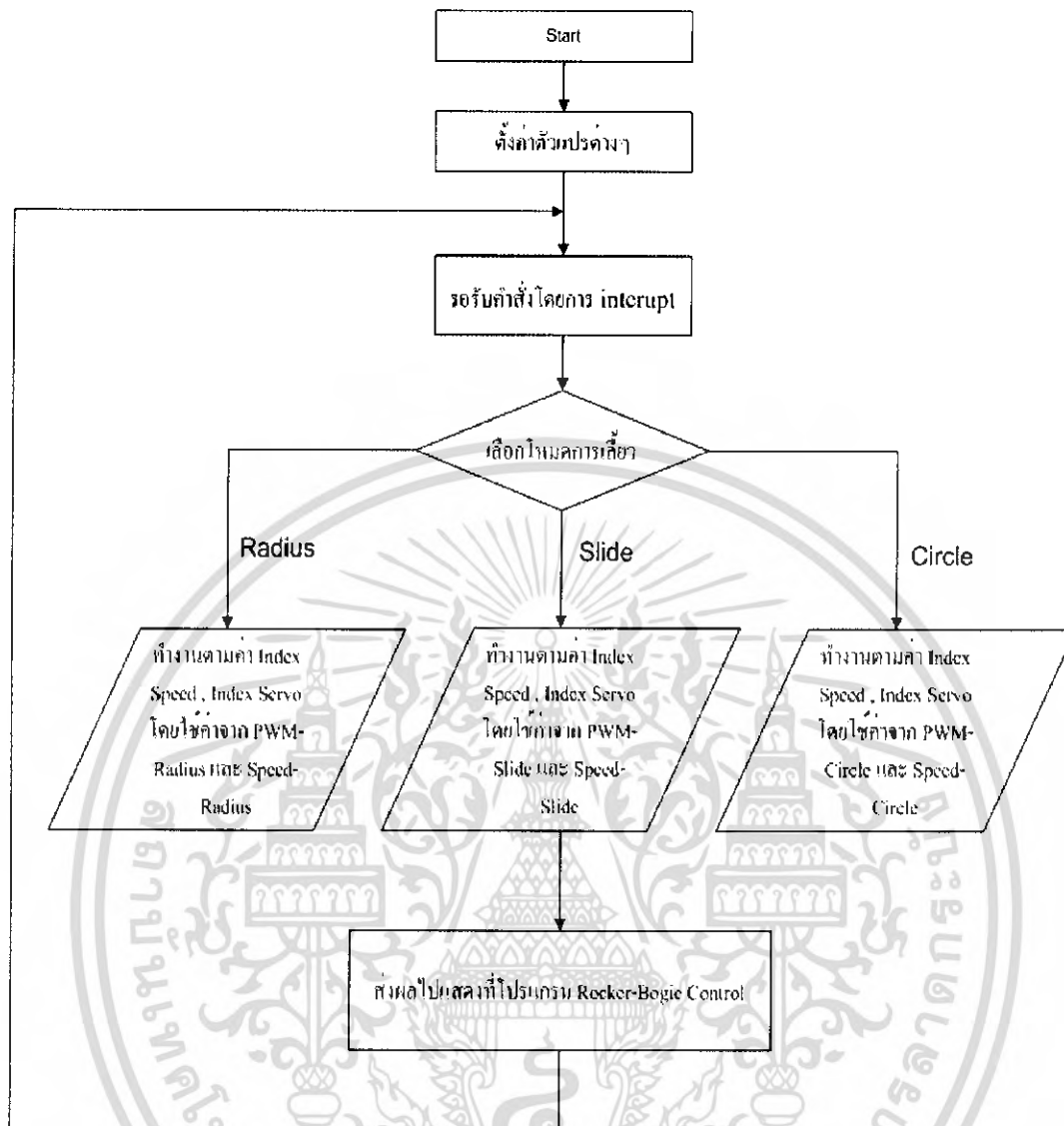
รูปที่ 3.2 ขาของไมโครคอนโทรลเลอร์

- RxD และ TxD ใช้ในการติดต่อสื่อสารกับ โปรแกรม Rocker-Bogie Robot Control ผ่านทางสายสัญญาณอนุกรม RS-232
- P2.0 และ P2.1 ใช้เป็นขาสัญญาณ SDA และ SCL ตามลำดับ เพื่อติดต่อกับไอซี PCF8591 ซึ่งเป็น 4 Channel A/D และ 1 Channel D/A ซึ่งจะติดต่อกันด้วยโปรโตคอล I2C (I2C Protocol , I2C Bus) เพื่อแปลงสัญญาณดิจิทัลไปเป็นสัญญาณอะนาลอกซึ่งใช้ในการควบคุมความเร็วของมอเตอร์กระแสตรงทั้ง 6 ตัว
- P1.4 ถึง P1.7 (CEX0-CEX4) จะใช้ไมโครทวจนับ โปรแกรมได้ (PCA : Programmable Counter Array) เพื่อสร้างสัญญาณตามความกว้างพัลส์ (Pulse-Width Modulation) 5 ช่องทางเพื่อใช้ควบคุมการทำงานของเซอร์โวมอเตอร์ทั้ง 6 ตัว
- P1.0 ถึง P1.2 ใช้ควบคุม LED ที่ใช้แสดงผลสถานะการเลี้ยวของหุ่นยนต์ โดยที่ P1.0 เป็นการเลี้ยวแบบกะทันหัน , P1.1 เป็นการเลี้ยวแบบรัศมี และ P1.2 เป็นการเลี้ยวแบบวงกลม

3.1.3 การเขียนโปรแกรมควบคุมการทำงานของไมโครคอนโทรลเลอร์

คณะผู้จัดทำได้เลือกใช้ภาษาซีในการเขียน โปรแกรมควบคุมการทำงานของ ไมโครคอนโทรลเลอร์และใช้คอมไพเลอร์ของ RIDE เพื่อความสะดวกในการเขียนโปรแกรม ซึ่งการเขียนโปรแกรมควบคุมการทำงานของไมโครคอนโทรลเลอร์นั้นมี Flowchart ดังรูปที่ 3.3

เอกสารนี้เป็นเอกสารที่สงวนไว้สำหรับการใช้งานเพื่อการศึกษาเท่านั้น ไมออนุญาตนำไปใช้ประโยชน์ด้านการค้าไม่ว่ากรณีใดๆ ทั้งสิ้น อีกทั้งห้ามมิให้ดัดแปลงเนื้อหา และต้องอ้างอิงถึงเจ้าของเอกสารทุกครั้งที่มีการนำไปใช้



รูปที่ 3.3 Flowchart ควบคุมการทำงานของไมโครคอนโทรลเลอร์

โดยที่จะเริ่มจากการตั้งค่าของตัวแปรต่างๆ (Initial) เช่น ตั้งค่ารูปแบบการเคลื่อนที่เป็นแบบกะทันหัน, ตั้งค่าความเร็วเป็นศูนย์, ตั้งค่าการเคลื่อนที่เป็นศูนย์ จากนั้นจะรอรับคำสั่งจากโปรแกรม Rocker-Bogie Robot Control คือ คำสั่งเดินหน้า, คำสั่งถอยหลัง, คำสั่งเลี้ยวซ้าย, คำสั่งเลี้ยวขวา, คำสั่งหยุด และคำสั่งเลือกรูปแบบการเคลื่อนที่ผ่านทางสายสัญญาณอนุกรม RS-232 ที่ต่ออยู่กับ RxD และ TxD ด้วยการอินเทอร์รัปต์ของสัญญาณอนุกรม แล้วจึงตรวจสอบคำสั่งที่รับมาว่าคืออะไร แล้วทำการประมวลผลตามคำสั่งนั้นๆ แล้วก็กลับไปรอรับคำสั่งอีกครั้งซึ่งจะวนทำงานอย่างนี้ตลอดไป ซึ่งการเขียนโปรแกรมควบคุมการทำงานของไมโครคอนโทรลเลอร์นั้นสามารถแบ่งออกเป็น 2 หัวข้อหลักๆ ได้ดังนี้

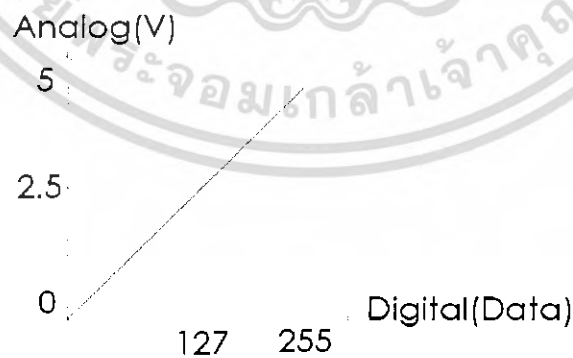
เอกสารนี้เป็นเอกสารที่สงวนไว้สำหรับการใช้งานเพื่อการศึกษาเท่านั้น ไม่อนุญาตให้นำไปใช้ประโยชน์ด้านการค้า ไม่ว่าจะกรณีใดๆ ทั้งสิ้น อีกทั้งห้ามมิให้ดัดแปลงเนื้อหา และต้องอ้างอิงถึงเจ้าของเอกสารทุกครั้งที่มีการนำไปใช้

3.1.4 การเขียนโปรแกรมติดต่อกับ PCF8591 เพื่อควบคุมความเร็วของหุ่นยนต์

การติดต่อกับไอซี PCF8591 นั้นจะกระทำเพื่อแปลงค่าสัญญาณควบคุมความเร็วจากรูปแบบของสัญญาณดิจิทัลไปเป็นสัญญาณอนาล็อกเพื่อควบคุมการทำงานของวงจร Half-Bridge ที่ควบคุมความเร็วของมอเตอร์กระแสตรง ซึ่งก็คือความเร็วของหุ่นยนต์นั่นเอง เนื่องจากการควบคุมให้หุ่นยนต์เดินหน้าหรือถอยหลังได้นั้น วงจร Half-Bridge ต้องการแรงดันที่มีค่าเป็นบวกที่อยู่ในช่วง 0 ถึง +12 Vdc เพื่อให้หุ่นยนต์เดินหน้า และต้องการแรงดันไฟลบที่อยู่ในช่วง 0 ถึง -12 Vdc เพื่อให้หุ่นยนต์ถอยหลัง จะพบว่าวงจร Half-Bridge นั้นต้องการสัญญาณอนาล็อกที่มีแรงดันในช่วง -12 ถึง +12 Vdc แต่สัญญาณที่ออกจากไมโครคอนโทรลเลอร์นั้นเป็นสัญญาณดิจิทัล 0 ถึง +5 Vdc ซึ่งจะพบว่าไม่สามารถใช้ร่วมกันได้ โดยจะมีปัญหาที่เกิดขึ้นคือ รูปแบบของสัญญาณไม่ตรงกันและระดับแรงดันไม่ตรงกัน

ทางคณะผู้จัดทำจึงได้ใช้ไอซี PCF8591 เพื่อแปลงรูปแบบของสัญญาณจากสัญญาณดิจิทัลไปเป็นสัญญาณอนาล็อก เพื่อแก้ปัญหารูปแบบของสัญญาณที่ไม่ตรงกัน โดยที่ไอซี PCF8591 จะทำการแปลงค่าสัญญาณดิจิทัลขนาด 8 บิตไปเป็นสัญญาณอนาล็อก 0 ถึง +5 Vdc ตามรูปที่ 3.4 จากนั้นนำสัญญาณอนาล็อกที่ได้ไปลบกับค่าสัญญาณคงที่(Constant Voltage Signal) +2.5 Vdc เพื่อสร้างสัญญาณแรงดันบวกและลบ โดยจะมีค่าอยู่ในช่วง -2.5 ถึง +2.5 Vdc คือเมื่อสัญญาณอนาล็อก +5 Vdc มาลบกับสัญญาณคงที่ +2.5 Vdc จะได้แรงดัน +2.5 Vdc แต่เมื่อสัญญาณอนาล็อก 0 Vdc มาลบกับสัญญาณคงที่ +2.5 Vdc จะได้แรงดัน -2.5 Vdc

จากนั้นนำสัญญาณอนาล็อกในช่วง -2.5 ถึง +2.5 Vdc มาขยายสัญญาณโดยใช้ Operational Amplifier ด้วยอัตราขยาย G1 เพื่อให้มีแรงดันอยู่ในช่วง -12 ถึง +12 Vdc เพื่อใช้กับวงจร Half-Bridge



รูปที่ 3.4 สัญญาณดิจิทัลเทียบกับสัญญาณอนาล็อก

Analog(V)

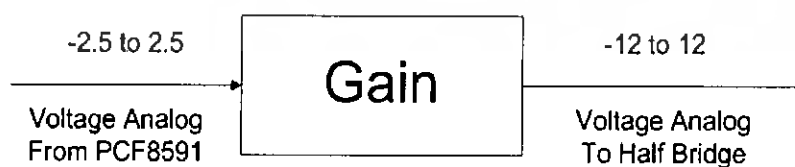
2.5

†

รูปที่ 3.5 สัญญาณอะนาลอกที่นำมาลบ



รูปที่ 3.6 ช่วงของแรงดันเมื่อนำมาลบกับสัญญาณคงที่ +2.5 Vdc



รูปที่ 3.7 แรงดันเมื่อผ่านตัว Amplifier

เอกสารนี้เป็นเอกสารที่สงวนไว้สำหรับการใช้งานเพื่อการศึกษาเท่านั้น ไม่อนุญาตให้นำไปใช้ประโยชน์ด้านการค้า
ไม่ว่ากรณีใดๆ ทั้งสิ้น อีกทั้งห้ามมิให้ตัดแปลงเนื้อหา และต้องอ้างอิงถึงเจ้าของเอกสารทุกครั้งที่มีการนำไปใช้

ซึ่งในการกำหนดค่าของสัญญาณควบคุมความเร็วนั้นซึ่งเป็นรูปแบบของสัญญาณดิจิทัลขนาด 8 บิตนั้นจะกำหนดโดย 0x7F ถึง 0x00 เป็นการสัญญาณควบคุมความเร็วถอยหลัง และ 0x7F ถึง 0xFF เป็นการสัญญาณควบคุมความเร็วเดินหน้า ดังรูปที่ 3.8

Output Analog(V)

2.5

Input Digital(Data)

125 255

-2.5

รูปที่ 3.8 สัญญาณอินพุตที่เป็นดิจิทัลเทียบกับสัญญาณเอาต์พุตที่เป็นอนาลอก

ไอซี PCF8591 นั้นเป็นไอซีที่ทำงานบนระบบบัส I2C (Inter-IC Communication) ดังนั้นจึงควรศึกษาการทำงานของระบบบัส I2C เสียก่อน

3.1.5 หลักการทำงานและคุณสมบัติของระบบบัส I2C

I2C ย่อมาจาก Inter-IC Communication หมายถึง การติดต่อสื่อสารระหว่างไอซีโดยบัส I2C ได้รับการพัฒนาขึ้นโดยบริษัท Phillips ด้วยจุดมุ่งหมายหลักคือ ต้องการให้ไอซีหรือโมดูลสามารถติดต่อ สั่งงาน และควบคุมภายใต้สายสัญญาณเพียง 2 เส้น เส้นหนึ่งคือสายข้อมูล และอีกเส้นหนึ่งคือ สายสัญญาณนาฬิกาที่ใช้ในการกำหนดจังหวะการทำงาน การต่อร่วมกันของอุปกรณ์บนบัส I2C ทำได้ง่ายมาก เพียงต่อสายข้อมูลและสายสัญญาณนาฬิกาของอุปกรณ์แต่ละตัวขนานหรือพ่วงกันไป ส่วนการกำหนดแอดเดรสหรือตำแหน่งสำหรับอุปกรณ์แต่ละตัว จะใช้รหัสข้อมูลและการกำหนดสภาวะลอจิกที่ขาแอดเดรสของอุปกรณ์แต่ละตัว

สายข้อมูลบนบัส I2C มีชื่อเรียกอย่างเป็นทางการว่า สายข้อมูลอนุกรม หรือ SDA (Serial Data Line) ส่วนสายสัญญาณนาฬิกามีชื่อเรียกว่า สายสัญญาณนาฬิกาอนุกรม หรือ SCL (Serial Clock Line) ซึ่งทั้ง SDA และ SCL นั้นต่างเป็นสายสัญญาณ 2 ทิศทาง (Bi-Directional Line) ต้องมีการต่อตัวต้านทานพูลอัพกับแรงดัน +5 Vdc ไว้ตลอดเวลา เพื่อให้สายมีสถานะลอจิกสูงในขณะที่ไม่มีการติดต่อใช้งาน ทั้งยังช่วยในการป้องกันสัญญาณรบกวนที่อาจเข้ามาในสายสัญญาณทั้งสอง วงจรเอาต์พุตของอุปกรณ์ที่ต่ออยู่บนบัส I2C ต้องมีลักษณะเป็นวงจรทรานเปิด (Open-Drain) หรือ คอลเล็กเตอร์เปิด (Open-Collector)

เอกสารนี้เป็นเอกสารที่สงวนไว้สำหรับการใช้งานเพื่อการศึกษาเท่านั้น ไม่อนุญาตให้นำไปใช้ประโยชน์ด้านการค้า ไม่ว่ากรณีใดๆ ทั้งสิ้น อีกทั้งห้ามมิให้ดัดแปลงเนื้อหา และต้องอ้างอิงถึงเจ้าของเอกสารทุกครั้งที่มีการนำไปใช้

อัตราการการถ่ายทอข้อมูลบนบัส I2C สูงถึง 100 กิโลบิตต่อวินาทีในโหมดปกติและสูงถึง 400 กิโลบิตต่อวินาทีในโหมดความเร็วสูง อุปกรณ์ที่ต่อร่วมอยู่บนบัส I2C จะต้องมีค่าความจุไฟฟ้ารวมที่เกิดขึ้นระหว่างสาย SDA และ SCL ไม่เกิน 400 pF การเข้าถึงอุปกรณ์บนบัส I2C ใช้ข้อมูลสำหรับการเข้าถึง 2 ค่า คือ 7 บิต(7-bit Addressing) หรือ 10 บิต(10-bit Addressing)

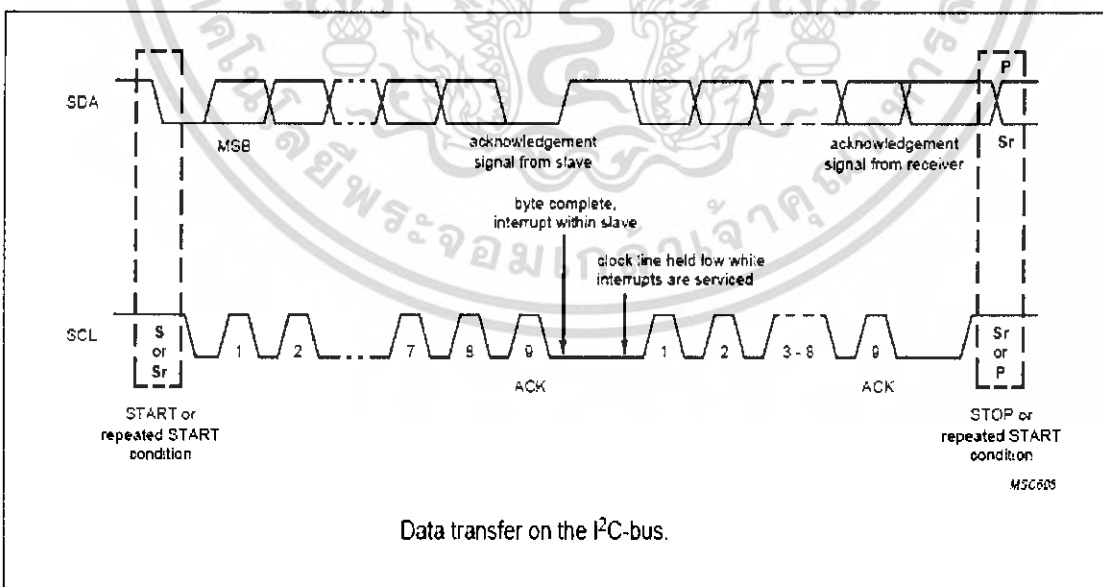
บัส I2C ประกอบด้วยสายสัญญาณ 2 เส้น คือ SDA และ SCL อุปกรณ์ที่ต่อพ่วงบนบัสสามารถมีได้มากมาย ดังนั้นจึงต้องมีการกำหนดรูปแบบของการติดต่อบนบัส เพื่อให้ผู้ใช้งานทราบว่า ขณะนี้อุปกรณ์ใดติดต่อกันอยู่ และอุปกรณ์ใดเป็นตัวรับหรือตัวส่ง ซึ่งจะนิยามที่ควรรู้ ดังนี้

- อุปกรณ์ที่ทำหน้าที่ควบคุมจังหวะการติดต่อบนบัส I2C เรียกว่า มาสเตอร์ (Master)
- อุปกรณ์ที่ถูกควบคุมหรืออุปกรณ์ที่ต่อพ่วงเข้าไปบนบัส I2C เรียกว่า สเลฟ (Slave)

ข้อกำหนด 2 ประการที่สำคัญของการติดต่อบนบัส I2C มี ดังนี้

- (1) การถ่ายทอข้อมูลจะเกิดขึ้น ได้เมื่อบัสว่างเท่านั้น
- (2) ในระหว่างการถ่ายทอข้อมูล เมื่อใดก็ตามที่สาย SCL มีสถานะเป็นลอจิกสูง สายข้อมูลต้องรักษาข้อมูลไว้อย่าให้เกิดการเปลี่ยนแปลงขึ้นเด็ดขาด มิฉะนั้น สัญญาณที่เกิดขึ้นจะได้รับการแปลความหมายเป็นสัญญาณควบคุมแทน

สถานะที่เกิดขึ้นบนบัส I2C มีด้วยกัน 5 สถานะ ดังรูปที่ 3.9 ซึ่งอธิบายได้ ดังนี้



รูปที่ 3.9 สถานะที่เกิดขึ้นบนบัส I2C

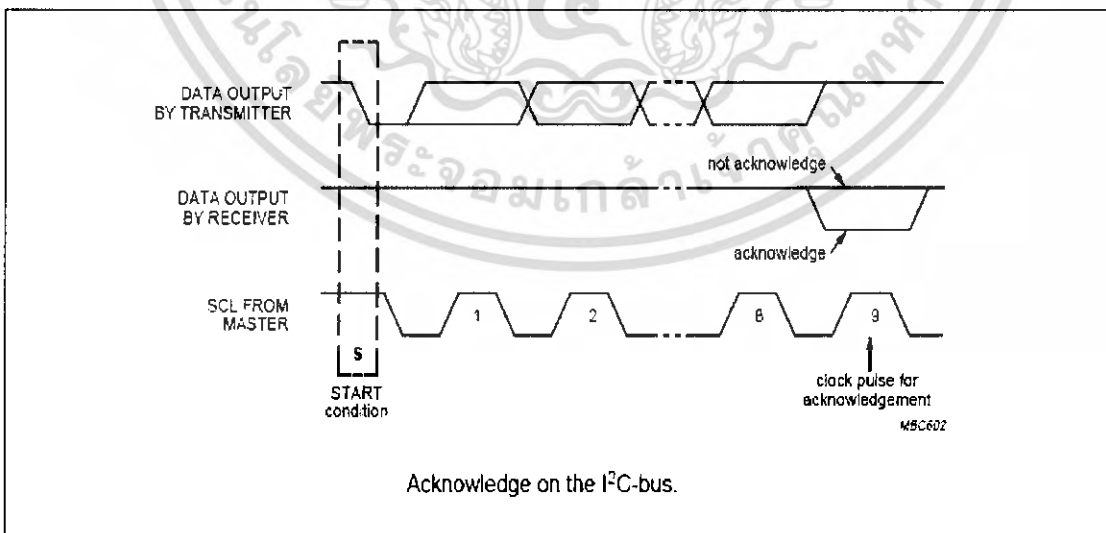
เอกสารนี้เป็นเอกสารที่สงวนไว้สำหรับการใช้งานเพื่อการศึกษาเท่านั้น ไม่อนุญาตให้นำไปใช้ประโยชน์ด้านการค้า ไม่ว่าจะกรณีใดๆ ทั้งสิ้น อีกทั้งห้ามมิให้ดัดแปลงเนื้อหา และต้องอ้างอิงถึงเจ้าของเอกสารทุกครั้งที่มีการนำไปใช้

(1) บัสว่าง (Bus Not Busy) สถานะนี้เกิดขึ้นเมื่อสถานะลอจิกบนสาย SDA และ SCL เป็นลอจิกสูงทั้งคู่ นั่นหมายความว่า การถ่ายถอดข้อมูลสามารถเริ่มขึ้นได้

(2) เริ่มต้นการถ่ายถอดข้อมูล (Start Data Transfer) เกิดขึ้นเมื่อสาย SDA มีการเปลี่ยนแปลงระดับลอจิกจากสูงไปต่ำ ในขณะที่สาย SCL มีสถานะลอจิกสูง เรียกสถานะที่เกิดขึ้นว่าสถานะเริ่มต้น (START)

(3) ข้อมูลค้างอยู่บนบัส (Data Valid) สถานะนี้เกิดขึ้นถัดจากสถานะเริ่มต้นโดยสถานะลอจิกที่เกิดขึ้นบนสาย SDA ก็คือ ข้อมูลที่ทำการถ่ายถอดเมื่อสาย SCL มีสถานะเป็นลอจิกสูงและสถานะที่สาย SDA ต้องคงที่ เพื่อให้อุปกรณ์รับรู้ข้อมูลในจังหวะนั้นว่าเป็น “0” หรือ “1” ซึ่งข้อมูลอาจเกิดการเปลี่ยนแปลงได้ในขณะที่สาย SCL มีสถานะเป็นลอจิกต่ำ แต่เมื่อใดก็ตามที่ต้องการให้เกิดการถ่ายถอดข้อมูลอย่างสมบูรณ์ สถานะลอจิกที่สาย SDA ต้องคงที่ตลอดช่วงเวลาที่ยังมีสาย SCL มีสถานะเป็นลอจิกสูง หากเกิดการเปลี่ยนแปลงสถานะลอจิกของสาย SDA ในขณะที่สาย SCL มีสถานะลอจิกสูงอยู่นั้น อุปกรณ์มาสเตอร์ที่ทำการควบคุมการถ่ายถอดข้อมูล จะแปลความหมายเป็นสถานะหยุดหรือสถานะเริ่มต้นก็ได้ ทำให้ข้อมูลที่ทำการถ่ายถอดนั้นเกิดความผิดพลาดขึ้น

(4) รับรู้ข้อมูล (Acknowledge) เกิดขึ้นหลังจากที่การถ่ายถอดข้อมูลจากตัวส่งมายังตัวรับเกิดขึ้นอย่างสมบูรณ์โดยตัวส่งจะทำการส่งข้อมูลมา 1 บิตเรียกว่า บิตรับรู้ (Acknowledge bit) มีสถานะเป็นลอจิกสูง หลังจากที่ยังส่งข้อมูลมาครบถ้วน ส่วนอุปกรณ์มาสเตอร์จะทำการส่งสัญญาณรับรู้พิเศษซึ่งสัมพันธ์กับสัญญาณนาฬิกาอุปกรณ์สเลฟที่ถูกอ้างถึงในการติดต่อหรือกำลังติดต่ออยู่ในขณะนั้นก็จะกำเนิดสัญญาณรับรู้ที่มีสถานะลอจิกต่ำเพื่อตอบสนองให้ทราบว่าได้รับข้อมูลเรียบร้อยแล้ว ดังรูปที่ 3.10



รูปที่ 3.10 Acknowledge บนสาย I2C

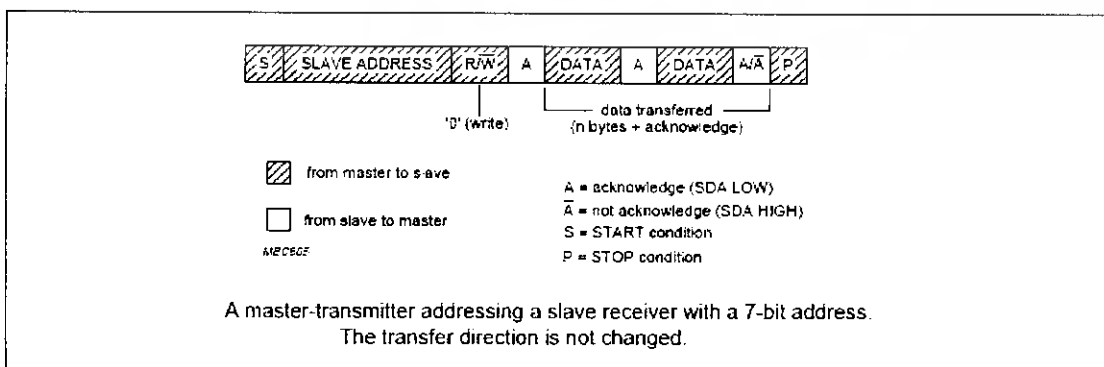
(5) หยุดการถ่ายทอดข้อมูล (Stop Data Transfer) เกิดขึ้นเมื่อสาย SDA มีการเปลี่ยนแปลงระดับลอจิกจากต่ำไปสูงในขณะที่สาย SCL มีสถานะลอจิกสูง เรียกสภาวะที่เกิดขึ้นว่า สภาวะหยุด (STOP)

3.1.5.1 การทำงานบนบัส I2C

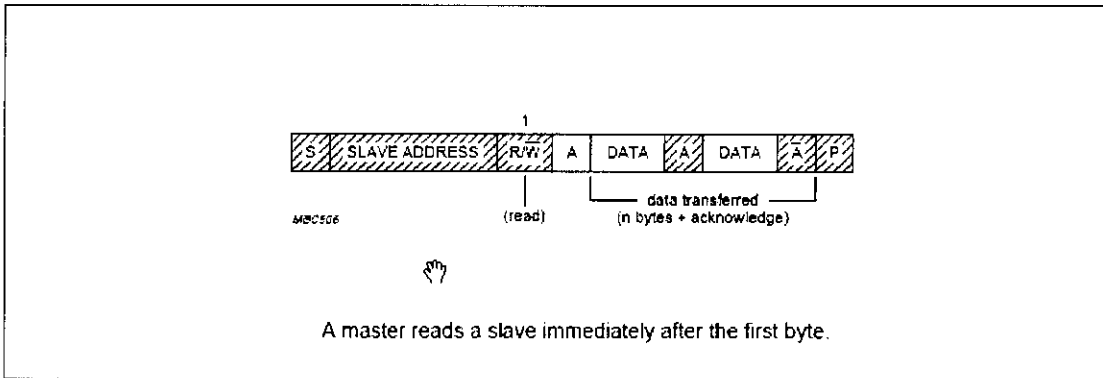
การทำงานบนบัส I2C จะเริ่มต้นด้วยการติดต่ออุปกรณ์เสียก่อน โดยการติดต่ออุปกรณ์บนบัส I2C นั้นจะใช้การเข้าถึงแบบ 7 บิต หรือ 10 บิต ก็ได้ ในกรณีที่มื่ออุปกรณ์ต่ออยู่บนบัสไม่มากนัก จะใช้การเข้าถึงแบบ 7 บิต แต่ในกรณีที่มื่ออุปกรณ์มากก็จำเป็นต้องใช้การเข้าถึงแบบ 10 บิต หลังจากที่ติดต่ออุปกรณ์แต่ละตัวได้เรียบร้อยแล้ว ก็จะเริ่มต้นการถ่ายทอดข้อมูล

3.1.5.2 การเข้าถึงแบบ 7 บิต (7-bit Addressing)

ข้อมูล ไบต์แรกที่เกิดขึ้นหลังจากสภาวะเริ่มต้นคือ ข้อมูลที่ใช้ในการอ้างอิงถึงแอดเดรสของอุปกรณ์สเลฟที่ต้องการติดต่อ โดยจะแบ่งเป็นบิตกำหนดคงที่ (Fixed Address bit) จำนวน 4 บิต ซึ่งข้อมูลนี้ อุปกรณ์แต่ละตัวจะถูกกำหนดมาจากผู้ผลิต ไม่สามารถเปลี่ยนแปลงแก้ไขได้ ถัดมาอีก 3 บิต จะเป็นบิตกำหนดแอดเดรสที่สามารถโปรแกรมได้ (Programmable Address bit) โดยผู้ใช้งานจะต้องกำหนดสถานะลอจิกให้แก่ขา A0, A1, A2 ของอุปกรณ์ที่มีการเชื่อมต่อบนบัส I2C ส่วนในบิต LSB จะเป็นบิตที่ใช้กำหนดค่าอ่านหรือเขียนข้อมูลกับอุปกรณ์สเลฟตัวนั้นๆ หากบิต LSB มีค่าเป็น “0” จะหมายถึงต้องการเขียนข้อมูลไปยังอุปกรณ์สเลฟนั้น ถ้าเป็น “1” จะเป็นการอ่านข้อมูลจากอุปกรณ์สเลฟ ข้อมูลในไบต์ต่อมาคือ ข้อมูลควบคุม (Control byte) ในอุปกรณ์แต่ละตัวนั้นจะมีการกำหนดข้อมูลควบคุมที่แตกต่างกันไป ข้อมูลในไบต์ต่อมาคือ ข้อมูลที่ทำการถ่ายทอดจริง (Data) ซึ่งหลังจากที่มีการถ่ายทอดข้อมูลในแต่ละไบต์แล้ว อุปกรณ์สเลฟที่ได้รับการติดต่อต้องส่งสัญญาณรับรู้ตอบกลับมาด้วยทุกครั้ง โดยที่อาจจะมีการรับ-ส่งข้อมูลหลายๆ ไบต์ติดต่อกันก็ได้ ตามรูปที่ 3.11 และ 3.12 ตามลำดับ จากนั้นจะจบการติดต่อกับอุปกรณ์สเลฟที่อ้างถึงด้วยสภาวะหยุด



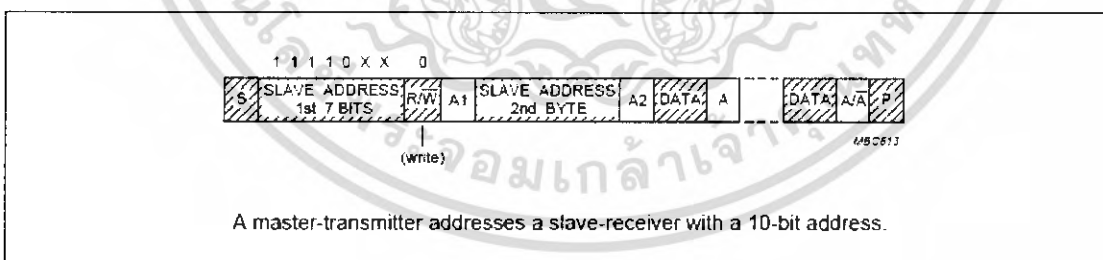
เอกสารนี้เป็นเอกสารที่สงวนไว้สำหรับการใช้งานเพื่อการศึกษาเท่านั้น ไม่อนุญาตให้นำไปใช้ประโยชน์ด้านการค้า ไม่ว่ากรณีใดๆ ทั้งสิ้น **รูปที่ 3.11** การส่งข้อมูลแบบ 7 บิตของอุปกรณ์มาสเตอร์



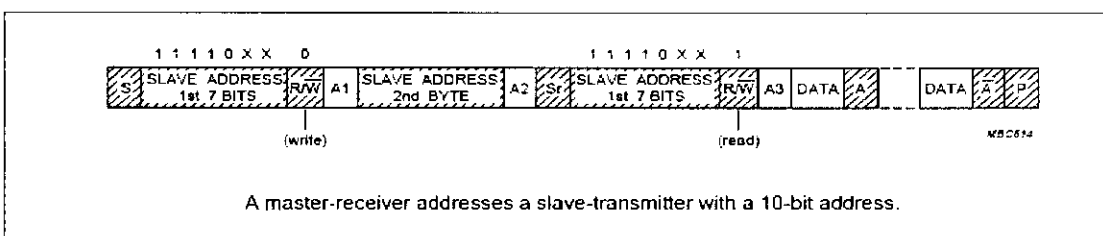
รูปที่ 3.12 การอ่านสัญญาณ Acknowledge ของอุปกรณ์มาสเตอร์แบบ 7 บิต

3.1.5.3 การเข้าถึงข้อมูลแบบ 10 บิต (10-bit Addressing)

จะเพิ่มเติมจากกาเข้าถึงแบบ 7 บิตอีกเล็กน้อย คือ โดยใน ไบต์แรกหลังจากสถานะเริ่มต้น ต้องกำหนดให้ 5 บิตบน มีข้อมูลเป็น 11110 ส่วนอีก 2 บิตถัดมาเป็นบิตแอดเดรสของอุปกรณ์ที่ต้องการติดต่อ ในบิต LSB ของข้อมูลไบต์แรกยังคงเป็นการกำหนดว่า ต้องการอ่านหรือเขียนกับข้อมูลกับอุปกรณ์สเลฟที่ต้องการติดต่อด้วย ข้อมูล ไบต์ต่อมาเป็นข้อมูลแอดเดรสในไบต์ที่ 2 ของอุปกรณ์สเลฟที่ต้องการติดต่อด้วย จากนั้นข้อมูลไบต์ถัดไปจึงเป็นข้อมูลควบคุม และก็จะตามด้วยไบต์ของข้อมูลที่ทำกรถ่ายทอจจริงและเช่นเดียวกับการเข้าถึงแบบ 7 บิต หลังจากที่มีการถ่ายทอจข้อมูลในแต่ละไบต์แล้ว อุปกรณ์สเลฟที่ได้รับการติดต่อด้องส่งสัญญาณรับรู้ตอบกลับมามีด้วยทุกครั้ง โดยที่อาจจะมีการรับ-ส่งข้อมูลหลายๆ ไบต์ติดต่อกันก็ได้ ตามรูปที่ 3.13 และ 3.14 ตามลำดับจากนั้นจะจบการติดต่อกับอุปกรณ์สเลฟที่อ้างถึงด้วยสถานะหยุด



รูปที่ 3.13 การส่งข้อมูลแบบ 10 บิตของอุปกรณ์มาสเตอร์



รูปที่ 3.14 การอ่านสัญญาณ Acknowledge ของอุปกรณ์มาสเตอร์แบบ 10 บิต

เอกสารนี้เป็นเอกสารที่สงวนไว้สำหรับการใช้งานเพื่อการศึกษาเท่านั้น ไม่อนุญาตให้นำไปใช้ประโยชน์ด้านการค้า ไม่ว่ากรณีใดๆ ทั้งสิ้น อีกทั้งห้ามมิให้ดัดแปลงเนื้อหา และต้องอ้างอิงถึงเจ้าของเอกสารทุกครั้งที่มีการนำไปใช้

3.1.5.4 การเขียนโปรแกรมเพื่อติดต่อกับบัส I2C

การเขียนโปรแกรมเพื่อติดต่อกับบัส I2C นั้น จะต้องเขียนโปรแกรมเพื่อสร้างสถานะที่เกิดขึ้นบนบัสทั้ง 5 รูปแบบ คือ บัสว่าง (Bus Not Busy) , สถานะเริ่มต้น (START) , ข้อมูลค้างอยู่บนบัส (Data Valid) , รับรู้ข้อมูล (Acknowledge) และสถานะหยุด (STOP) ซึ่งสามารถเขียนโปรแกรมแยกเป็นส่วนต่างๆ ได้ ดังนี้

```

sbit SDA=P2^0;           กำหนด P2.0 เป็นสาย SDA
sbit SCL=P2^1;           กำหนด P2.1 เป็นสาย SCL
void I2C_delay (void)    ฟังก์ชันหน่วงเวลา
{
    unsigned char i;
    for(i=0;i<20;i++);
}

void I2C_clk (void)      ฟังก์ชันสร้างสัญญาณนาฬิกา (clock) 1 ลูก
{
    SCL=0;
    I2C_delay();
    SCL=1;
    I2C_delay();
    SCL=0;
    I2C_delay();
}

void I2C_start (void)   ฟังก์ชันสร้างสถานะเริ่มต้น(START)
{
    SCL=0;
    SDA=1;
    SCL=1;
    SDA=0;
    I2C_delay();
}

```

เอกสารนี้เป็นเอกสารที่สงวนไว้สำหรับการใช้งานเพื่อการศึกษาเท่านั้น ไม่อนุญาตให้นำไปใช้ประโยชน์ด้านการค้า ไม่ว่าจะกรณีใดๆ ทั้งสิ้น อีกทั้งห้ามมิให้ตัดแปลงเนื้อหา และต้องอ้างอิงถึงเจ้าของเอกสารทุกครั้งที่มีการนำไปใช้

```
void I2C_stop (void)                                ฟังก์ชันสร้างสภาวะหยุด(STOP)
{
    SCL=0;
    SDA=0;
    SCL=0;
    SDA=1;
    I2C_delay();
}
```

```
void I2C_ack (void)                                ฟังก์ชันสร้างสัญญาณรับรู้ข้อมูล
                                                    (Acknowledge bit) มีสถานะเป็นลอจิกต่ำ
{
    SDA=0;
    I2C_clk();
}
```

```
void I2C_Nack (void)                              ฟังก์ชันสร้างสัญญาณ Not Acknowledge
                                                    มีสถานะเป็นลอจิกสูง
{
    SDA=1;
    I2C_clk();
}
```

```
bit I2C_write (unsigned char dat)                 ฟังก์ชันเขียนค่าข้อมูลลงบัส I2C
{
    bit send;
    unsigned char i;
    SCL=0;
    for(i=0;i<8;i++)
    {
        send=dat&0x80;
        SDA=send;
        I2C_clk();
        SDA=~send;
        I2C_clk();
    }
}
```

เอกสารนี้เป็นเอกสารที่สงวนไว้สำหรับการใช้งานเพื่อการศึกษาเท่านั้น ไม่อนุญาตให้นำไปใช้ประโยชน์ด้านการค้า
ไม่ว่ากรณีใดๆ ทั้งสิ้น อีกทั้งห้ามมิให้ดัดแปลงเนื้อหา และต้องอ้างอิงถึงเจ้าของเอกสารทุกครั้งที่มีการนำไปใช้

```

I2C_clk();
dat=dat<<1;
}

SDA=1;
I2C_delay();
SCL=1;
I2C_delay();
send=SDA;
return(send);
}

```

สร้างสัญญาณเพื่อรอรับบิตรับรู้ข้อมูล (Acknowledge bit) จากตัวรับข้อมูล

เก็บค่าสถานะบิตรับรู้ข้อมูล (Acknowledge bit) ส่งค่าสถานะบิตรับรู้ข้อมูล (Acknowledge bit) กลับไปยังส่วนที่เรียกใช้ โดยถ้าบิตรับรู้ข้อมูลมีสถานะเป็นลอจิกต่ำ แสดงว่าการส่ง-รับข้อมูลกับตัวรับข้อมูลทำได้สำเร็จ แต่ถ้าบิตรับรู้ข้อมูลมีสถานะเป็นลอจิกสูง แสดงว่ามีความผิดพลาดในการส่งข้อมูล

```

unsigned char I2C_read (void)
{
    bit receive;
    unsigned char i;
    unsigned char dat=0x00;
    SDA=1;
    SCL=0;

    for(i=0;i<8;i++)
    {
        SCL=1;
        receive=SDA;
        dat=dat<<1;
        dat=dat|receive;
        SCL=0;
    }
}

```

ฟังก์ชันอ่านค่าข้อมูลจากบัส I2C

วนรับค่าข้อมูลที่ละบิต จนครบทั้ง 8 บิต

เอกสารนี้เป็นเอกสารที่สงวนไว้สำหรับการใช้งานเพื่อการศึกษาเท่านั้น ไม่อนุญาตให้นำไปใช้ประโยชน์ด้านการค้า
 SDA=0; ส่งสัญญาณบิตรับรู้ข้อมูล (Acknowledge bit)
 ไม่ว่าจะกรณีใดๆ ทั้งสิ้น อีกทั้งห้ามมิให้ดัดแปลงเนื้อหา และต้องอ้างอิงถึงเจ้าของเอกสารทุกครั้งที่มีการนำไปใช้

```

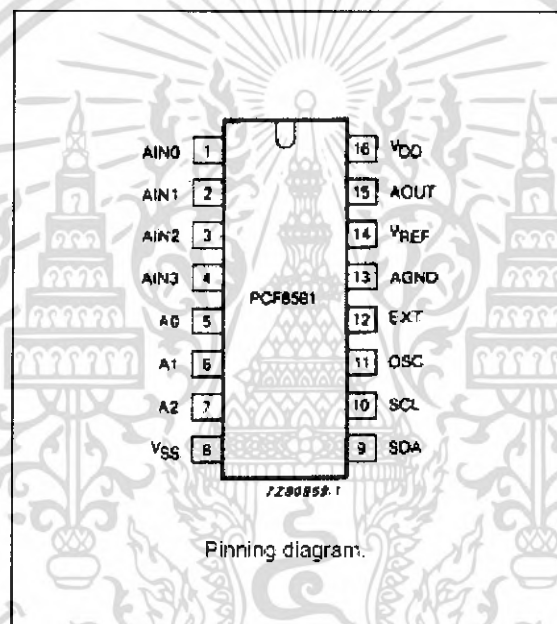
I2C_clk();
return(dat);
}

```

มีสถานะเป็นลอจิกต่ำ เพื่อให้ตัวส่งข้อมูลรู้ว่า
ว่าการรับข้อมูลเป็นไปอย่างถูกต้อง
คืนค่าข้อมูลที่อ่านได้กลับไปยังส่วนที่เรียกใช้

ไอซี PCF8591 เป็นไอซีแปลงสัญญาณอะนาลอกเป็นดิจิตอล 4 ช่องทางและแปลงสัญญาณ
ดิจิตอลเป็นอะนาลอก 1 ช่องทาง

3.2 คุณสมบัติทางเทคนิคที่สำคัญของ PCF8591



รูปที่ 3.15 ขาของ PCF8591

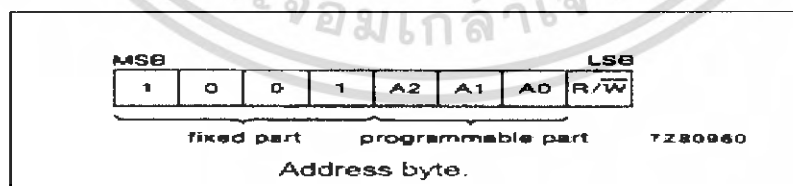
- ทำงานโดยใช้แหล่งจ่ายไฟชุดเดียว
- ทำงานที่แรงดัน 2.5 ถึง 6 Vdc
- กินกระแสขณะอยู่ในสภาวะสแตนด์บายต่ำ
- ติดต่อกับไมโครคอมพิวเตอร์หรือไมโครคอนโทรลเลอร์ผ่านระบบบัส I2C
- สัญญาณอะนาลอกมีระดับแรงดันตั้งแต่ V_{SS} จนถึง V_{DD}
- วงจรแปลงสัญญาณอะนาลอกเป็นสัญญาณดิจิตอลแบบซิงเกิลเอนด์ แอปพลิเคชัน

ขนาด 8 บิต

- วงจรแปลงสัญญาณดิจิตอลเป็นสัญญาณอะนาลอกขนาด 8 บิต 1 ช่องทาง

เอกสารนี้เป็นเอกสารที่สงวนไว้สำหรับการใช้งานเพื่อการศึกษาเท่านั้น ไม่อนุญาตให้นำไปใช้ประโยชน์ด้านการค้า
ไม่ว่ากรณีใดๆ ทั้งสิ้น อีกทั้งห้ามมิให้ดัดแปลงเนื้อหา และต้องอ้างอิงถึงเจ้าของเอกสารทุกครั้งที่มีการนำไปใช้

- เลือกตำแหน่งแอดเดรสทางฮาร์ดแวร์จากขา A0 - A2 ทำให้สามารถต่อพ่วงกันได้สูงสุดถึง 8 ตัว
 - อัตราการสุ่มข้อมูล (Sampling) ขึ้นอยู่กับความเร็วสัญญาณนาฬิกาบนบัส I2C
 - วงจรแปลงสัญญาณอะนาลอกเป็นสัญญาณดิจิทัลสามารถรับสัญญาณอะนาลอกได้ 4 ช่องทาง ทั้งยังเลือกได้ว่าให้ทำงานแบบแยกช่องทางหรือทำงานเป็นวงจรชีพเฟอเรนเชียล
- การอ่านค่าสามารถกำหนดให้เลื่อนช่องโดยอัตโนมัติได้รายละเอียดของตำแหน่งขาต่างๆมีดังนี้
- AN0-AN3 อินพุตสำหรับป้อนสัญญาณอะนาลอกที่ต้องการแปลงค่า
 - A0-A2 ขากำหนดแอดเดรสทางฮาร์ดแวร์ ทำให้สามารถต่อใช้งานร่วมกันได้สูงสุด 8 ตัว
 - V_{SS} ขากราวด์
 - SDA , SCL ขาเชื่อมต่อระบบบัส I2C
 - OSC ขาต่อกับสัญญาณนาฬิกาภายนอกเมื่อขา EXT ต่อกับ +5 Vdc และเป็นเอาต์พุตสัญญาณนาฬิกาถ้าขา EXT ต่อลงกราวด์
 - EXT ขาเลือกแหล่งกำเนิดสัญญาณนาฬิกา ถ้าต่อ +5 Vdc เป็นการเลือกใช้สัญญาณนาฬิกาจากภายนอกโดยต่อสัญญาณนาฬิกาเข้าที่ขา OSC ถ้าต่อขานี้ลงกราวด์ จะเป็นการเลือกใช้สัญญาณนาฬิกาจากภายใน
 - AGND ขากราวด์ของแรงดันอ้างอิง ปกติต่อลงกราวด์
 - V_{REF} ขาป้อนแรงดันอ้างอิง ปกติต่อกับ +5 Vdc
 - AOUT ขาเอาต์พุตของแปลงสัญญาณดิจิทัลต้องเป็นสัญญาณอะนาลอก
 - V_{DD} ขาต่อกับไฟเลี้ยง ใช้ได้ตั้งแต่ +2 ถึง +6 Vdc ปกติใช้ +5 Vdc
- โดยบิตกำหนดคงที่ (Fixed Address bit) จำนวน 4 บิต ของไอซี PCF8591 นั้นจะถูกกำหนดมาจากผู้ผลิต ไม่สามารถเปลี่ยนแปลงแก้ไขได้ คือ 1001 ดังรูปที่ 3.16



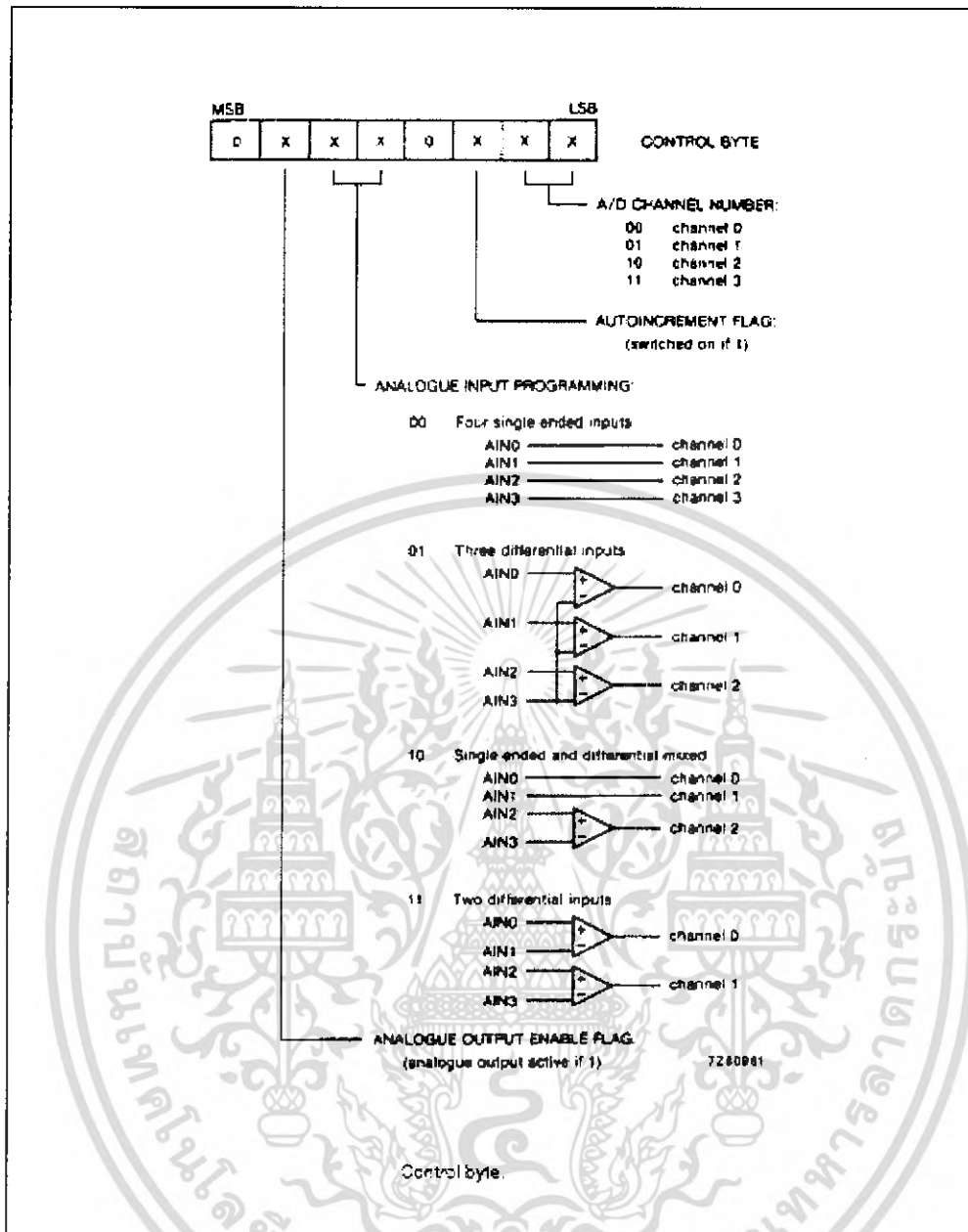
รูปที่ 3.16 บิตกำหนดคงที่(Fixed Address bit) 4 บิต

3.2.1 ข้อมูลควบคุม

หลังจากที่ส่งข้อมูลกำหนดแอดเดรสให้กับ PCF8591 แล้ว จะต้องส่งข้อมูลควบคุมตามไป

เพื่อกำหนดคุณสมบัติของวงจรแปลงสัญญาณอะนาลอกเป็นดิจิทัลและวงจรแปลงสัญญาณดิจิทัลเป็นสัญญาณอะนาลอกภายใน PCF8591 ดังรูปที่ 3.17 โดยสามารถอธิบายได้ดังนี้

เอกสารนี้เป็นเอกสารที่สงวนไว้สำหรับการใช้งานเพื่อการศึกษาเท่านั้น ไม่อนุญาตให้นำไปเผยแพร่ขายหรือบริการค่า
ไม่ว่ากรณีใดๆ ทั้งสิ้น อีกทั้งห้ามมีเหตุดัดแปลงเนื้อหา และต้องอ้างอิงถึงเจ้าของเอกสารทุกครั้งที่มีการนำไปใช้



รูปที่ 3.17 บิตควบคุมของ PCF8591

- บิตที่ 6 ของข้อมูลควบคุมใช้สำหรับการเอ็นเอเบิลขาอะนาลอกเอาต์พุต เมื่อต้องการเอ็นเอเบิลต้องกำหนดให้ เป็น “1”
- บิตที่ 4 และบิตที่ 5 ของข้อมูลควบคุมใช้สำหรับการกำหนดรูปแบบของสัญญาณอะนาลอกอินพุตป้อนให้แก่ PCF8591
- บิตที่ 2 ใช้เลือกรูปแบบการอ่านข้อมูลจากจอินพุตอะนาลอกว่าจะเป็นการอ่านจากเพียงอินพุตเดียวหรืออ่านแบบเรียงลำดับจากทุกอินพุต ถ้าต้องการอ่านแบบเรียงลำดับต้องกำหนดให้บิตนี้เป็น “1”

เอกสารนี้เป็นเอกสารที่สงวนไว้สำหรับการใช้งานเพื่อการศึกษาเท่านั้น ไม่อนุญาตให้นำไปใช้ประโยชน์ด้านการค้า ไม่ว่ากรณีใดๆ ทั้งสิ้น อีกทั้งห้ามมิให้ดัดแปลงเนื้อหา และต้องอ้างอิงถึงเจ้าของเอกสารทุกครั้งที่มีการนำไปใช้

- บิตที่ 0 และ บิตที่ 1 ใช้สำหรับการกำหนดช่องของอินพุตอะนาลอกที่ต้องการอ่าน ถ้ากำหนดให้บิตที่ 2 เป็น “1” หลังจากอ่านค่าจากบิตที่ 0 และบิตที่ 1 แล้ว ในการอ่านค่าครั้งต่อไปจะเป็นการอ่านค่าอินพุตจากช่องที่ 1 ซึ่งสามารถกำหนดค่าของข้อมูลควบคุมได้ดังนี้

- 0x40 เปิดการทำงานของวงจรแปลงสัญญาณดิจิทัลเป็นอะนาลอก และเลือกอ่านสัญญาณอะนาลอกจากช่อง 0

- 0x41 เปิดการทำงานของวงจรแปลงสัญญาณดิจิทัลเป็นอะนาลอก และเลือกอ่านสัญญาณอะนาลอกจากช่อง 1

- 0x42 เปิดการทำงานของวงจรแปลงสัญญาณดิจิทัลเป็นอะนาลอก และเลือกอ่านสัญญาณอะนาลอกจากช่อง 2

- 0x43 เปิดการทำงานของวงจรแปลงสัญญาณดิจิทัลเป็นอะนาลอก และเลือกอ่านสัญญาณอะนาลอกจากช่อง 3

โดยที่ข้อมูลควบคุมทั้งหมดจะถูกเก็บไว้ในรีจิสเตอร์ควบคุมภายใน PCF8591 และเมื่อจ่ายไฟให้แก่ PCF8591 เป็นครั้งแรก บิตต่างๆของข้อมูลควบคุมภายในรีจิสเตอร์ควบคุมจะมีค่าเป็น “0”

วงจรออสซิลเลเตอร์ภายใน PCF8591 จะสร้างสัญญาณนาฬิกาสำหรับการแปลงสัญญาณอะนาลอกเป็นสัญญาณดิจิทัล เมื่อต้องการใช้วงจรออสซิลเลเตอร์ภายใน ให้ต่อขา EXT ลงกราวด์ แต่ถ้าต้องการใช้วงจรออสซิลเลเตอร์จากภายนอก ขา EXT จะต้องต่อกับไฟบวก และป้อนสัญญาณนาฬิกาเข้าที่ขา OSC ของ PCF8591 โดยที่ความถี่ของสัญญาณนาฬิกาสูงสุดที่ป้อนให้กับออสซิลเลเตอร์ต้องไม่เกิน 1.25 MHz

3.2.2 โครงสร้างโปรแกรมสำหรับติดต่อกับไอซี PCF8591

ในโครงการนี้ ทางคณะผู้จัดทำได้เลือกใช้การเข้าถึงข้อมูลแบบ 7 บิต และเนื่องจากหุ่นยนต์ Rocker-Bogie นั้นเป็นหุ่นยนต์ 6 ล้อ จึงต้องใช้ไอซี PCF8591 จำนวน 6 ตัว มาควบคุมการทำงานของวงจร Half-Bridge โดยที่จะมีแอดเดรสเริ่มจาก 1(001:A2,A1,A0) ไปจนถึง 6(110:A2,A1,A0) ซึ่งเมื่อต้องการติดต่อกับกับ ไอซี PCF8591 จะต้องส่งค่าแอดเดรส ดังนี้

- 0x92 เพื่อเขียนข้อมูลกับไอซี PCF8591 ตัวที่ 1 เพื่อควบคุมความเร็วของล้อหน้าด้านซ้าย
- 0x94 เพื่อเขียนข้อมูลกับไอซี PCF8591 ตัวที่ 2 เพื่อควบคุมความเร็วของล้อหน้าด้านขวา
- 0x96 เพื่อเขียนข้อมูลกับไอซี PCF8591 ตัวที่ 3 เพื่อควบคุมความเร็วของล้อกลางด้านซ้าย
- 0x98 เพื่อเขียนข้อมูลกับไอซี PCF8591 ตัวที่ 4 เพื่อควบคุมความเร็วของล้อกลางด้านขวา
- 0x9A เพื่อเขียนข้อมูลกับไอซี PCF8591 ตัวที่ 5 เพื่อควบคุมความเร็วของล้อหลังด้านซ้าย
- 0x9C เพื่อเขียนข้อมูลกับไอซี PCF8591 ตัวที่ 6 เพื่อควบคุมความเร็วของล้อหลังด้านขวา

- 0x93 เพื่ออ่านข้อมูลกับไอซี PCF8591 ตัวที่ 1 เพื่ออ่านค่าความเร็วของล้อหน้าด้านซ้าย

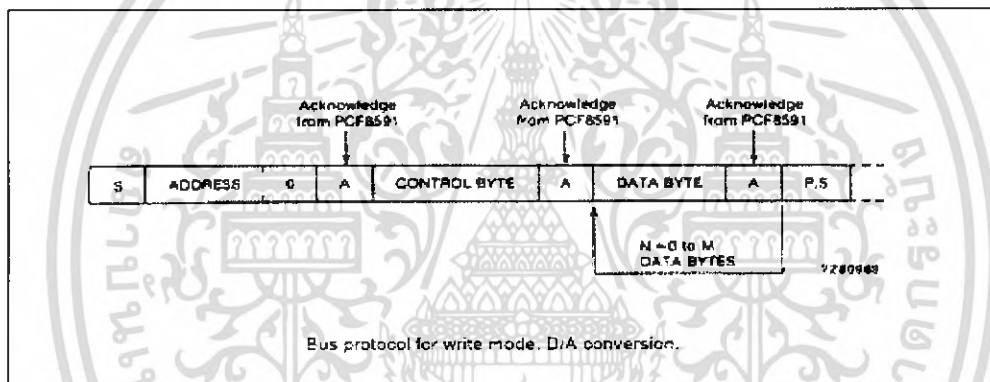
- 0x95 เพื่ออ่านข้อมูลกับ ไอซี PCF8591 ตัวที่ 2 เพื่ออ่านค่าความเร็วของล้อหน้าด้านขวา

- 0x97 เพื่ออ่านข้อมูลกับไอซี PCF8591 ตัวที่ 3 เพื่ออ่านค่าความเร็วของล้อกลางด้านซ้าย
- 0x99 เพื่ออ่านข้อมูลกับไอซี PCF8591 ตัวที่ 4 เพื่ออ่านค่าความเร็วของล้อกลางด้านขวา
- 0x9B เพื่ออ่านข้อมูลกับไอซี PCF8591 ตัวที่ 5 เพื่ออ่านค่าความเร็วของล้อหลังด้านซ้าย
- 0x9D เพื่ออ่านข้อมูลกับ ไอซี PCF8591 ตัวที่ 6 เพื่ออ่านค่าความเร็วของล้อหลังด้านขวา

โดยสามารถเขียนฟังก์ชันเพื่อเขียนและอ่านข้อมูลกับไอซี PCF8591 ได้ดังนี้

1. ฟังก์ชันเขียนค่าให้วงจรแปลงสัญญาณดิจิทัลเป็นสัญญาณอะนาล็อก (write_D2A)

ฟังก์ชันนี้จะใช้ในการควบคุมความเร็วของมอเตอร์กระแสตรง โดยที่ฟังก์ชันนี้จะรับค่าอาร์กิวเมนต์ (Argument) 2 ค่า คือ ค่าแอดเดรสของไอซี PCF8591 ที่ต้องการติดต่อและค่าของความเร็วตามลำดับ จากนั้นจะเรียกใช้ฟังก์ชันการทำงานของบัส I2C ซึ่งจะเป็นไปตามรูปแบบดังรูปที่ 3.18



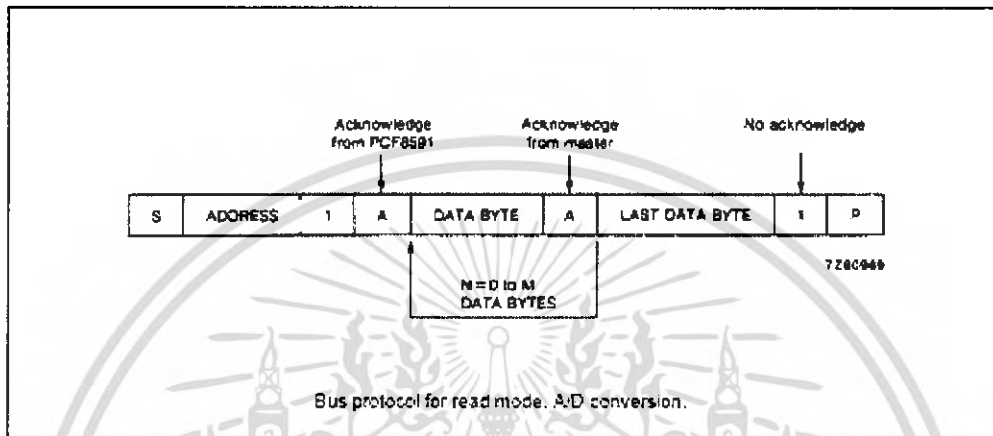
รูปที่ 3.18 การเรียกฟังก์ชันการทำงานของบัส I2C

```
void write_D2A (unsigned char address, unsigned char speed)
```

```
{
    I2C_start();           สภาวะเริ่มต้น
    I2C_write(address);   เขียนค่าแอดเดรสของไอซี PCF8591 ที่
                          ต้องการติดต่อ
    I2C_write(0x40);      เขียนค่าข้อมูลควบคุม
    I2C_write(speed);     เขียนค่าข้อมูล ซึ่งก็คือค่าความเร็ว
    I2C_stop();           สภาวะหยุด
}
```

เอกสารนี้เป็นเอกสารที่สงวนไว้สำหรับการใช้งานเพื่อการศึกษาเท่านั้น ไม่อนุญาตให้นำไปใช้ประโยชน์ด้านการค้า ไม่ว่ากรณีใดๆ ทั้งสิ้น อีกทั้งห้ามมิให้ดัดแปลงเนื้อหา และต้องอ้างอิงถึงเจ้าของเอกสารทุกครั้งที่มีการนำไปใช้

ฟังก์ชันนี้จะใช้สำหรับอ่านค่าแรงดันป้อนกลับ (Back EMF) ที่ต่ออยู่กับอินพุตอะนาล็อก ช่องที่ 1 เพื่อนำค่ากลับมาแสดงผล โดยจะถูกส่งต่อไปที่โปรแกรม Rocker-Bogie Robot Control โดยที่ฟังก์ชันนี้จะรับค่าอาร์กิวเมนต์ ที่เป็นค่าแอดเดรสของไอซี PCF8591 ที่ต้องการติดต่อ จากนั้น จะเรียกใช้ฟังก์ชันการทำงานของบัส I2C เพื่ออ่านค่าจากไอซี PCF8591 และคืนค่ากลับไปยังส่วนที่ เรียกใช้ด้วย ซึ่งจะเป็นไปตามรูปแบบดังรูปที่ 3.19



รูปที่ 3.19 การอ่านฟังก์ชันการทำงานของบัส I2C

```
unsigned char read_A2D (unsigned char address)
```

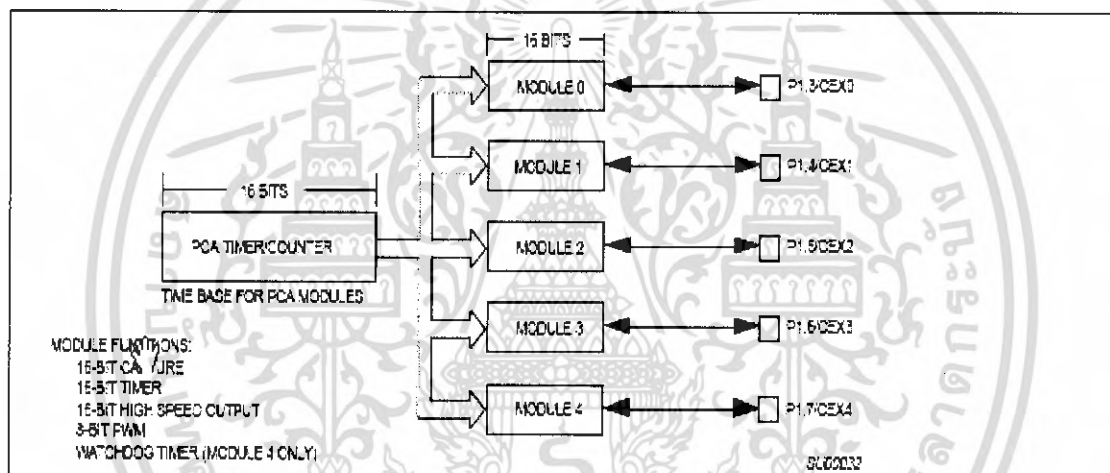
```
{
    unsigned char temp;
    I2C_start();
    I2C_write(address);
    I2C_write(0x40);
    I2C_stop();
    I2C_start();
    I2C_c_write(address+1);
    temp = i2c_read();
    I2C_Nack();
    I2C_stop();
    return(temp);
}
```

ประกาศตัวแปรชั่วคราวเพื่อใช้เก็บค่าข้อมูล
สถานะเริ่มต้น
เขียนค่าแอดเดรสของไอซี PCF8591 ที่
ต้องการติดต่อ
เขียนค่าข้อมูลควบคุม
สถานะหยุด
สถานะเริ่มต้น
เขียนค่าแอดเดรสของไอซี PCF8591 เพื่ออ่าน
ค่า
เก็บค่าไว้ที่ตัวแปร temp
ส่งสัญญาณเพื่อหยุดการจอบัส I2C
สถานะหยุด
คืนค่าข้อมูลกลับไปยังส่วนที่เรียกใช้

เอกสารนี้เป็นเอกสารที่สงวนไว้สำหรับการใช้งานเพื่อการศึกษาเท่านั้น ไม่อนุญาตให้นำไปใช้ประโยชน์ด้านการค้า
ไม่ว่ากรณีใดๆ ทั้งสิ้น อีกทั้งห้ามมิให้ดัดแปลงเนื้อหา และต้องอ้างอิงถึงเจ้าของเอกสารทุกครั้งที่มีการนำไปใช้

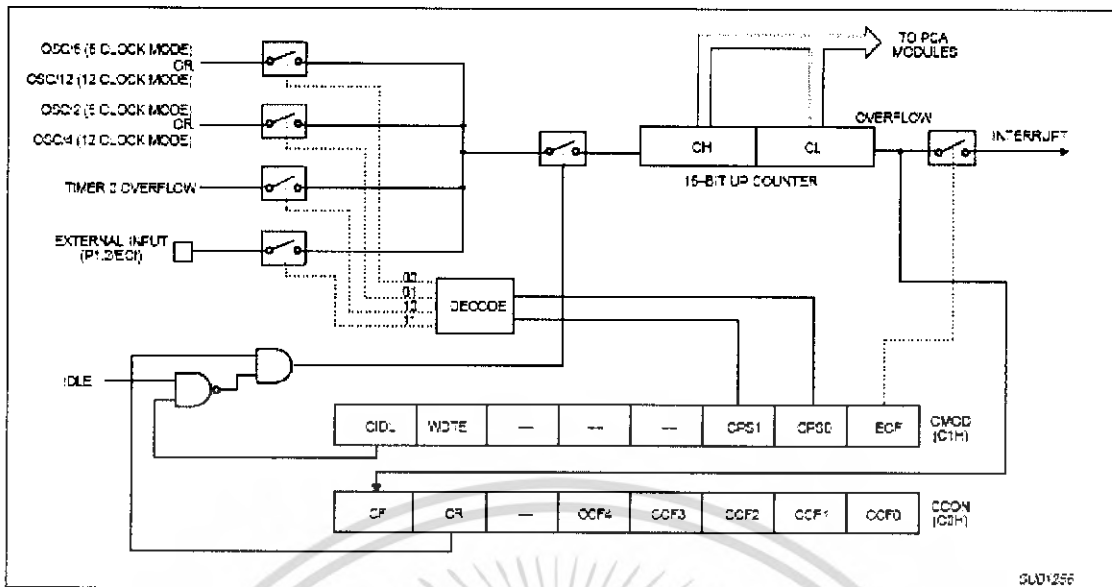
3.3 การเขียนโปรแกรมสร้างสัญญาณตามความกว้างพัลส์ (Pulse-Width Modulation)

ไมโครคอนโทรลเลอร์ P89C51RD2BN นั้นจะมีความสามารถพิเศษที่เพิ่มเติมเข้ามาคือ โมดูลวงจรนับโปรแกรมได้ (Programmable Counter Array : PCA) 5 ช่องทางอิสระต่อกัน ซึ่งภายในโมดูล PCA นั้นจะบรรจุความสามารถพิเศษอยู่ 5 อย่าง คือ วงจรตรวจจับสัญญาณ(PCA Capture Mode) , วงจรเปรียบเทียบสัญญาณ(PCA Compare Mode) , วงจรสัญญาณเอาต์พุตความเร็วสูง(PCA Hi-Speed Output Mode) , วงจรมอดูเลชันตามความกว้างพัลส์ (PCA Pulse-Width Modulation) และวงจรวอตช์ด็อกไทมเมอร์ (PCA Watchdog Timer Mode) โดยคณะผู้จัดทำจะใช้ วงจรสร้างสัญญาณตามความกว้างพัลส์ เพื่อสร้างสัญญาณตามความกว้างพัลส์ 5 ช่องทาง อิสระต่อกัน ดังรูปที่ 3.20 เพื่อใช้ควบคุมการทำงานของเซอร์โวมอเตอร์ทั้ง 6 ตัว ที่ควบคุมทิศทางของหุ่นยนต์อยู่



รูปที่ 3.20 โมดูลวงจรนับโปรแกรมได้ (Programmable Counter Array : PCA)

โดยที่โมดูล PCA นั้นจะมีการทำงาน ดังรูปที่ 3.21 โดยโครงสร้างหลักของโมดูล PCA คือ ตัวนับ PCA (PCA TimerCounter) ขนาด 16 บิต ประกอบด้วย CH และ CL ซึ่งต่างเป็นตัวนับขนาด 8 บิตมารวมกัน โดยที่ฐานเวลาที่ใช้นี้จะใช้ฐานเวลาร่วมกันทั้ง 5 ช่องทาง ซึ่งสามารถเลือกแหล่งกำเนิดฐานเวลาได้โดยการกำหนดค่า CPS1 และ CPS0 ในรีจิสเตอร์ CMOD ดังรูปที่ 3.22 ซึ่งเป็นรีจิสเตอร์ที่ใช้กำหนดโหมดฐานเวลาของโมดูล PCA ซึ่งคณะผู้จัดทำได้เลือกใช้โหมด 2 คือ ใช้สัญญาณโอเวอร์โฟลวของไทมเมอร์ 0 เพื่อจะสร้างฐานเวลา 20 มิลลิวินาที ซึ่งเป็นฐานเวลาที่เซอร์โวมอเตอร์ต้องการ



รูปที่ 3.21 โครงสร้างการทำงานของโมดูล PCA

CMOD Address = D9H		Reset Value = 00XX X006B																
	<table border="1" style="width: 100%;"> <tr> <td style="width: 12.5%;">CIDL</td> <td style="width: 12.5%;">WDTE</td> <td style="width: 12.5%;">—</td> <td style="width: 12.5%;">—</td> <td style="width: 12.5%;">—</td> <td style="width: 12.5%;">CPS1</td> <td style="width: 12.5%;">CPS0</td> <td style="width: 12.5%;">ECF</td> </tr> <tr> <td>Bit: 7</td> <td>6</td> <td>5</td> <td>4</td> <td>3</td> <td>2</td> <td>1</td> <td>0</td> </tr> </table>	CIDL	WDTE	—	—	—	CPS1	CPS0	ECF	Bit: 7	6	5	4	3	2	1	0	
CIDL	WDTE	—	—	—	CPS1	CPS0	ECF											
Bit: 7	6	5	4	3	2	1	0											
Symbol	Function																	
CIDL	Counter Idle control: CIDL = 0 programs the PCA Counter to continue functioning during idle Mode. CIDL = 1 programs it to be gated off during idle.																	
WDTE	Watchdog Timer Enable: WDTE = 0 disables Watchdog Timer function on PCA Module 4. WDTE = 1 enables it.																	
—	Not implemented, reserved for future use.*																	
CPS1	PCA Count Pulse Select bit 1.																	
CPS0	PCA Count Pulse Select bit 0.																	
	<table border="1" style="width: 100%;"> <tr> <th>CPS1</th> <th>CPS0</th> <th>Selected PCA Input**</th> </tr> <tr> <td>0</td> <td>0</td> <td>Internal clock, $f_{osc}/6$ in 6-clock mode ($f_{osc}/12$ in 12-clock mode)</td> </tr> <tr> <td>0</td> <td>1</td> <td>Internal clock, $f_{osc}/2$ in 6-clock mode ($f_{osc}/4$ in 12-clock mode)</td> </tr> <tr> <td>1</td> <td>0</td> <td>Timer 0 overflow</td> </tr> <tr> <td>1</td> <td>1</td> <td>External clock at ECI/P1.2 pin (max. rate = $f_{osc}/4$ in 6-clock mode, $f_{osc}/8$ in 12-clock mode)</td> </tr> </table>	CPS1	CPS0	Selected PCA Input**	0	0	Internal clock, $f_{osc}/6$ in 6-clock mode ($f_{osc}/12$ in 12-clock mode)	0	1	Internal clock, $f_{osc}/2$ in 6-clock mode ($f_{osc}/4$ in 12-clock mode)	1	0	Timer 0 overflow	1	1	External clock at ECI/P1.2 pin (max. rate = $f_{osc}/4$ in 6-clock mode, $f_{osc}/8$ in 12-clock mode)		
CPS1	CPS0	Selected PCA Input**																
0	0	Internal clock, $f_{osc}/6$ in 6-clock mode ($f_{osc}/12$ in 12-clock mode)																
0	1	Internal clock, $f_{osc}/2$ in 6-clock mode ($f_{osc}/4$ in 12-clock mode)																
1	0	Timer 0 overflow																
1	1	External clock at ECI/P1.2 pin (max. rate = $f_{osc}/4$ in 6-clock mode, $f_{osc}/8$ in 12-clock mode)																
ECF	PCA Enable Counter Overflow interrupt: ECF = 1 enables CF bit in CCN to generate an interrupt. ECF = 0 disables that function of CF.																	
NOTE:																		
* User software should not write 1s to reserved bits. These bits may be used in future 6051 family products to invoke new features. In that case, the reset or inactive value of the new bit will be 0 and its active value will be 1. The value read from a reserved bit is indeterminate.																		
** f_{osc} = oscillator frequency																		

รูปที่ 3.22 รีจิสเตอร์ CMOD

โดยสามารถเลือกการทำงานของโมดูล PCA ได้จากการกำหนดค่าในรีจิสเตอร์ CCAPMn ของทั้ง 5 ช่องทางซึ่งเป็นอิสระต่อกัน ซึ่งถ้าต้องการใช้วงจรสร้างสัญญาณความกว้างพัลส์ (Pulse-Width Modulation) นั้น จะต้องกำหนดค่าเป็น 0x42 หรือ x1001x0x ดังรูปที่ 3.23

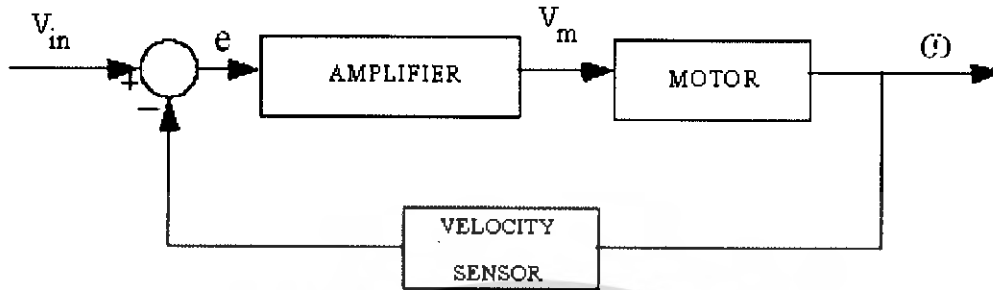
เอกสารนี้เป็นเอกสารที่สงวนไว้สำหรับการใช้งานเพื่อการศึกษาเท่านั้น ไม่อนุญาตให้นำไปใช้ประโยชน์ด้านการค้า ไม่ว่าจะกรณีใดๆ ทั้งสิ้น อีกทั้งห้ามมิให้ดัดแปลงเนื้อหา และต้องอ้างอิงถึงเจ้าของเอกสารทุกครั้งที่มีการนำไปใช้

CCAPMn Address	CCAPM0	0DAH							Reset Value = X000 C00B
	CCAPM1	0DBH							
	CCAPM2	0DCH							
	CCAPM3	0DDH							
	CCAPM4	0DEH							
Not Bit Addressable									
	-	ECOMn	CAPPn	CAPNn	MATn	TOGn	PWMn	ECCFn	
Bit:	7	6	5	4	3	2	1	0	
Symbol	Function								
-	Not implemented, reserved for future use ¹ .								
ECOMn	Enable Comparator. ECOMn = 1 enables the comparator function.								
CAPPn	Capture Positive, CAPPn = 1 enables positive edge capture.								
CAPNn	Capture Negative, CAPNn = 1 enables negative edge capture.								
MATn	Match. When MATn = 1, a match of the PCA counter with this module's compare/capture register causes the CCFn bit in CCON to be set, flagging an interrupt.								
TOGn	Toggle. When TOGn = 1, a match of the PCA counter with this module's compare/capture register causes the CEXn pin to toggle.								
PWMn	Pulse Width Modulation Mode. PWMn = 1 enables the CEXn pin to be used as a pulse width modulated output.								
ECCFn	Enable CCF interrupt. Enables compare/capture flag CCFn in the CCON register to generate an interrupt.								
NOTE: ¹ User software should not write 1s to reserved bits. These bits may be used in Aduro 8251 family products to invoke new features; in that case, the reset or inactive value of the new bit will be 0, and its active value will be 1. The value read from a reserved bit is indeterminate.									
SUC1320									
-	ECOMn	CAPPn	CAPNn	MATn	TOGn	PWMn	ECCFn	MODULE FUNCTION	
X	0	0	0	0	0	0	0	No operation	
X	X	1	0	0	0	0	X	16-bit capture by a positive-edge trigger on CEXn	
X	X	0	1	0	0	0	X	16-bit capture by a negative trigger on CEXn	
X	X	1	1	0	0	0	X	16-bit capture by a transition on CEXn	
X	1	0	0	1	0	0	X	16-bit Software Timer	
X	1	0	0	1	1	0	X	16-bit High Speed Output	
X	1	0	0	0	0	1	0	8-bit PWM	
X	1	0	0	1	X	0	X	Watchdog Timer	

รูปที่ 3.23 รีจิสเตอร์ CCAPMn

โดยที่วงจรสร้างสัญญาณตามความกว้างพัลส์ (Pulse-Width Modulation) นั้นมีโครงสร้างดังรูปที่ 3.24 ซึ่งวงจร PWM นั้นจะใช้ตัวนับ PCA เพียง 8 บิต คือใช้เพียงแค่ CL เท่านั้น โดยการทำงานนั้นจะนำค่าของตัวนับ CL มาเปรียบเทียบกับค่าในรีจิสเตอร์ CCAPnL ซึ่งถ้าค่าของตัวนับ CL มีค่าน้อยกว่าค่าในรีจิสเตอร์ CCAPnL จะทำให้ได้สัญญาณเอาต์พุตมีสถานะลอจิกต่ำ แต่ถ้าค่าของตัวนับ CL มีค่ามากกว่าหรือเท่ากับค่าในรีจิสเตอร์ CCAPnL จะทำให้ได้สัญญาณเอาต์พุตมีสถานะลอจิกสูง โดยที่เมื่อตัวนับ CL นับค่าถึงค่าสูงสุดแล้วเกิดโอเวอร์โฟลวนั้น วงจรจะทำการโหลดค่าใน CCAPnH ซึ่งมีค่าเท่ากับค่าใน CCAPnL มาใส่ใน CCAPnL ซึ่งการโหลดค่าแบบนี้จะสามารถป้องกันการกระชากของสัญญาณได้ซึ่งเราสามารถเปลี่ยนค่าตัวนับไซเคิล (Duty-Cycle) ได้ โดยการเปลี่ยนค่าในรีจิสเตอร์ CCAPnL และ CCAPnH ส่วนคาบเวลาของสัญญาณตามความกว้างพัลส์นั้น จะกำหนดจากการโอเวอร์โฟลวของไทมเมอร์ 0

สามารถปรับตัวเข้าสู่สภาวะคงตัวได้เมื่อเกิดสัญญาณรบกวน (Disturbance) ขึ้น ซึ่งการควบคุมความเร็วของดีซีมอเตอร์โดยใช้การป้อนกลับนั้น จำเป็นจะต้องวัดค่าความเร็วรอบของดีซีมอเตอร์ โดยจะสามารถวัดได้จากค่าแรงดันย้อนกลับ (Armature Feedback) ของดีซีมอเตอร์



รูปที่ 3.25 บล็อกไดอะแกรมของการควบคุมความเร็วของมอเตอร์แบบป้อนกลับ

3.4.1 หลักการทำงานของดีซีมอเตอร์

ดีซีมอเตอร์เป็นทรานส์ดิวเซอร์แรงบิดซึ่งมีการออกแบบให้มีคุณลักษณะพิเศษ คือ แรงบิดของเพลลาของดีซีมอเตอร์จะได้อมาจากผลคูณระหว่างสนามแม่เหล็กและขดลวดคั่ว นำ โดยถ้ามีกระแสไหลในขดลวดคั่วจะทำให้เกิดสนามแม่เหล็กที่ประกอบด้วยเส้นแรงแม่เหล็ก ϕ ซึ่งถ้าขดลวดคั่วเหล่านี้อยู่ห่างจากศูนย์กลางการหมุนเท่ากับ r จะได้ความสัมพันธ์ระหว่างแรงบิดของเพลลาที่กระแสอาร์เมเจอร์ คือ

$$T = K\phi I \quad (3-1)$$

เมื่อ T คือ แรงบิดของเพลลา มีหน่วยเป็นนิวตัน - เมตร

ϕ คือ เส้นแรงแม่เหล็ก มีหน่วยเป็นเวเบอร์

I คือ กระแส มีหน่วยเป็นแอมแปร์

K คือ ค่าคงที่

ซึ่งในขณะที่ขดลวดคั่วเคลื่อนที่ตัดสนามแม่เหล็กก็จะทำให้เกิดแรงดันคคร่อมตัวมันเอง ซึ่งแรงดันนี้จะเป็นสัดส่วนกับความเร็วของเพลลาของมอเตอร์ดีซีและด้านกรไหลของกระแสอาร์เมเจอร์ โดยจะเรียกว่า แรงดันย้อนกลับหรือแรงดันป้อนกลับ (Back emf, Armature Feedback) โดยจะได้ความสัมพันธ์ระหว่างแรงดันย้อนกลับกับความเร็วของเพลลาของมอเตอร์ คือ

$$E = K\phi\omega \quad (3-2)$$

เมื่อ E คือ แรงดันย้อนกลับ emf มีหน่วยเป็นโวลต์

ω คือ เส้นแรงแม่เหล็ก มีหน่วยเป็นเวเบอร์

เอกสารนี้เป็นเอกสารที่สงวนลิขสิทธิ์ คือ ความเร็วของมอเตอร์มีหน่วยเป็นเรเดียน / วินาที ไปใช้ประโยชน์ด้านการค้าไม่ว่ากรณีใดๆ ทั้งสิ้น อีกทั้งห้ามมิให้ดัดแปลงเนื้อหา และต้องอ้างอิงถึงเจ้าของเอกสารทุกครั้งที่มีการนำไปใช้

โดยรูปที่ 3.26 จะเป็นการแสดงถึง โมเดลของคิซิมอเตอร์แบบแยกขดกระตุ้น โดยที่

R_a : ความต้านทานของอาร์เมเจอร์

L_a : อินดักแตนซ์ของอาร์เมเจอร์

V_g : แรงดันในอาร์เมเจอร์ (โวลต์เตจย้อนกลับ)

R_f : ความต้านทานของฟิลด์

L_f : อินดักแตนซ์ของฟิลด์

ϕ : ช่องว่างอากาศของเส้นแรงสนามแม่เหล็ก

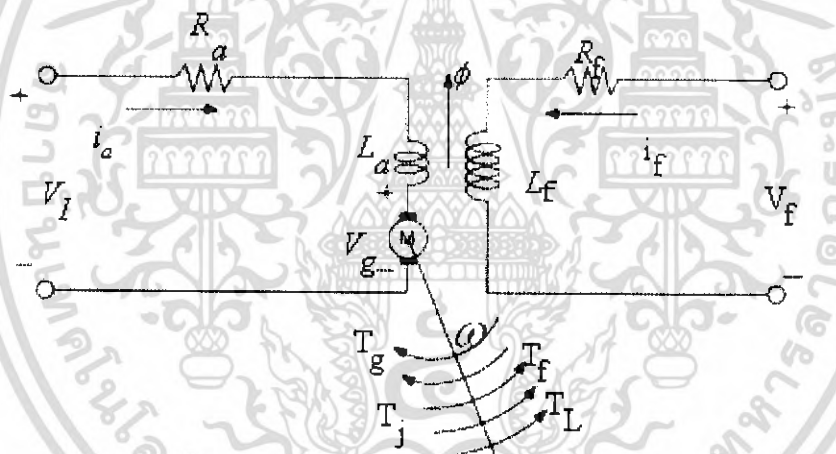
ω : ความเร็วของเพลอาร์เมเจอร์

T_g : แรงบิดที่พัฒนาขึ้นในมอเตอร์

T_f : แรงบิดเสียดทานของมอเตอร์

T_j : แรงเฉื่อยของมอเตอร์

K_t : ค่าคงที่ของแรงบิดของมอเตอร์



รูปที่ 3.26 โมเดลของคิซิมอเตอร์แบบแยกขดกระตุ้น

ซึ่งสามารถเขียนเป็นสมการได้ ดังนี้

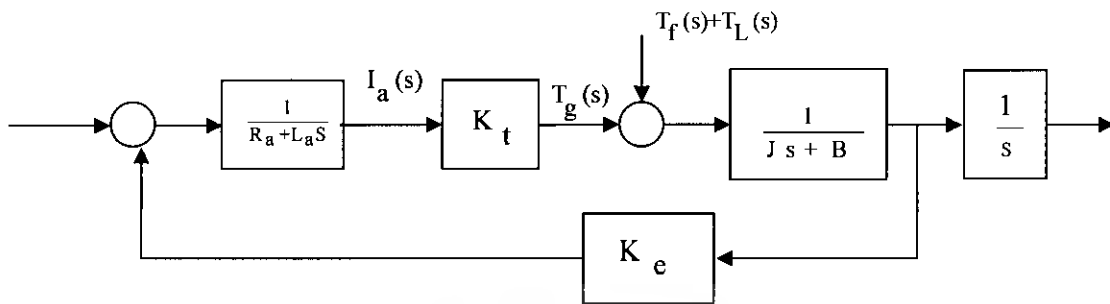
$$V_i(t) = R_a i_a(t) + L_a \frac{di_a(t)}{dt} + V_g(t) \quad (3-3)$$

$$T_g(t) = K_t i_a(t) \quad (3-4)$$

$$V_g(t) = K_e \omega(t) \quad (3-5)$$

เอกสารนี้เป็นเอกสารที่สงวนไว้สำหรับการใช้งานเพื่อการศึกษาเท่านั้น ไม่อนุญาตให้นำไปใช้ประโยชน์ด้านการค้า ไม่ว่ากรณีใดๆ ทั้งสิ้น อีกทั้งห้ามมิให้ดัดแปลงเนื้อหา และต้องอ้างอิงถึงเจ้าของเอกสารทุกครั้งที่มีการนำไปใช้

และสามารถนำมาเขียนเป็นบล็อกไดอะแกรม ได้ดังนี้



รูปที่ 3.27 บล็อกไดอะแกรมของดีซีมอเตอร์แบบแยกขดกระตุ้น

3.4.2 การวัดค่าแรงดันย้อนกลับ

จากสมการของดีซีมอเตอร์

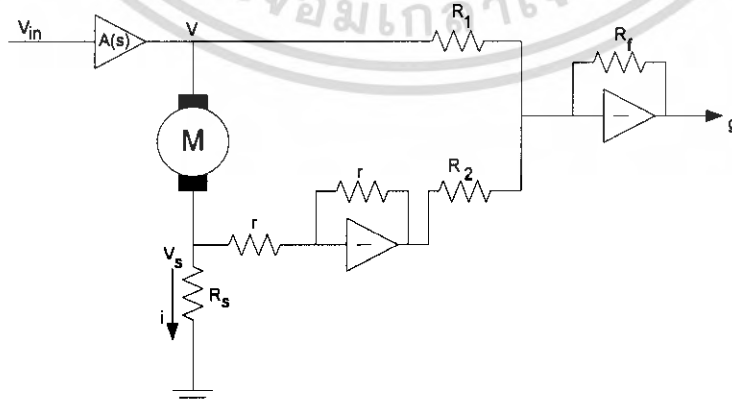
$$V_i(t) = R_a i_a(t) + K_e \omega(t) \tag{3-6}$$

เมื่อ K_e คือค่าคงที่ของแรงดันย้อนกลับ

ดังนั้นจะสามารถหาค่าความเร็วมอเตอร์ได้ คือ

$$\omega(t) = \frac{1}{K_e} [V_i(t) - R_a i_a(t)] \tag{3-7}$$

ซึ่งจากสมการที่ (3.7) สามารถนำมาสร้างเป็นวงจรได้ ดังแสดงในรูปที่ 3.28



รูปที่ 3.28 วงจรควบคุมความเร็วดีซีมอเตอร์

เอกสารนี้เป็นเอกสารที่สงวนไว้สำหรับการใช้งานเพื่อการศึกษาเท่านั้น ไม่อนุญาตให้นำไปใช้ประโยชน์ด้านการค้า ไม่ว่าจะกรณีใดๆ ทั้งสิ้น อีกทั้งห้ามมิให้ดัดแปลงเนื้อหา และต้องอ้างอิงถึงเจ้าของเอกสารทุกครั้งที่มีการนำไปใช้

สมมติว่าเอาที่พุดของ Operational Amplify มีอัตราขยายเป็นอินฟินิตี้ แรงดัน V_g กำหนดได้โดย

$$V_g(t) = -\frac{R_f}{R_1} V(t) + \frac{R_f}{R_2} V_s(t) \quad (3-8)$$

เนื่องจาก

$$V_s(t) = R_s i(t) \quad (3-9)$$

ดังนั้น จะได้

$$V_g(t) = -\frac{R_f}{R_1} V(t) + \frac{R_f R_s}{R_2} i(t) \quad (3-10)$$

เพื่อให้ V_g เป็นสัดส่วนกับความเร็วของมอเตอร์ ω ดังนั้น จะต้องกำหนดให้

$$\frac{R_f R_s}{R_2} = R_a \quad (3-11)$$

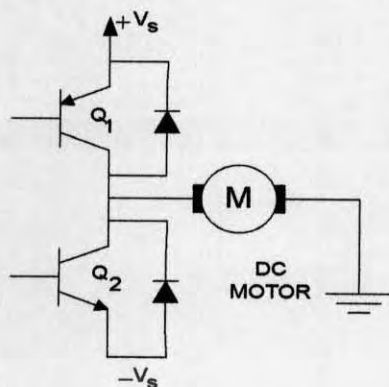
ดังนั้น จะได้

$$V_g(t) = \frac{-K_e R_f}{R_1} \omega(t) \quad (3-10)$$

3.4.3 วงจร Half-Bridge

วงจร Half-Bridge นั้นจัดเป็นวงจรแบบลิเนียร์ไบโพลาร์ดังรูปที่ 3.29 โดยในวงจรจะประกอบด้วย ทรานซิสเตอร์ 2 ตัว ตัวหนึ่งเป็นแบบ NPN อีกตัวหนึ่งเป็นแบบ PNP โดยถ้าให้สัญญาณเป้าหมาย (Set-Point Variable) มีค่าเป็นบวกแล้ว จะทำให้ทรานซิสเตอร์ Q_1 ซึ่งเป็นทรานซิสเตอร์แบบ NPN นำกระแส ทำให้มอเตอร์หมุนไปด้านหนึ่ง แต่ถ้าให้สัญญาณเป้าหมาย (Set-Point Variable) มีค่าเป็นลบ จะทำให้ทรานซิสเตอร์ Q_2 ซึ่งเป็นทรานซิสเตอร์แบบ PNP นำกระแส จะทำให้มอเตอร์หมุนกลับด้าน โดยจะพบว่าวงจร Half-Bridge ต้องใช้แรงดันที่มีค่าทั้งบวกและลบเพื่อที่จะควบคุมมอเตอร์ให้หมุนได้ครบทั้ง 2 ทิศทาง ซึ่งจะทำงานได้ครบทั้ง 4 Quadrant

เอกสารนี้เป็นเอกสารที่สงวนไว้สำหรับการใช้งานเพื่อการศึกษาเท่านั้น ไม่อนุญาตให้นำไปใช้ประโยชน์ด้านการค้าไม่ว่ากรณีใดๆ ทั้งสิ้น อีกทั้งห้ามมิให้ดัดแปลงเนื้อหา และต้องอ้างอิงถึงเจ้าของเอกสารทุกครั้งที่มีการนำไปใช้



รูปที่ 3.29 วงจร Half-Bridge

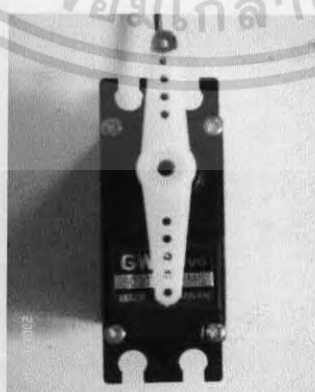
3.5 การควบคุมทิศทางของหุ่นยนต์

การควบคุมทิศทางของหุ่นยนต์นั้นจะใช้เซอร์โวมอเตอร์ 6 ตัว มาเป็นตัวควบคุมมุมเลี้ยวของล้อทั้ง 6 ล้อ ซึ่งเซอร์โวมอเตอร์นั้นสามารถหมุนได้ 180 องศา คือจาก -90 องศา ถึง 90 องศา โดยที่เซอร์โวมอเตอร์นั้นจะรับสัญญาณควบคุมที่เป็นสัญญาณตามความกว้างพัลส์ (Pulse-Width Modulation) ที่มีความกว้างพัลส์ตั้งแต่ 0.5 ถึง 2.5 มิลลิวินาที ทุกๆ 20 มิลลิวินาทีหรือคาบนั้นเอง ดังรูปที่ 3.30 และสามารถอธิบายได้ดังนี้

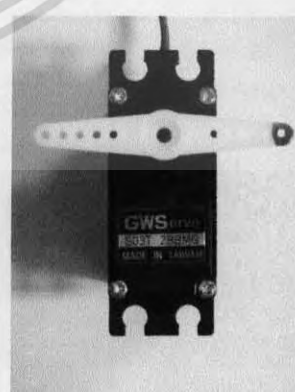
- สัญญาณตามความกว้างพัลส์ กว้าง 0.5 มิลลิวินาที คาบ 20 มิลลิวินาทีจะทำให้เซอร์โวหมุนไปที่ -90 องศา
- สัญญาณตามความกว้างพัลส์ กว้าง 1.5 มิลลิวินาที คาบ 20 มิลลิวินาทีจะทำให้เซอร์โวหมุนไปที่ 0 องศา
- สัญญาณตามความกว้างพัลส์ กว้าง 2.5 มิลลิวินาที คาบ 20 มิลลิวินาทีจะทำให้เซอร์โวหมุนไปที่ +90 องศา



(ก) -90 องศา



(ข) 0 องศา



(ค) +90 องศา

รูปที่ 3.30 เซอร์โวมอเตอร์

เอกสารนี้เป็นเอกสารที่สงวนไว้สำหรับการใช้งานเพื่อการศึกษาเท่านั้น ไม่อนุญาตให้นำไปใช้ประโยชน์ด้านการค้าไม่ว่ากรณีใดๆ ทั้งสิ้น อีกทั้งห้ามมิให้ดัดแปลงเนื้อหา และต้องอ้างอิงถึงเจ้าของเอกสารทุกครั้งที่มีการนำไปใช้

ซึ่งสัญญาณตามความกว้างพัลส์ที่จะมาควบคุมการทำงานของเซอร์โวมอเตอร์ทั้ง 6 ตัวนั้น จะมาจากไมโครคอนโทรลเลอร์ซึ่งสามารถสร้างสัญญาณตามความกว้างพัลส์ได้ 5 ช่องทาง โดยที่ ล้อกลางของหุ่นยนต์ด้านซ้ายและขวาจะใช้สัญญาณตามความกว้างพัลส์ช่องทางเดียวกัน ซึ่งจะทำให้สัญญาณตามความกว้างพัลส์ 5 ช่องทางนั้นเพียงพอต่อการควบคุมการทำงานของเซอร์โวมอเตอร์ทั้ง 6 ตัว โดยที่รีจิสเตอร์ CCAPnL ซึ่งเป็นรีจิสเตอร์ขนาด 8 บิต ที่จะนำมาเก็บค่าเพื่อสร้างสัญญาณตามความกว้างในช่วง 0.5-2.5 มิลลิวินาที และคาบเวลา 20 มิลลิวินาทีนั้น จะสามารถแปรค่าได้ 23 ค่า ทำให้ความละเอียดของมุมเลี้ยวของเซอร์โวมอเตอร์เป็น 8.18 องศาต่อการเปลี่ยนค่าในรีจิสเตอร์ CCAPnL และยังสามารถทำงานด้านการเลี้ยวได้ครบถ้วนทุกรูปแบบด้วย

3.6 การเคลื่อนที่ของหุ่นยนต์

การเคลื่อนที่ของหุ่นยนต์นั้นสามารถแบ่งออกเป็น 2 หัวข้อ คือ ความเร็วและการเลี้ยว

3.6.1 ความเร็วของหุ่นยนต์

จากที่ได้กล่าวมาแล้วนั้น ความเร็วของหุ่นยนต์จะถูกแบ่งออกเป็น 4 ช่วง หรือ 4 เกียร์ นั่นเอง คือ เกียร์ว่าง เกียร์ 1 เกียร์ 2 เกียร์ 3 และเกียร์ 4 โดยที่ในแต่ละเกียร์ที่เพิ่มขึ้นจะเป็นการเพิ่มความเร็วกว่า 25% คือ 0% 25% 50% 75% และ 100% ซึ่งหุ่นยนต์นั้นจะสามารถเคลื่อนที่ได้ก็ต่อเมื่อมีทั้งคำสั่งเดินหน้าและคำสั่งความเร็ว (ค่าเกียร์ไม่ใช่เกียร์ว่าง) พร้อมกัน ถ้ามีเฉพาะคำสั่งเดินหน้า(ความเร็วเป็นเกียร์ว่าง)หรือคำสั่งความเร็วอย่างเดียวอย่างใดอย่างหนึ่ง หุ่นยนต์จะไม่เคลื่อนที่



รูปที่ 3.31 ความเร็วของหุ่นยนต์แบ่งตามระดับเกียร์

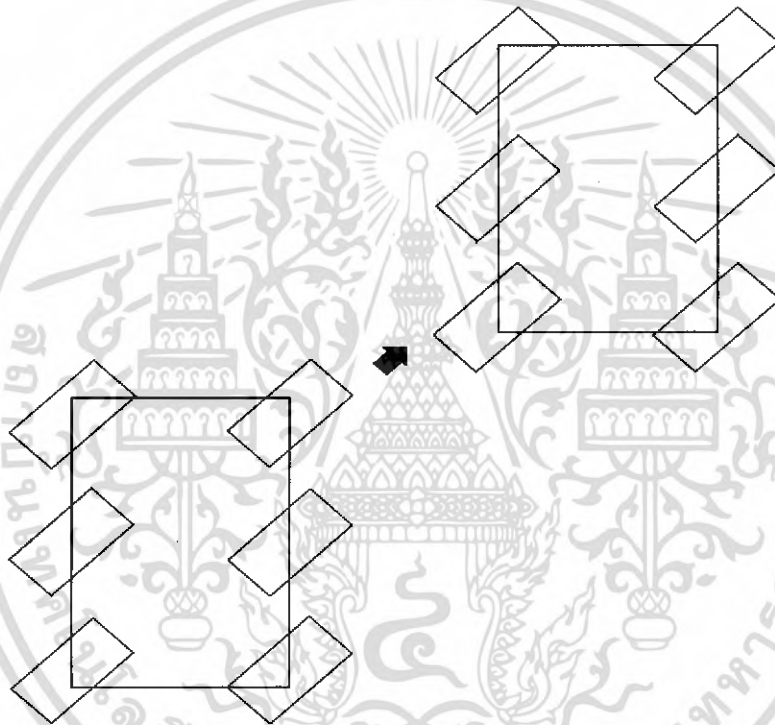
เอกสารนี้เป็นเอกสารที่สงวนไว้สำหรับการใช้งานเพื่อการศึกษาเท่านั้น ไม่อนุญาตให้นำไปใช้ประโยชน์ด้านการค้า ไม่ว่ากรณีใดๆ ทั้งสิ้น อีกทั้งห้ามมิให้ดัดแปลงเนื้อหา และต้องอ้างอิงถึงเจ้าของเอกสารทุกครั้งที่มีการนำไปใช้

3.6.2 การเลี้ยวของหุ่นยนต์

เนื่องจากหุ่นยนต์ Rocker-Bogie นั้นจะมีความสามารถในการเลี้ยวที่ดี คือสามารถเลี้ยวได้หลายรูปแบบ ซึ่งสามารถใช้ได้กับพื้นที่ๆต่างกัน และสามารถแบ่งได้เป็น 3 รูปแบบ ดังนี้

3.6.2.1 การเลี้ยวแบบกะทันหัน

การเลี้ยวแบบกะทันหัน คือ การเลี้ยวที่ล้อทั้ง 6 ล้อนั้นจะหมุนเลี้ยวไปที่มุมเดียวกันทั้งหมด ทำให้สามารถเลี้ยวได้ในพื้นที่แคบๆได้ ซึ่งสามารถใช้ได้ทั้งกับในบริเวณพื้นที่ทั่วไปหรือการออกจากบริเวณที่มีพื้นที่แคบๆ หรือเพื่อหลบหลีกสิ่งกีดขวาง

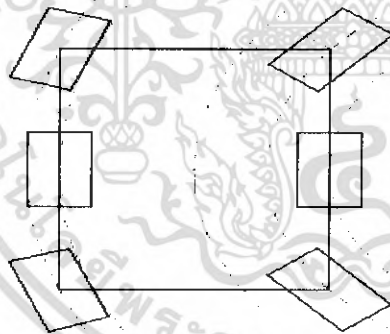


รูปที่ 3.32 การเลี้ยวแบบกะทันหัน

3.6.2.2 การเลี้ยวแบบรัศมี

การเลี้ยวแบบรัศมี คือ การเลี้ยวเป็นวงโค้งที่เส้นทางการเคลื่อนที่จะเป็นรัศมีของวงกลม ซึ่งขนาดของรัศมินั้นอาจจะมากหรือน้อยก็ได้ขึ้นอยู่กับมุมเลี้ยว ซึ่งจะใช้กับบริเวณพื้นที่ทั่วไปและไม่เหมาะกับบริเวณพื้นที่แคบๆ เนื่องจากต้องการพื้นที่ในการเลี้ยวมากพอสมควร การเลี้ยวแบบรัศมีของหุ่นยนต์ Rocker-Bogie ซึ่งเป็นหุ่นยนต์ 6 ล้อนั้นจะต้องควบคุมทั้งมุมเลี้ยวและความเร็วของล้อต่างๆให้สัมพันธ์กัน เพื่อให้หุ่นยนต์จะได้เลี้ยวได้อย่างถูกต้อง โดยจะบังคับให้มุมเลี้ยวของล้อกลางทั้ง 2 ข้าง คือ ล้อกลางซ้ายและล้อกลางขวานั้นเป็น 0 องศา ตลอดเวลา คือ เป็นจุดเริ่มต้น (Origin) ของวงกลมรัศมี r ซึ่งมุมของล้อทั้ง 4 ล้อที่เหลือ คือ ล้อหน้าด้านซ้าย ล้อหน้าด้านขวา ล้อหลังด้านซ้าย และล้อหลังด้านขวา จะต้องมีให้ตัดแปลงเนื้อหา และต้องอ้างอิงถึงเจ้าของเอกสารทุกครั้งที่มีการนำไปใช้

หน้าด้านขวา ล้อหลังด้านซ้าย และล้อหลังด้านขวานั้นจะต้องทำงานสัมพันธ์กัน ซึ่งมุมการเลี้ยวของล้อหน้าและล้อหลังของทั้งสองด้านนั้นจะต้องทำงานตรงข้ามกันเพื่อที่รูปแบบของการเลี้ยวจะได้เป็นรูปรีสมิววงกลมที่มีจุดเริ่มต้นเดียวกัน ตามรูปที่ 3.33 จากนั้นจะต้องแบ่งล้อออกเป็น 2 ด้านตามการเลี้ยว คือ ล้อด้านในและล้อด้านนอกโดยเมื่อเป็นการเลี้ยวแบบรีสมิวด้านซ้ายนั้น ล้อด้านในหมายถึง ล้อหน้าและล้อหลังด้านซ้าย ส่วนล้อด้านนอกก็คือ ล้อหน้าและล้อหลังด้านขวา ส่วนในกรณีที่เป็นการเลี้ยวรีสมิวด้านขวานั้น ล้อด้านในก็คือ ล้อหน้าและล้อหลังด้านขวา และล้อด้านนอกก็คือล้อหน้าและล้อหลังด้านซ้าย และต้องควบคุมความเร็วของล้อด้านในและล้อด้านนอกให้ทำงานสัมพันธ์กันเพื่อป้องกันการลื่นไถล (Slip) และทำงานได้อย่างถูกต้อง โดยที่จะกำหนดให้ความเร็วของหุ่นยนต์คือความเร็วของวงกลมที่มีรัศมีกึ่งกลางของล้อด้านในและล้อด้านนอก ซึ่งความเร็วของล้อด้านในจะต้องต่ำกว่าความเร็วของหุ่นยนต์ และความเร็วของล้อด้านนอกจะต้องสูงกว่าความเร็วของหุ่นยนต์

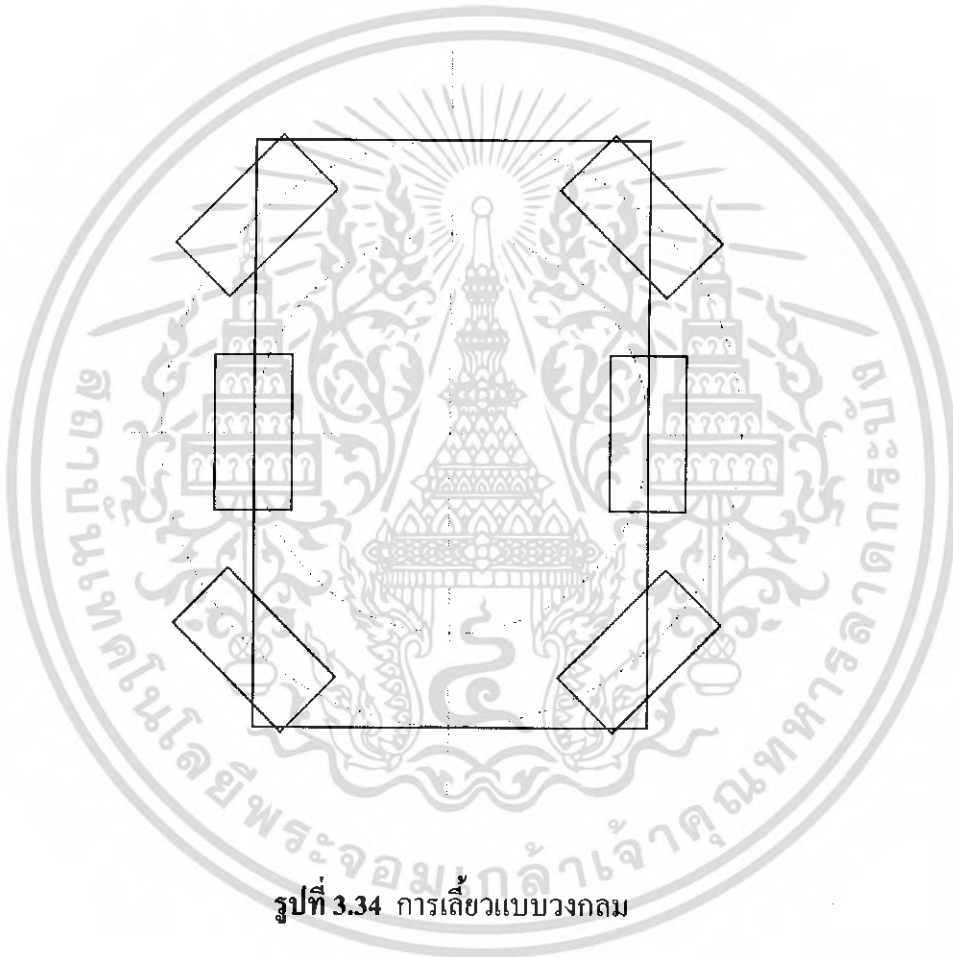


รูปที่ 3.33 การเลี้ยวแบบรีสมิว

เอกสารนี้เป็นเอกสารที่สงวนไว้สำหรับการใช้งานเพื่อการศึกษาเท่านั้น ไม่อนุญาตให้นำไปใช้ประโยชน์ด้านการค้าไม่ว่ากรณีใดๆ ทั้งสิ้น อีกทั้งห้ามมิให้ตัดแปลงเนื้อหา และต้องอ้างอิงถึงเจ้าของเอกสารทุกครั้งที่มีการนำไปใช้

3.6.2.3 การเลี้ยวแบบวงกลม

การเลี้ยวแบบวงกลม คือ การเลี้ยวที่ล้อทั้ง 6 ล้อทำมุมเป็นรูปวงกลม ดังรูปที่ 3.34 ซึ่งใช้สำหรับหมุนเพื่อเปลี่ยนทิศทางการเคลื่อนที่ของหุ่นยนต์เพื่อออกจากพื้นที่แคบๆหรือหลบหลีกสิ่งกีดขวาง ซึ่งเมื่อจัดล้อทั้ง 6 ล้อให้เป็นรูปวงกลมโดยให้ล้อกลางของหุ่นยนต์ทั้ง 2 ข้างมีมุมเป็น 0 องศาแล้ว จะพบว่าประกอบด้วยวงกลม 2 วงที่มีรัศมีไม่เท่ากัน คือ วงกลมที่มีรัศมีมากกว่าที่ประกอบด้วยล้อหน้าด้านซ้าย ล้อหน้าด้านขวา ล้อหลังด้านซ้าย และล้อหลังด้านขวา และวงกลมที่มีรัศมีน้อยกว่าซึ่งประกอบด้วยล้อกลางด้านซ้ายและด้านขวา ซึ่งจะต้องควบคุมความเร็วของล้อในแต่ละวงกลมให้สัมพันธ์กันเพื่อป้องกันการลื่นไถล (Slip) และทำงานได้อย่างถูกต้อง



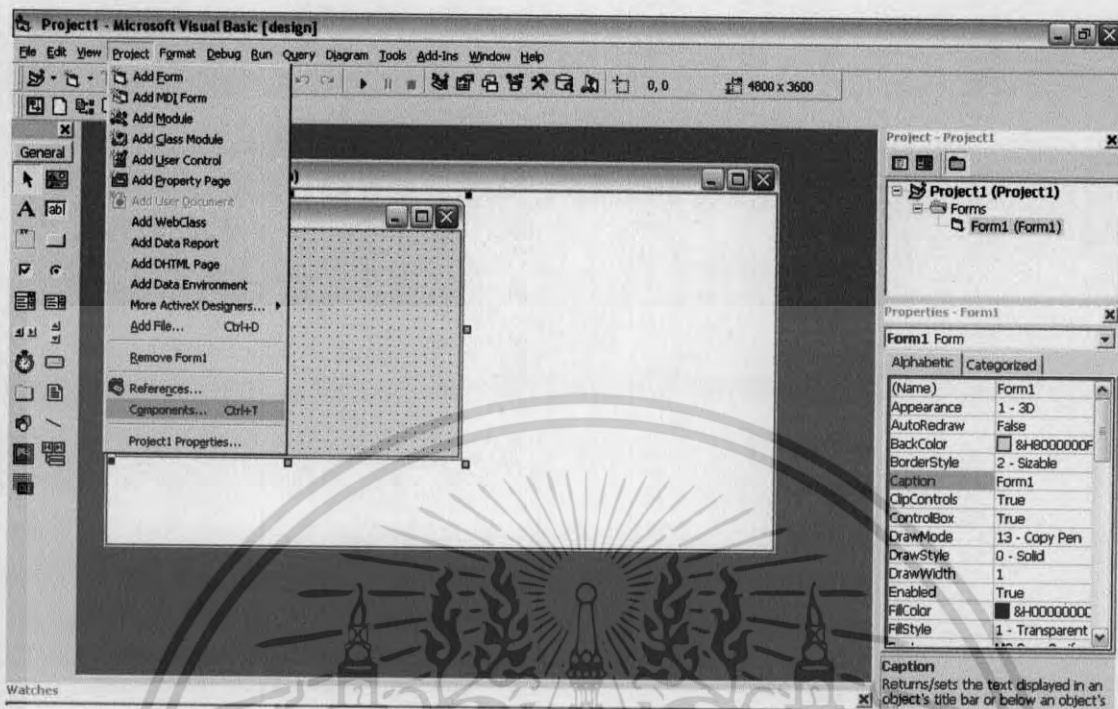
3.7 โปรแกรม Rocker-Bogie Robot Control

3.7.1 การติดต่อกับ Serial Port ด้วย Visual Basic

สามารถทำได้โดยใช้ VB Control ที่ชื่อว่า MSComm โดยต้องกำหนด Custom Control เข้าไปที่เมนู Project → Components แล้วเลือกที่ช่อง MSComm จะปรากฏไอคอนรูปโทรศัพท์สีเหลืองคลิกที่ไอคอนลากนำมาไว้บน Form ใน Project โดยสามารถทำตามวิธีที่กล่าวมา ดังรูปต่อไปนี้

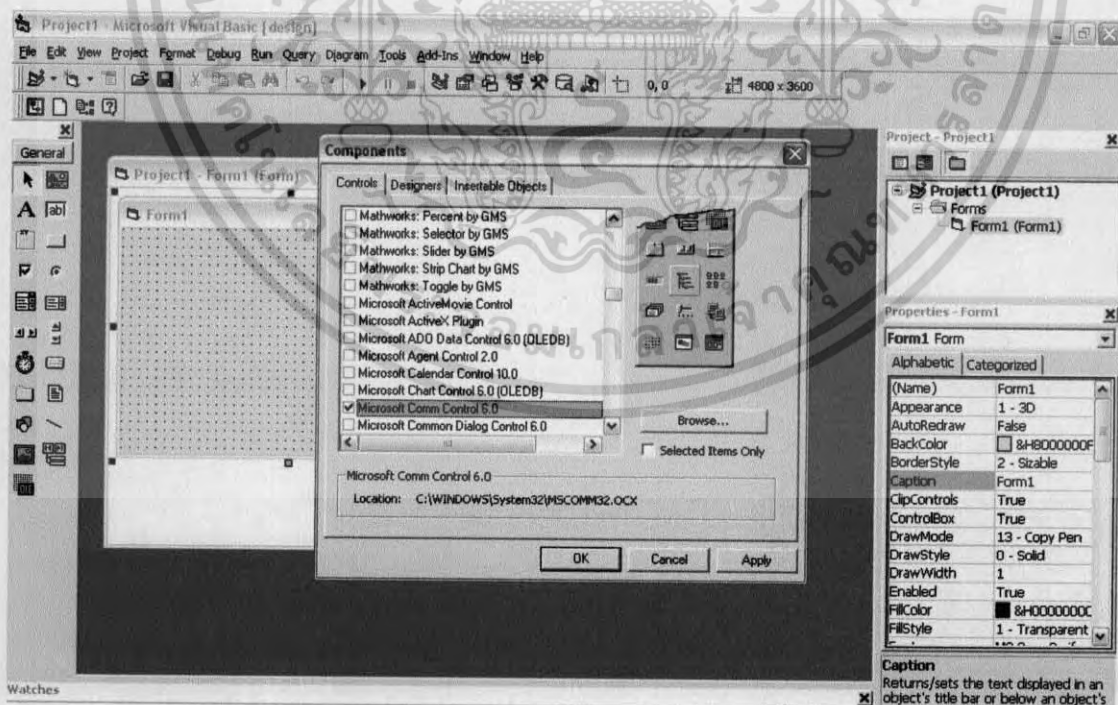
เอกสารนี้เป็นเอกสารที่สงวนไว้สำหรับการใช้งานเพื่อการศึกษาเท่านั้น ไม่อนุญาตให้นำไปใช้ประโยชน์ด้านการค้าไม่ว่ากรณีใดๆ ทั้งสิ้น อีกทั้งห้ามมิให้ดัดแปลงเนื้อหา และต้องอ้างอิงถึงเจ้าของเอกสารทุกครั้งที่มีการนำไปใช้

1. เลือกที่เมนูบาร์ด้านบนของโปรแกรม Visual Basic ดังรูปด้านล่าง



(ก)

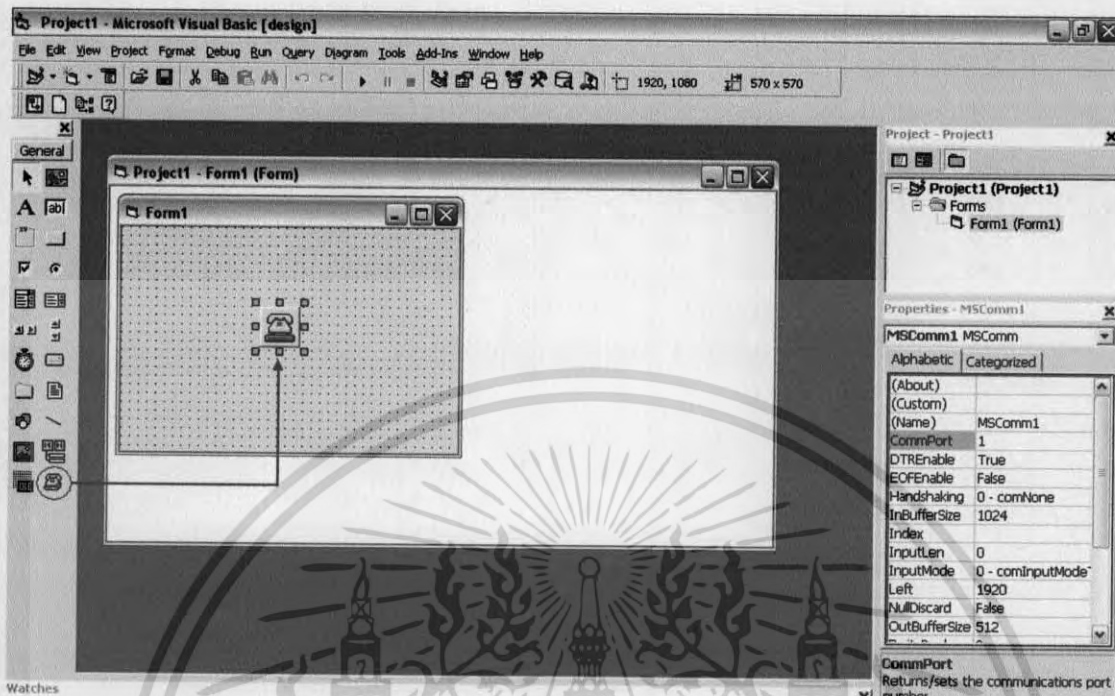
2. เลือกชื่อ Control ชื่อ Microsoft Comm Control 6.0 แล้วคลิก OK



(ข)

เอกสารนี้เป็นเอกสารที่สงวนไว้สำหรับการใช้งานเพื่อการศึกษาเท่านั้น ไม่อนุญาตให้นำไปใช้ประโยชน์ด้านการค้า
ไม่ว่ากรณีใดๆ ทั้งสิ้น อีกทั้งห้ามมิให้ดัดแปลงเนื้อหา และต้องอ้างอิงถึงเจ้าของเอกสารทุกครั้งที่มีการนำไปใช้

3. ลาก Control ชื่อ Microsoft Comm จาก ToolBox มาวางไว้บน Form ดังรูปด้านล่าง



(ค)

รูปที่ 3.35 วิธีการติดต่อกับ Serial Port

3.7.1.1 การเขียนโปรแกรมติดต่อกับ Serial Port

สามารถทำได้ 2 วิธี คือ

1. การติดต่อแบบอินเตอร์รัพท์

ขบวนการอินเตอร์รัพท์ อุปกรณ์รอบข้างเกือบทุกชิ้นจะต้องปฏิบัติงานอยู่เพื่อส่งสัญญาณไปให้แก่ CPU เสมอ ถ้าอุปกรณ์นั้นพร้อมที่จะรับส่ง โดยในการเขียน โปรแกรมอินเตอร์รัพท์ เมื่อมีข้อมูลเข้ามา ก็จะทำให้มี CommEvent เกิดขึ้นกับ OnCommEvent

2. การติดต่อแบบโพลลิ่ง

เป็นการตรวจสอบข้อมูลตลอดเวลาการทำงานกับข้อมูลที่รับเข้ามา โดยเราจะใช้การตรวจสอบข้อมูลที่มาจาก Serial Port ตลอด โดยจะใช้ Control Timer เข้ามาช่วยในการเขียนโปรแกรมซึ่งสามารถตรวจสอบได้ถึงระดับ 1 มิลลิวินาที หรือจะใช้คำสั่ง Do.....Loop แทนก็ได้ซึ่งในโครงการนี้ได้ใช้การติดต่อแบบอินเตอร์รัพท์ โดยที่ในตัวของคอนโทรล MSComm มี Event เพียง Event เดียวเท่านั้นคือ OnComm Event ซึ่งจะใช้ในการติดต่อแบบอินเตอร์รัพท์ ซึ่งในการเขียนโปรแกรมติดต่อกับ Serial Port ในโครงการนี้จะใช้ comEvent เพียง comEvReceive และ comEvSend เท่านั้น

เอกสารนี้เป็นเอกสารที่สงวนไว้สำหรับการใช้งานเพื่อการศึกษาเท่านั้น ไม่อนุญาตให้นำไปใช้ประโยชน์ด้านการค้าไม่ว่ากรณีใดๆ ทั้งสิ้น อีกทั้งห้ามมิให้ดัดแปลงเนื้อหา และต้องอ้างอิงถึงเจ้าของเอกสารทุกครั้งที่มีการนำไปใช้

3.7.1.2 องค์ประกอบในการใช้ MSComm

1. Property ชื่อ Comport คือ การเลือกคอมพอร์ตที่เราต้องการจะต่อใช้งาน โดยมีคำสั่งการใช้งานดังนี้

ตัวอย่าง MSComm1.Comport = 1

ในที่นี้เลือกใช้ Com1 ที่อยู่ด้านหลังเครื่องคอมพิวเตอร์

2. Property ชื่อ Settings คือ การตั้งค่าของการรับส่งข้อมูลซึ่งจะต้องรู้ว่าอัตราบอร์คของอุปกรณ์ที่จะติดต่อกันเป็นเท่าไร โดยมีรายละเอียดการใส่ค่าต่างๆดังนี้

MSComm1.Setting = “อัตราการรับส่งข้อมูล,Parity(ถ้าไม่ใช่ใส่ N),จำนวนบิตข้อมูล,StopBit”

โดยมีคำสั่งการใช้งานดังนี้

ตัวอย่าง MSComm1.Settings = “9600,N,8,1”

3. Property ชื่อ InputLen คือ การกำหนดขนาดของข้อมูลที่ให้ไปอ่านจากข้อมูลที่อยู่ในบัฟเฟอร์ภาครับ โดยมีคำสั่งการใช้งานดังนี้

ตัวอย่าง MSComm1.InputLen = 1

4. Property ชื่อ PortOpen คือ การกำหนดให้มีการเปิดใช้งานของพอร์ตอนุกรมหรือไม่ ถ้าเปิด = True แต่ถ้าปิด = False โดยมีคำสั่งการใช้งานดังนี้

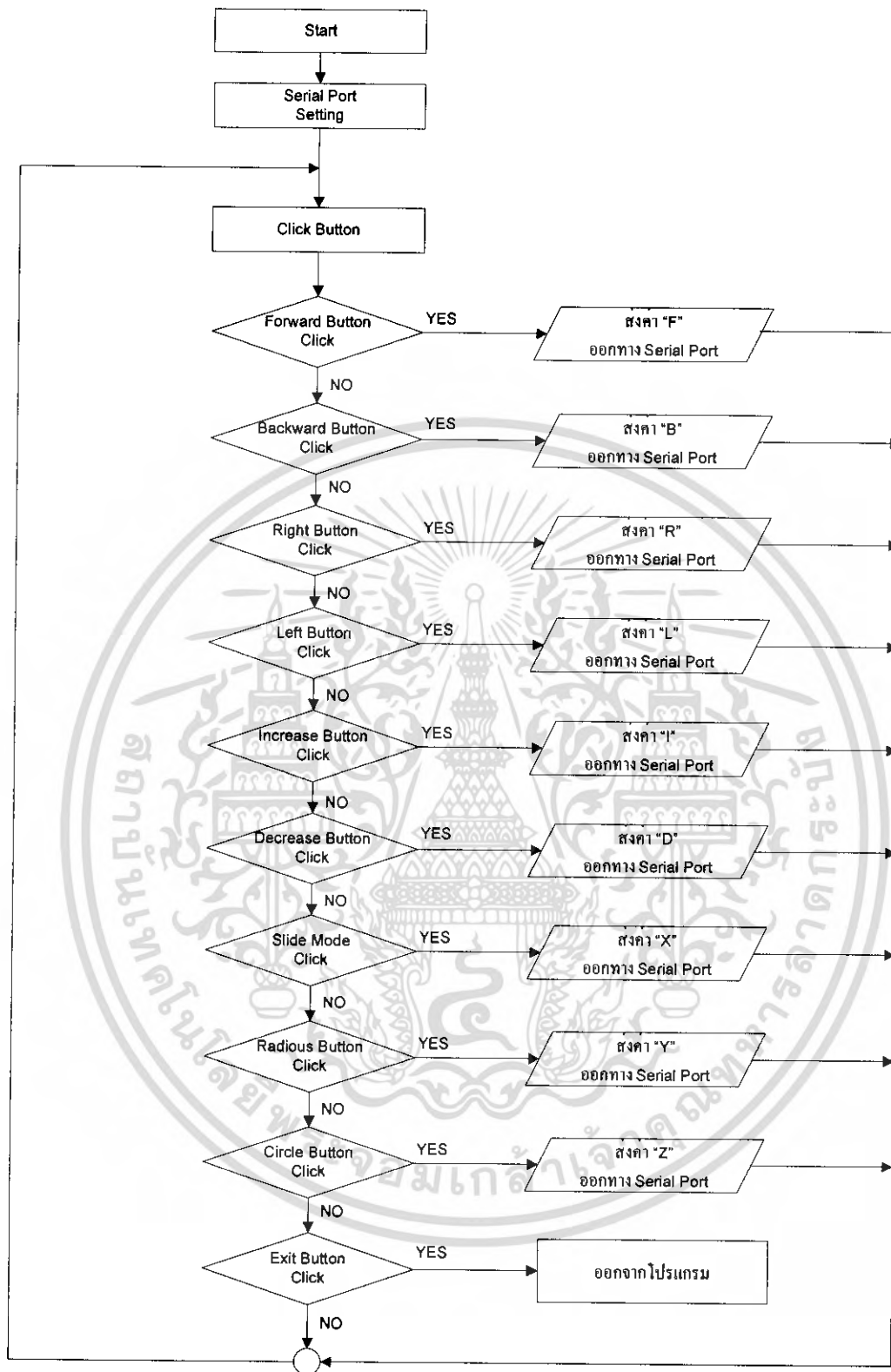
ตัวอย่าง MSComm1.PortOpen = True

5. Property ชื่อ Rthreshold คือ ทำให้เกิดการกระตุ้นด้วย Even-driven เมื่อมีข้อมูลเข้ามาในบัฟเฟอร์ภาครับ ทำให้เกิด CommEvent ใน OnCommEvent โดยมีคำสั่งการใช้งานดังนี้

ตัวอย่าง MSComm1.Rthreshold = 1

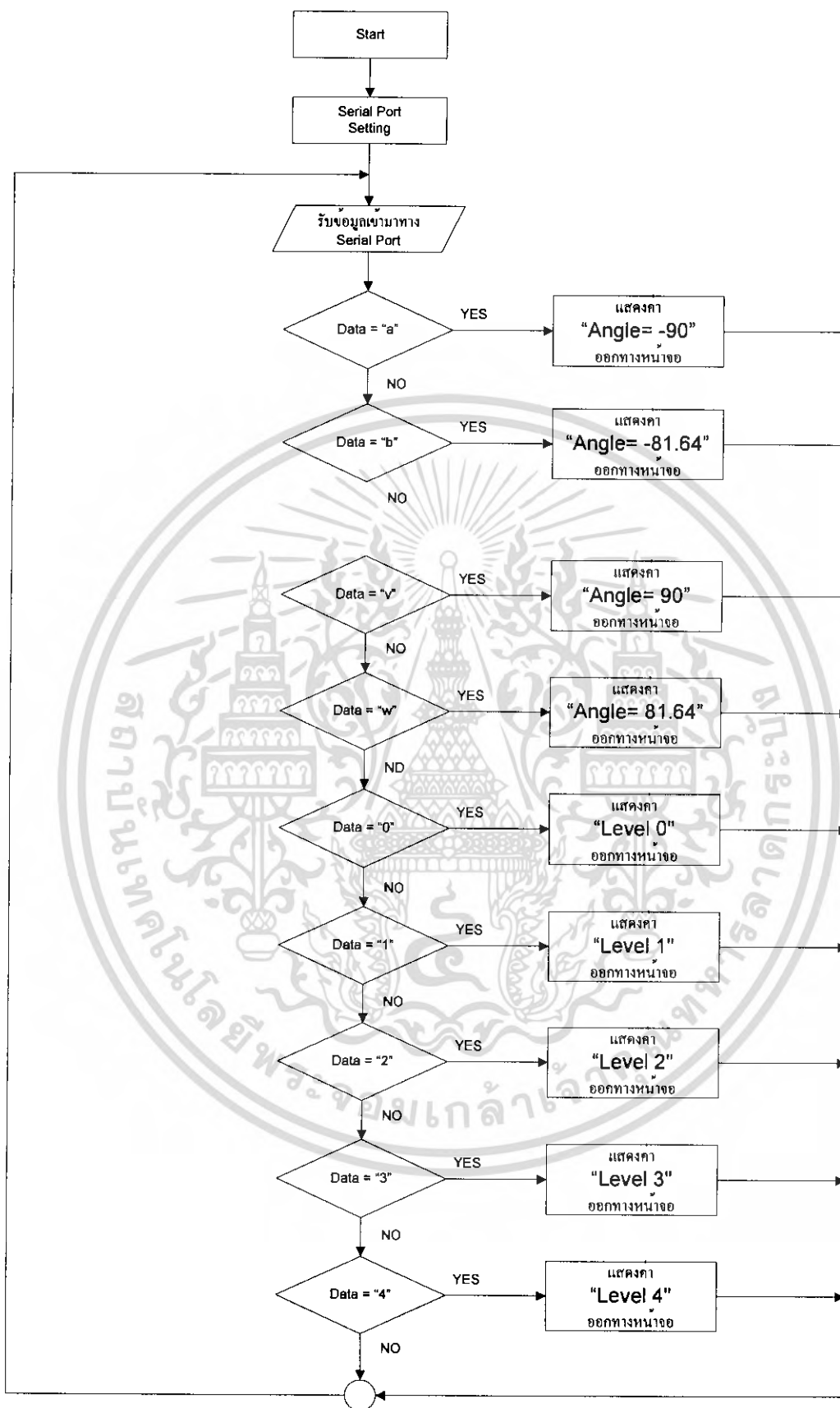
ในโครงการนี้ได้นำโปรแกรม Visual Basic มาใช้ในการติดต่อกับไมโครคอนโทรลเลอร์ โดยผ่านพอร์ตอนุกรม (RS-232) โดยจะต้องเขียนโปรแกรมคำสั่งกำหนดในไมโครคอนโทรลเลอร์ว่าถ้ารับค่าจาก Serial Port มาแล้วจะให้ทำอะไรเพื่อที่เวลาเราส่งค่าไปที่ไมโครคอนโทรลเลอร์จะได้รู้จักคำสั่งว่าจะให้ตัวไมโครคอนโทรลเลอร์ทำอะไรหรือให้ส่งค่าอะไรกลับมา ซึ่งโปรแกรมที่ใช้ในการติดต่อกับไมโครคอนโทรลเลอร์เพื่อใช้ในการบังคับหุ่นยนต์ในโครงการนี้มีหลักการเขียนง่าย ๆ ซึ่งสามารถอธิบายได้ด้วย Flow Chat ดังนี้

เอกสารนี้เป็นเอกสารที่สงวนไว้สำหรับการใช้งานเพื่อการศึกษาเท่านั้น ไม่อนุญาตให้นำไปใช้ประโยชน์ด้านการค้า ไม่ว่ากรณีใดๆ ทั้งสิ้น อีกทั้งห้ามมิให้ดัดแปลงเนื้อหา และต้องอ้างอิงถึงเจ้าของเอกสารทุกครั้งที่มีการนำไปใช้



รูปที่ 3.36 Flowchart การส่งข้อมูลให้กับไมโครคอนโทรลเลอร์

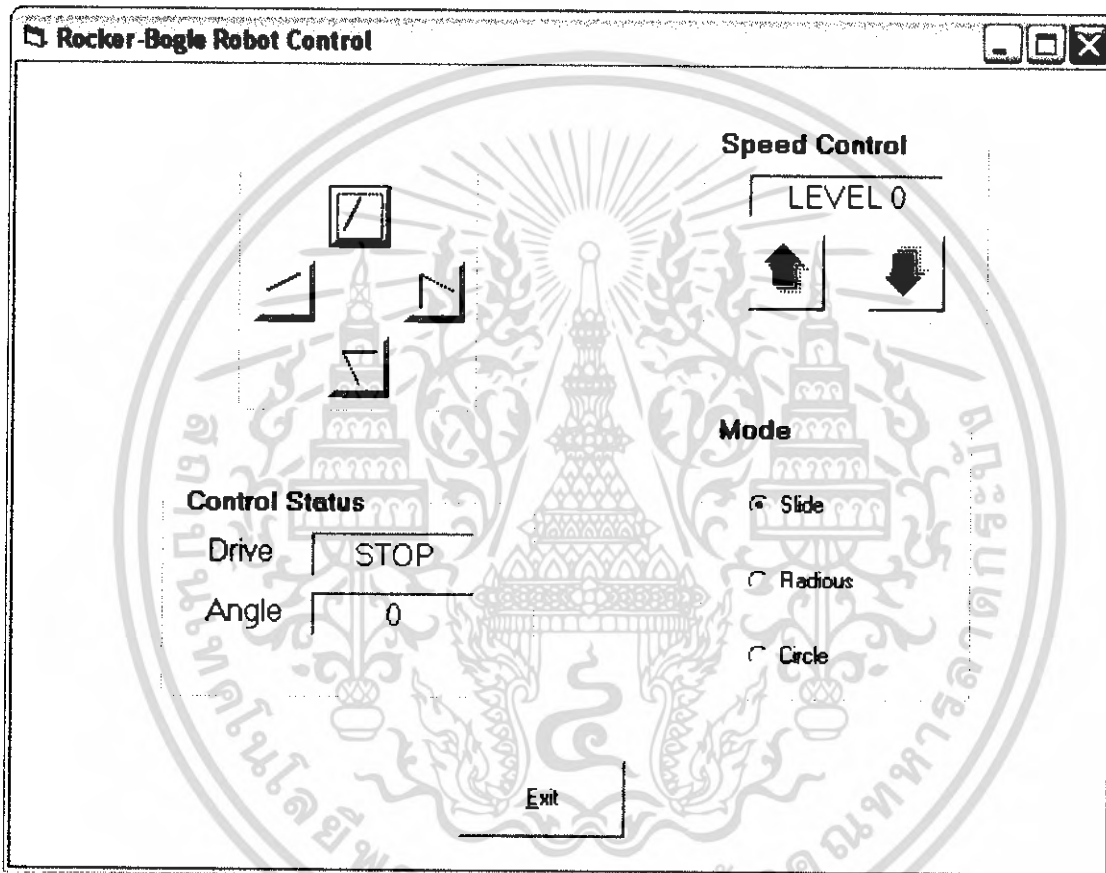
เอกสารนี้เป็นเอกสารที่สงวนไว้สำหรับการใช้งานเพื่อการศึกษาเท่านั้น ไม่อนุญาตให้นำไปใช้ประโยชน์ด้านการค้า ไม่ว่ากรณีใดๆ ทั้งสิ้น อีกทั้งห้ามมิให้ดัดแปลงเนื้อหา และต้องอ้างอิงถึงเจ้าของเอกสารทุกครั้งที่มีการนำไปใช้



รูปที่ 3.37 Flowchart การรับข้อมูลจากไมโครคอนโทรลเลอร์



เอกสารนี้เป็นเอกสารที่สงวนไว้สำหรับการใช้งานเพื่อการศึกษาเท่านั้น ไม่อนุญาตให้นำไปใช้ประโยชน์ด้านการค้า ไม่ว่าจะกรณีใดๆ ทั้งสิ้น อีกทั้งห้ามมิให้ดัดแปลงเนื้อหา และต้องอ้างอิงถึงเจ้าของเอกสารทุกครั้งที่มีการนำไปใช้

ซึ่งโปรแกรมในส่วนของภาครีบบนนั้นจะเป็นตัวแสดงการยืนยันจากไมโครคอนโทรลเลอร์ว่า ได้กระทำตามคำสั่งที่ผู้ใช้งานสั่งให้กระทำแล้ว เช่น การเลี้ยวของหุ่นยนต์เมื่อมีการสั่งให้เกิดการเลี้ยวขึ้นเมื่อไมโครคอนโทรลเลอร์ได้รับคำสั่งและสั่งให้หุ่นเกิดการเลี้ยวแล้วก็จะทำการส่งคืนค่ากลับมาหลังจากที่ไมโครคอนโทรลเลอร์สั่งให้หุ่นยนต์เกิดการเลี้ยวไปแล้ว ซึ่งค่าที่ส่งกลับมานี้จะถูกนำมาแบ่งแยกเป็นกรณีเพื่อนำมาแสดงเป็นแสดงค่ามุมให้รู้ต่อไป ซึ่งเป็นการบ่งบอกให้รู้ว่า หุ่นยนต์เกิดการทำงานขึ้นจริงตามที่ผู้ควบคุมบังคับ



รูปที่ 3.38 หน้าจอโปรแกรมที่ใช้ในการบังคับหุ่นยนต์ Rocker-Bogie Robot

3.7.1.3 วิธีการใช้โปรแกรม Rocker-Bogie Robot Control

-  ใช้ในการสั่งให้หุ่นยนต์เคลื่อนที่ไปข้างหน้า (จะเคลื่อนที่ได้เมื่อมีความเร็วในการเคลื่อนที่อย่างน้อย Level1)
-  ใช้ในการสั่งให้หุ่นยนต์เคลื่อนที่ไปข้างหลัง (จะเคลื่อนที่ได้เมื่อมีความเร็วในการเคลื่อนที่อย่างน้อย Level1)

เอกสารนี้เป็นเอกสารที่สงวนลิขสิทธิ์ไว้เพื่อการศึกษาเท่านั้น ไม่อนุญาตให้นำไปใช้ประโยชน์ด้านการค้า
ไม่ว่ากรณีใดๆ ทั้งสิ้น อีกทั้งห้ามมิให้ดัดแปลงเนื้อหา และต้องอ้างอิงถึงเจ้าของเอกสารทุกครั้งที่มีการนำไปใช้



ใช้ในการสั่งให้หุ่นยนต์เลี้ยวไปทางซ้าย



ใช้ในการเพิ่มความเร็วในการเคลื่อนที่ของหุ่นยนต์



ใช้ในการลดความเร็วในการเคลื่อนที่ของหุ่นยนต์

๑ Slide เลือกโหมดการเลี้ยวแบบ Slide (ไปทางด้านข้าง)

๑ Radious เลือกโหมดการเลี้ยวแบบรัศมี

๑ Circle เลือกโหมดการเลี้ยวแบบเป็นวงกลมรอบจุดศูนย์กลางหุ่นยนต์



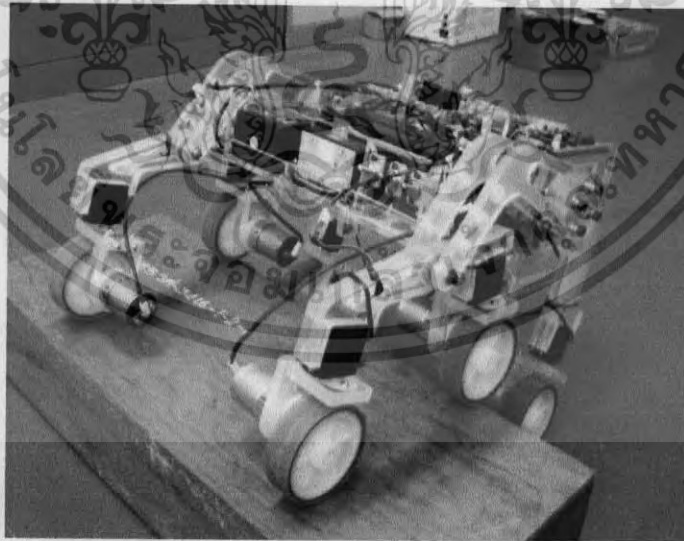
เอกสารนี้เป็นเอกสารที่สงวนไว้สำหรับการใช้งานเพื่อการศึกษาเท่านั้น ไม่อนุญาตให้นำไปใช้ประโยชน์ด้านการค้า
ไม่ว่ากรณีใดๆ ทั้งสิ้น อีกทั้งห้ามมิให้ดัดแปลงเนื้อหา และต้องอ้างอิงถึงเจ้าของเอกสารทุกครั้งที่มีการนำไปใช้

บทที่ 4

การทดลอง

4.1 ขั้นตอนการทดลอง

การทดลองนี้เป็นการทดสอบสมรรถนะของหุ่นยนต์ rocker-bogie หลังจากสร้างเสร็จว่ามีความสามารถเพียงใดในการที่จะแล่นผ่านอุปสรรคต่างๆ โดยทำการทดลองทั้งหมด 4 การทดลอง โดยการทดลองแรกเริ่มจากการวัดค่าความเร็วที่ตัวหุ่นยนต์สามารถแล่นได้ในแต่ละเกียร์ในสภาพพื้นผิวที่แตกต่างกัน คือ พื้นยาง พื้นคอนกรีต พื้นหญ้า และพื้นทราย การทดลองที่ 2 พิจารณาแรงกดที่เกิดขึ้นที่ล้อทั้ง 6 เมื่อแล่นผ่านพื้นที่มีความเอียงต่างๆ กันออกไปโดยการไต่พื้นเอียงนั้นเริ่มที่ระดับ 5 องศา แล้วค่อยๆ เพิ่มระดับความเอียงไปเรื่อยๆ แล้วจึงวิเคราะห์แรงที่เกิดขึ้นแต่ละล้อจนกว่าตัวรถจะเกิดการลื่นและพลิกคว่ำหรือ ไม่สามารถที่จะขับเคลื่อนไปต่อได้ นั่นหมายถึงประสิทธิภาพในการแล่นผ่านพื้นเอียงของหุ่นยนต์ rocker-bogie จากนั้นการทดลองที่ 3 จะทำการแล่นข้ามผ่านสิ่งกีดขวางที่มีลักษณะตั้งฉากและมีความสูงมากกว่าครึ่งล้อว่าความสูงที่สุดที่หุ่นสามารถข้ามผ่านไปได้เป็นเท่าใด และการทดลองสุดท้ายจะทำการนำตัวหุ่นยนต์ลงทำการแล่นผ่านพื้นที่จริงที่มีสภาวะที่ค่อนข้างขรุขระและมีอุปสรรคต่าง ๆ นานาเป็นขั้นตอนสุดท้าย



รูปที่ 4.1 หุ่นยนต์ rocker-bogie เมื่อเสร็จสมบูรณ์

เอกสารนี้เป็นเอกสารที่สงวนไว้สำหรับการใช้งานเพื่อการศึกษาเท่านั้น ไม่อนุญาตให้นำไปใช้ประโยชน์ด้านการค้า
ไม่ว่ากรณีใดๆ ทั้งสิ้น อีกทั้งห้ามมิให้ตัดแปลงเนื้อหา และต้องอ้างอิงถึงเจ้าของเอกสารทุกครั้งที่มีการนำไปใช้

4.2 ผลการทดลอง

4.2.1 การทดลองที่ 1

การทดลองนี้จะทำการวัดความเร็วแต่ละเกียร์ของหุ่นยนต์ที่สามารถวิ่งไปได้ในแต่ละสภาพพื้นผิว โดยทำการจับเวลา 10 วินาที แล้วทำการวัดระยะทางที่รถวิ่งไปได้ ทำการทดลองเกียร์ละ 3 ครั้ง นำมาหาค่าเฉลี่ย แล้วแปลงให้อยู่ในรูป เมตร/วินาที

ตารางที่ 4.1 ความเร็วในแต่ละเกียร์ที่หุ่นยนต์วิ่งได้บนพื้นยาง

GEAR	ครั้งที่ (cm/10 sec)			ความเร็วเฉลี่ย (cm/10 sec)	ความเร็ว (m/s)
	1	2	3		
1	11.5	12	12	11.83	0.012
2	24.5	23.5	23.5	23.83	0.024
3	37.5	36	36.5	36.66	0.037
4	43	45.5	45.5	44.66	0.045

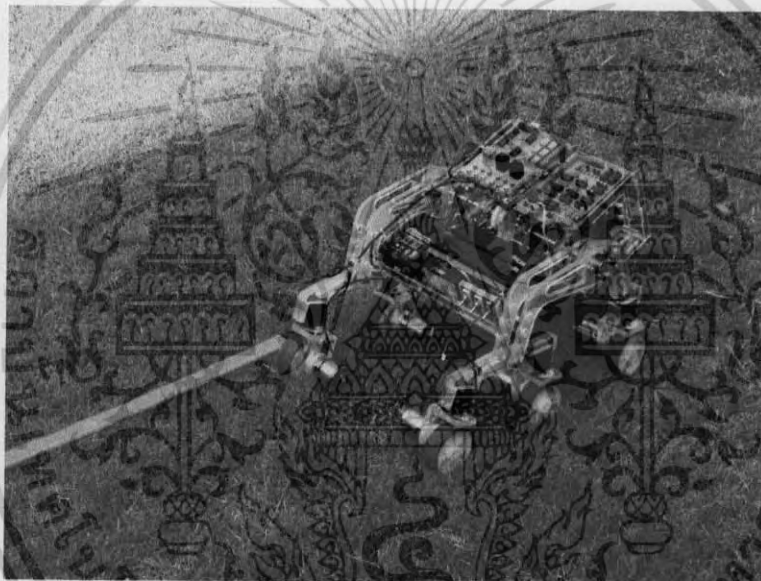


รูปที่ 4.2 พื้นยาง

เอกสารนี้เป็นเอกสารที่สงวนไว้สำหรับการใช้งานเพื่อการศึกษาเท่านั้น ไม่อนุญาตให้นำไปใช้ประโยชน์ด้านการค้า ไม่ว่าจะกรณีใดๆ ทั้งสิ้น อีกทั้งห้ามมิให้ตัดแปลงเนื้อหา และต้องอ้างอิงถึงเจ้าของเอกสารทุกครั้งที่มีการนำไปใช้

ตารางที่ 4.2 ความเร็วในแต่ละเกียร์ที่หุ่นยนต์วิ่งได้บนพื้นหญ้า

GEAR	ครั้งที่ (cm/10 sec)			ความเร็วเฉลี่ย (cm/10 sec)	ความเร็ว (m/s)
	1	2	3		
1	10	9.5	10	9.83	0.010
2	23	22.5	22	22.5	0.023
3	34.5	34	35.5	34.66	0.035
4	41	40.5	40.5	40.66	0.041



รูปที่ 4.3 พื้นสนามหญ้า

ตารางที่ 4.3 ความเร็วในแต่ละเกียร์ที่หุ่นยนต์วิ่งได้บนพื้นคอนกรีต

GEAR	ครั้งที่ (cm/10 sec)			ความเร็วเฉลี่ย (cm/10 sec)	ความเร็ว (m/s)
	1	2	3		
1	12	11.5	12	11.83	0.012
2	24.5	24.5	24.5	24.5	0.025
3	37.5	37	37.5	37.33	0.037
4	45	45	45	45.00	0.045

เอกสารนี้เป็นเอกสารที่สงวนไว้สำหรับการใช้งานเพื่อการศึกษาเท่านั้น ไม่อนุญาตให้นำไปใช้ประโยชน์ด้านการค้า
ไม่ว่ากรณีใดๆ ทั้งสิ้น อีกทั้งห้ามมิให้ตัดแปลงเนื้อหา และต้องอ้างอิงถึงเจ้าของเอกสารทุกครั้งที่มีการนำไปใช้



รูปที่ 4.4 พื้นคอนกรีต

ตารางที่ 4.4 ความเร็วในแต่ละเกียร์ที่หุ่นยนต์วิ่งได้บนพื้นทราย

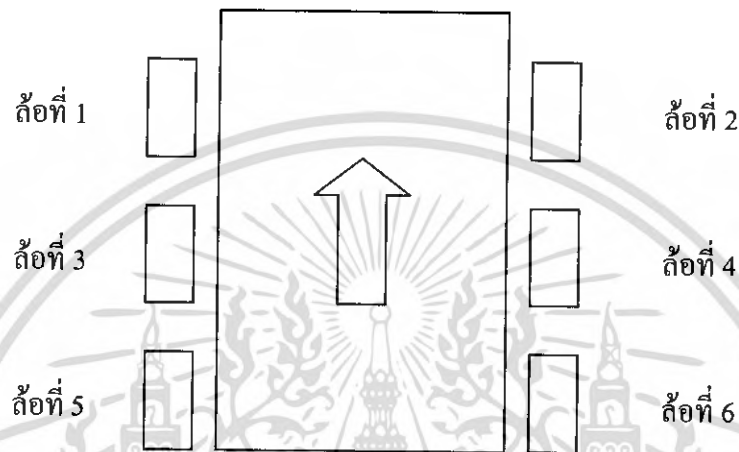
GEAR	ครั้งที่ (cm/10 sec)			ความเร็วเฉลี่ย (cm/10 sec)	ความเร็ว (m/s)
	1	2	3		
1	10.5	10.5	10	11.33	0.011
2	23	24	23	23.33	0.023
3	36.5	36	37	36.50	0.037
4	42	42	42.5	42.16	0.042



เอกสารนี้เป็นเอกสารที่สงวนไว้สำหรับการรูปที่ 4.5 พื้นทรายเท่านั้น ไม่อนุญาตให้นำไปใช้ประโยชน์ด้านการค้า
ไม่ว่ากรณีใดๆ ทั้งสิ้น อีกทั้งห้ามมิให้ดัดแปลงเนื้อหา และต้องอ้างอิงถึงเจ้าของเอกสารทุกครั้งที่มีการนำไปใช้

4.2.2 การทดลองที่ 2

การทดลองนี้จะทำการทดลองเล่นผ่านพื้นเอียงที่มีระดับความเอียงของพื้นที่แตกต่างกัน โดยเริ่มที่ความเอียงที่มุม 5 องศา จากนั้นค่อยๆ เพิ่มมุมเอียงทีละ 5 องศาไปเรื่อยๆ แล้วทำการบันทึกค่าแรงที่เกิดขึ้นแต่ละล้อยแล้วดูว่าที่มุมเอียงสูงสุดเท่าใดที่หุ่นยนต์สามารถเล่นผ่านได้



รูปที่ 4.6 ตำแหน่งอ้างอิงของแต่ละล้อย

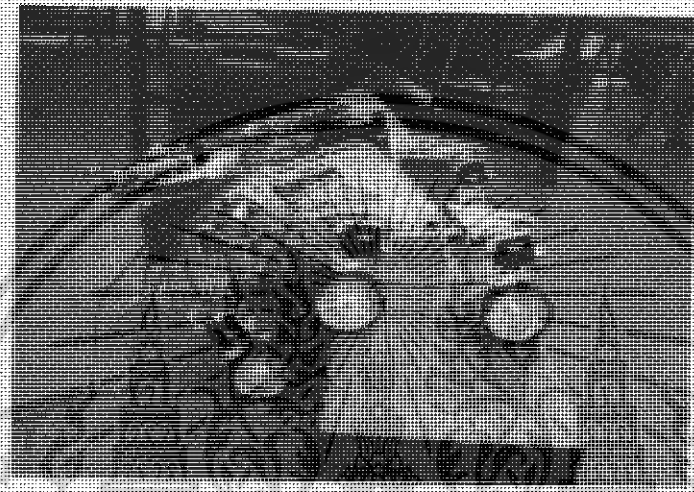
ตารางที่ 4.5 แรงกด (N) ที่เกิดขึ้นแต่ละล้อยเมื่อทำการเล่นผ่านพื้นที่มีมุมเอียงต่างๆกัน

มุม (°)	ล้อยที่ 1	ล้อยที่ 2	ล้อยที่ 3	ล้อยที่ 4	ล้อยที่ 5	ล้อยที่ 6
0	25.12	25.03	25.09	25.34	24.87	24.93
5	20.34	21.33	24.88	25.51	28.22	28.96
10	13.26	13.51	24.03	24.77	38.65	38.31
15	9.87	10.31	23.14	23.21	45.61	45.56
20	6.14	5.86	22.58	23.43	45.42	45.34
25	3.39	3.07	19.16	20.55	45.98	45.02
30	0.68	0.91	12.37	11.43	45.23	45.02
35	0.00	0.00	4.92	6.13	45.86	45.44
40	0.00	0.00	0.00	0.00	45.67	45.33

เอกสารนี้เป็นเอกสารที่สงวนไว้สำหรับการใช้งานเพื่อการศึกษาเท่านั้น ไม่อนุญาตให้นำไปใช้ประโยชน์ด้านการค้า
ไม่ว่ากรณีใดๆ ทั้งสิ้น อีกทั้งห้ามมิให้ดัดแปลงเนื้อหา และต้องอ้างอิงถึงเจ้าของเอกสารทุกครั้งที่มีการนำไปใช้

4.3.3 การทดลองที่ 3

การทดลองนี้จะทำการให้หุ่นยนต์วิ่งตั้งทิศทางที่มีความสูงเกินครึ่งตัวว่ามีประสิทธิภาพในการเป็นป้อมได้มากกว่าหรือไม่ โดยเริ่มที่ความสูง 4 เซนติเมตร ซึ่งเป็นความสูงเท่ากับครึ่งตัวของหุ่นยนต์ rocko bug จากนั้นค่อย ๆ เพิ่มความสูงของสิ่งกีดขวางขึ้นทีละ 1 เซนติเมตร แล้วดูว่าหุ่นยนต์สามารถวิ่งไปข้างหน้าหรือไม่



รูปที่ 4.7 การให้หุ่นตั้งทิศทางของหุ่นยนต์ rocko-bug

4.3.4 การทดลองที่ 4

การทดลองนี้จะให้ทำการนำหุ่นยนต์ rocko-bug ไปอยู่บนในคูมีประตอร์วังที่มีอุปสรรคและความสูงระต่าง ๆ แล้วสังเกตและวิเคราะห์ การเปลี่ยนแปลงที่ของตัวหุ่นยนต์ว่ามีพฤติกรรมที่เป็นอย่างไร ถัดจากการสังเกตที่มันได้หรือไม่ สามารถหลบหลีกสิ่งกีดขวางที่ไปตามรอยของมันได้หรือไม่



รูปที่ 4.8 การวิ่งในคูมีประตอร์วังของหุ่นยนต์ rocko-bug

บทที่ 5

สรุปผลการทดลอง ปัญหา และข้อเสนอแนะ

5.1 สรุปผลการทดลอง

5.1.1 สรุปผลการทดลองที่ 1

การที่วิ่งไปบนพื้นที่มีสถานะที่แตกต่างกันนั้นพบว่าความเร็วที่ได้มีความแตกต่างกัน โดยที่เมื่อทำการวิ่งไปบนพื้นยาง และพื้นคอนกรีตความเร็วที่ได้จะมีค่ามากคือ ความเร็วสูงสุดอยู่ที่ประมาณ 0.045 m/s ส่วนพื้นหญ้า และพื้นทราย ความเร็วที่ได้จะลดไปเล็กน้อยเนื่องจากความหนืดของพื้นที่สัมผัสกับตัวล้อ ความเร็วสูงสุดจะอยู่ที่ 0.041 และ 0.042 m/s ตามลำดับ การที่จะวิ่งให้ได้ดีที่สภาพพื้นผิวต่างๆ ให้ได้ค่านั้นจะต้องทำการปรับปรุงที่แรงเสียดทานบนล้อ คือทำการเปลี่ยนดอกยาง หรือวัสดุที่ทำล้อให้มีความฝืดกับพื้นผิวที่สัมผัส เช่น ถ้าเป็นทรายก็ควรเพิ่มดอกยางให้มีความลึก เพื่อเมื่อทรายจะได้ผ่านล้อ ได้สะดวกโดยไม่มีการหน่วงล้อเอาไว้ เป็นต้น

5.1.2 สรุปผลการทดลองที่ 2

การวิ่งไปบนพื้นเอียงของหุ่นยนต์ Rocker-bogie ทำได้ค่อนข้างดีมากที่สุดนี้ขึ้นอยู่กับกำลังขับของมอเตอร์ ของมอเตอร์ที่ใช้ และ Balance น้ำหนักของตัวหุ่นยนต์ การทดลองนี้ตัวหุ่นยนต์พลิกคว่ำที่มุม 40 องศา เนื่องจากน้ำหนักที่วิ่งไปเกินล้อด้านหลัง และกำลังมอเตอร์ไม่สามารถขับน้ำหนักที่ทั้งหมดของตัวรถได้ รถจะหยุดและพลิกหงาย การแก้ไขทำได้โดย อาจเพิ่มกำลังของมอเตอร์ และ Balance น้ำหนักใหม่ให้มีโมเมนต์มากขึ้น หรือเพิ่มความยาวของฐานรถให้น้ำหนักตกไม่ให้เกินล้อด้านหลัง

5.1.3 สรุปผลการทดลองที่ 3

การปีนข้ามอุปสรรคที่ตั้งฉากกับพื้นผิว หุ่นยนต์ Rocker-bogie ทำได้ดีมาก คือทำได้ที่มีความสูงเกือบสองเท่าของล้อ ที่ 15.2 ซม. โดยที่ความสูงมากกว่านี้ ตัวหุ่นยนต์นั้นจะไม่สามารถปีนขึ้นล้อหลังให้ข้ามไปได้ การแก้ไขทำได้โดยเพิ่มกำลังของมอเตอร์ และ Balance น้ำหนักให้มีความสมดุล

5.1.4 สรุปผลการทดลองที่ 4

การนำไปลงพื้นที่จริงพบว่าค่อนข้างเคลื่อนที่ไปได้ด้วยดี และข้ามอุปสรรคเป้าหมายที่ต้องการ ได้อย่างดีแต่มีบางอุปสรรคที่ต้องหลีกเลี่ยง คือ ที่ที่มีหินสูงต่อเนื่องกันเป็นทอดๆ ซึ่งจะทำให้ล้อไม่สามารถสัมผัสพื้นได้ ทำให้หุ่นยนต์เกิดการล้มและพลิกคว่ำได้

เอกสารนี้เป็นเอกสารที่สงวนลิขสิทธิ์การสงวนลิขสิทธิ์ของเอกสารนี้ เพื่อให้ผู้จัดทำนำไปใช้ประโยชน์ด้านการค้า
ไม่ว่ากรณีใดๆ ทั้งสิ้น อีกทั้งห้ามมิให้ดัดแปลงเนื้อหา และต้องอ้างอิงถึงเจ้าของเอกสารทุกครั้งที่มีการนำไปใช้

บรรณานุกรม

1. “Mars Pathfinder” : www.mpf.jpl.nasa.gov/MPF
2. “Sojourner” : <http://mpf.jpl.nasa.gov/MPF/rover/sojourner.html>
3. Harcot Herve , “Analysis and Simulation of a Exploration Rover”,M.S. Thesis , Massachusetts Institute of Technology , Cambridge , MA , 1998.
4. นคร ภัคดีชาติ , ชีรบุญย์ หล่อวิเชียรรุ่ง , ชัยวัฒน์ ลิ้มพรจิตรวิไล , “ปฏิบัติการ ไมโครคอนโทรลเลอร์ MCS-51 ด้วยโปรแกรมภาษาซี” , Innovative Experiment Press.
5. ไสว พงศ์สวัสดิ์ , “อิเล็กทรอนิกส์กำลัง (power electronics)” , ภาควิชาวิศวกรรมการวัดคุม คณะวิศวกรรมศาสตร์ สถาบันเทคโนโลยีพระจอมเกล้าเจ้าคุณทหารลาดกระบัง
6. ฉันทวุฒิ พิษผล , พิชิต สันติกุลานนท์ , พร้อมเลิศ หล่อวิจิตร , “คู่มือเรียน Visual Basic 6” , Provision
7. Engineering Innovator Club : <http://www.eng.chula.ac.th/~merobot>
8. “Rocker Bogie Robot” , Washington State University : <http://www.wsu.edu>
9. ThaiIO : <http://www.thaiio.com>

เอกสารนี้เป็นเอกสารที่สงวนไว้สำหรับการใช้งานเพื่อการศึกษาเท่านั้น ไม่อนุญาตให้นำไปใช้ประโยชน์ด้านการค้า
ไม่ว่ากรณีใดๆ ทั้งสิ้น อีกทั้งห้ามมิให้ดัดแปลงเนื้อหา และต้องอ้างอิงถึงเจ้าของเอกสารทุกครั้งที่มีการนำไปใช้



เอกสารนี้เป็นเอกสารที่สงวนไว้สำหรับการใช้งานเพื่อการศึกษาเท่านั้น ไม่อนุญาตให้นำไปใช้ประโยชน์ด้านการค้า
ไม่ว่ากรณีใดๆ ทั้งสิ้น อีกทั้งห้ามมิให้ดัดแปลงเนื้อหา และต้องอ้างอิงถึงเจ้าของเอกสารทุกครั้งที่มีการนำไปใช้

ภาคผนวก ก
Source Code

```

Source Code ของการติดต่อไปบนคอมพิวเตอร์ขงคุณ
Option Explicit
Public a As Integer
Public Data As String

Private Sub Form_Load()
On Error Resume Next
MSCom1.CommPort = 1
MSCom1.InputLen = 1
MSCom1.Settings = "9600 , n , 8 , 1"
MSCom1.PortOpen = True
MSCom1.RThreshold = 1
optSlide.Value = True
End Sub

Private Sub cmdForward_MouseDown(Button As Integer, Shift As Integer, X As Single, Y As Single)
On Error Resume Next
If Button = vbLeftButton Then
MSCom1.Output = "F"
lblDrive.Caption = "Forward"
End If
End Sub

Private Sub cmdForward_MouseUp(Button As Integer, Shift As Integer, X As Single, Y As Single)
On Error Resume Next

```

```

If Button = vbLeftButton Then
MSCom1.Output = "S"
lblDrive.Caption = "Stop"
End If
End Sub

Private Sub cmdBack_MouseDown(Button As Integer, Shift As Integer, X As Single, Y As Single)
On Error Resume Next
If Button = vbLeftButton Then
MSCom1.Output = "B"
lblDrive.Caption = "Backward"
End If
End Sub

Private Sub cmdBack_MouseUp(Button As Integer, Shift As Integer, X As Single, Y As Single)
On Error Resume Next
If Button = vbLeftButton Then
MSCom1.Output = "S"
lblDrive.Caption = "Stop"
End If
End Sub

Private Sub cmdRight_MouseDown(Button As Integer, Shift As Integer, X As Single, Y As Single)
On Error Resume Next
If Button = vbLeftButton Then
MSCom1.Output = "R"
End If
End Sub

```

```

Private Sub cmdRight_MouseDown(Button As Integer, Shift As Integer, X As Single, Y As Single)
On Error Resume Next
If Button = vbLeftButton Then
MSCom1.Output = "L"
End If
End Sub

Private Sub cmdIncrease_click()
On Error Resume Next
MSCom1.Output = "I"
End Sub

Private Sub cmdDecrease_click()
On Error Resume Next
MSCom1.Output = "D"
End Sub

Private Sub optSlide_click()
On Error Resume Next
MSCom1.Output = "X"
End Sub

Private Sub optRadius_click()
On Error Resume Next
MSCom1.Output = "Y"
End Sub

Private Sub optCircle_click()
On Error Resume Next
MSCom1.Output = "Z"
End Sub

```

```

Private Sub MSCom1_OnComm()
On Error Resume Next
Select Case MSCom1.CommEvent
Case comEvReceive
Data = MSCom1.Input
MSCom1.InBufferCount = 0
Select Case Data
Case "a"
lblAngle.Caption = "-89.8"
Case "b"
lblAngle.Caption = "-81.64"
Case "c"
lblAngle.Caption = "-73.48"
Case "d"
lblAngle.Caption = "-65.32"
Case "e"
lblAngle.Caption = "-57.16"
Case "f"
lblAngle.Caption = "-49"
Case "g"
lblAngle.Caption = "-40.84"
Case "h"
lblAngle.Caption = "-32.68"
Case "i"
lblAngle.Caption = "-24.52"
Case "j"
lblAngle.Caption = "-16.36"
Case "k"
lblAngle.Caption = "-8.18"
Case "l"
lblAngle.Caption = "0"

```

เอกสารนี้เป็นเอกสารที่สงวนไว้สำหรับการใช้ภายในเพื่อการศึกษาเท่านั้น ไม่อนุญาตให้นำไปใช้ประโยชน์ด้านการค้า
 หรือการฉ้อโกงใดๆ ทั้งสิ้น อีกทั้งห้ามมิให้ตัดแปลงเนื้อหา และต้องอ้างอิงถึงเจ้าของเอกสารทุกครั้งที่มีการนำไปใช้

```

Case "m"
    lblAngle.Caption = "8.18"
Case "n"
    lblAngle.Caption = "16.36"
Case "o"
    lblAngle.Caption = "24.52"
Case "p"
    lblAngle.Caption = "32.68"
Case "q"
    lblAngle.Caption = "40.84"
Case "r"
    lblAngle.Caption = "49"
Case "s"
    lblAngle.Caption = "57.16"
Case "t"
    lblAngle.Caption = "65.32"
Case "u"
    lblAngle.Caption = "73.46"
Case "v"
    lblAngle.Caption = "81.64"
Case "w"
    lblAngle.Caption = "89.8"
Case "0"
    lblLevel.Caption = "LEVEL 0"
Case "1"
    lblLevel.Caption = "LEVEL 1"
Case "2"
    lblLevel.Caption = "LEVEL 2"
Case "3"
    lblLevel.Caption = "LEVEL 3"
Case "4"
    lblLevel.Caption = "LEVEL 4"

```

```

Case "X"
    lblMode.Caption = "Slide"
Case "Y"
    lblMode.Caption = "Radius"
Case "Z"
    lblMode.Caption = "Circle"
End Select
End Select
End Sub

Private Sub from_keyDown(KeyCode As Integer, Shift As Integer)
On Error Resume Next
If a = 0 Then
    Select Case KeyCode
        Case vbKeyW
            MSCom1.Output = "F"
            lblDrive.Caption = "Forward"
        Case vbKeyS
            MSCom1.Output = "B"
            lblDrive.Caption = "Backward"
        Case vbKeyD
            MSCom1.Output = "R"
        Case vbKeyA
            MSCom1.Output = "L"
    End Select
End If
a = 1
End Sub

Private Sub from_keyUp(KeyCode As Integer, Shift As Integer)
On Error Resume Next
a = 1

```

```

Select Case KeyCode
Case vbKeyW
    MSCom1.Output = "S"
    lblDrive.Caption = "Stop"
Case vbKeyS
    MSCom1.Output = "S"
    lblDrive.Caption = "Stop"
End Select
End Sub

```

```

Private Sub cmdExit_click()
End
End Sub

```

Source Code For MCS-51

```

#include<reg51.h>
#include<12C.h>
#include<stdio.h>
//DECLARATIONS FOR GLOBAL
//DECLARATIONS FOR GLOBAL

unsigned char input,mode;
unsigned char index_speed,index_servo;
bit enable;
sbit p1_0=P1^0;
sbit p1_1=P1^1;
sbit p1_2=P1^2;
sbit move_forward=P2^2;
sbit move_backward=P2^3;
sbit relay=P2^4;

```

```

//DECLARATIONS FOR SLIDE MODE
code unsigned char
pwm_slide[23]={248,247,246,245,244,243,242,241,240,239,238,237,236,235,234,233,232,231,230,229,228,227,226};
unsigned char speed_slide[5]={127,159,191,223,255};

//DECLARATIONS FOR RADIUS MODE
unsigned char index_servo_radius_left_wheelrear,index_servo_radius_right_wheelrear;
bit speed_radius_forward,speed_radius_backward;
code unsigned char eta2[23]={0,0,0,0,0,0,0,245,241,238,237,236,233,229,0,0,0,0,0,0,0};
//FORWARD GEAR1
code unsigned char speed_radius_outer_gear1_forward[4]={128,128+32,128+32,128+32};
code unsigned char speed_radius_inner_gear1_forward[4]={128,128+24,128+18,128+15};
code unsigned char speed_radius_center_outer_gear1_forward[4]={128,128+32,128+31,128+29};
code unsigned char speed_radius_center_inner_gear1_forward[4]={128,128+24,128+16,128+7};
//FORWARD GEAR2
code unsigned char speed_radius_outer_gear2_forward[4]={128,128+64,128+64,128+64};
code unsigned char speed_radius_inner_gear2_forward[4]={128,128+49,128+36,128+30};
code unsigned char speed_radius_center_outer_gear2_forward[4]={128,128+63,128+61,128+58};
code unsigned char speed_radius_center_inner_gear2_forward[4]={128,128+48,128+31,128+14};
//FORWARD GEAR3
code unsigned char speed_radius_outer_gear3_forward[4]={128,128+96,128+96,128+96};

```

นี่เป็นเอกสารที่สงวนไว้สำหรับการใช้งานเพื่อการศึกษาเท่านั้น
 ไม่ควรแก้ไขใดๆ ทั้งสิ้น อีกทั้งห้ามมิให้ตัดแปลงเนื้อหา และต้องอ้างอิงถึงที่มาของเอกสารด้วย

```

code unsigned char speed_radius_inner_gear3_forward[4]={128,128+73,128+54,128+45};
code unsigned char
speed_radius_center_outer_gear3_forward[4]={128,128+95,128+92,128+87};
code unsigned char
speed_radius_center_inner_gear3_forward[4]={128,128+72,128+47,128+20};
//FORWARD GEAR4
code unsigned char speed_radius_outer_gear4_forward[4]={128,128+127,128+127,128+127};
code unsigned char speed_radius_inner_gear4_forward[4]={128,128+97,128+72,128+60};
code unsigned char
speed_radius_center_outer_gear4_forward[4]={128,128+127,128+123,128+116};
code unsigned char
speed_radius_center_inner_gear4_forward[4]={128,128+96,128+62,128+127};
//BACKWARD GEAR1
code unsigned char speed_radius_outer_gear1_backward[4]={128,128-32,128-32,128-32};
code unsigned char speed_radius_inner_gear1_backward[4]={128,128-24,128-18,128-15};
code unsigned char speed_radius_center_outer_gear1_backward[4]={128,128-32,128-31,128-29};
code unsigned char speed_radius_center_inner_gear1_backward[4]={128,128-24,128-16,128-7};
//BACKWARD GEAR2
code unsigned char speed_radius_outer_gear2_backward[4]={128,128-64,128-64,128-64};
code unsigned char speed_radius_inner_gear2_backward[4]={128,128-49,128-36,128-30};
code unsigned char speed_radius_center_outer_gear2_backward[4]={128,128-63,128-61,128-58};
code unsigned char speed_radius_center_inner_gear2_backward[4]={128,128-48,128-31,128-14};
//BACKWARD GEAR3
code unsigned char speed_radius_outer_gear3_backward[4]={128,128-96,128-96,128-96};
code unsigned char speed_radius_inner_gear3_backward[4]={128,128-73,128-54,128-45};
code unsigned char speed_radius_center_outer_gear3_backward[4]={128,128-95,128-92,128-87};

```

```

code unsigned char speed_radius_center_inner_gear3_backward[4]={128,128-72,128-47,128-20};
//BACKWARD GEAR4
code unsigned char speed_radius_outer_gear4_backward[4]={128,128-128,128-128,128-128};
code unsigned char speed_radius_inner_gear4_backward[4]={128,128-97,128-72,128-60};
code unsigned char speed_radius_center_outer_gear4_backward[4]={128,128-127,128-123,128-116};
code unsigned char speed_radius_center_inner_gear4_backward[4]={128,128-96,128-62,128-27};
//TEMPOLARY AKRAY
unsigned char temp_speed_radius_outer[4]={0,0,0,0};
unsigned char temp_speed_radius_inner[4]={0,0,0,0};
unsigned char temp_speed_radius_center_outer[4]={0,0,0,0};
unsigned char temp_speed_radius_center_inner[4]={0,0,0,0};
//DECLARATIONS FOR CIRCLE MODE
bit speed_circle_forward,speed_circle_backward;
unsigned char
speed_circle_outer_forward,speed_circle_outer_backward,speed_circle_inner_forward,speed_circle_inner_backward;
DECLARATION FOR FUNCTION SEND_TORQUE
unsigned char torque1,torque2,torque3,torque4,torque5,torque6;

```

```

float Ki=1;//konstant Ki Nm.
float mew=1;
//float gain=2.5;
float display1,display2,display3,display4,display5,display6;
float temp1,temp2,temp3,temp4,temp5,temp6;
// END OF ALL DECLARATIONS
void read_torque(unsigned char address)
{
    unsigned char temp;
    i2c_start();
    i2c_write(address);
    i2c_write(0x40);
    i2c_stop();
    i2c_start();
    i2c_write(address+1);
    temp = i2c_read();
    i2c_Nack();
    i2c_stop();
    return(temp);
}
void write_D2A(unsigned char address,unsigned char speed)
{
    i2c_start();
    i2c_write(address);
    i2c_write(0x40);
    i2c_writ(speed);
}

```

```

i2c_stop();
void stop(void)
{
    write_D2A(0x92,0x7F);
    write_D2A(0x94,0x7F);
    write_D2A(0x96,0x7F);
    write_D2A(0x98,0x7F);
    write_D2A(0x9A,0x7F);
    write_D2A(0x9C,0x7F);
}
void delay (void)
{
    unsigned char i,j;
    for(i=0;i<255;i++)
    for(j=0;j<255;j++);
}
void delay_infarad (void){/delay time = 0.003 sec
{
    unsigned char i,j;
    for(i=0;i<255;i++)
    for(j=0;j<21;j++);
}
void send_inform_speed(unsigned char inform_speed)
{
    switch(inform_speed)
    {

```

เอกสารนี้เป็นเอกสารที่สงวนไว้สำหรับการใช้งานเพื่อการศึกษา
 ไม่ควรแก้ไข หรือทำซ้ำโดยไม่ได้รับอนุญาต
 หากมีการแก้ไข หรือทำซ้ำโดยไม่ได้รับอนุญาต
 ผู้จัดทำขอสงวนสิทธิ์ในสิ่งที่ปรากฏ และไม่ต้องรับผิดชอบต่อการใช้งานเอกสารทุกครั้งที่มีการนำไปใช้

```

    case 0:SBUF='0';
        break;
    case 1:SBUF='1';
        break;
    case 2:SBUF='2';
        break;
    case 3:SBUF='3';
        break;
    case 4:SBUF='4';
        break;
}
delay();
}

void send_inform_servo(unsigned char inform_servo)
{
    switch(inform_servo)
    {
        case 0:SBUF='a';
            break;
        case 1:SBUF='b';
            break;
        case 2:SBUF='c';
            break;
        case 3:SBUF='d';
            break;
        case 4:SBUF='e';
            break;
        case 5:SBUF='f';
            break;
        case 6:SBUF='g';
            break;
    }
}

```

```

    case 7:SBUF='h';
        break;
    case 8:SBUF='i';
        break;
    case 9:SBUF='j';
        break;
    case 10:SBUF='k';
        break;
    case 11:SBUF='l';
        break;
    case 12:SBUF='m';
        break;
    case 13:SBUF='n';
        break;
    case 14:SBUF='o';
        break;
    case 15:SBUF='p';
        break;
    case 16:SBUF='q';
        break;
    case 17:SBUF='r';
        break;
    case 18:SBUF='s';
        break;
    case 19:SBUF='t';
        break;
    case 20:SBUF='u';
        break;
    case 21:SBUF='v';
        break;
    case 22:SBUF='w';
        break;
}

```

```

}
delay();
}

void send_torque(void)
{
    RI=0;
    TI=1;

    torque1=read_torque(0x92);
    temp1=torque1;
    display1=(2*(temp1/256));
    printf("%d",display1);
    delay();

    torque2=read_torque(0x94);
    temp2=torque2;
    display2=(2*(temp2/256));
    printf("%d",display2);
    delay();

    torque3=read_torque(0x96);
    temp3=torque3;
    display3=(2*(temp3/256));
    printf("%d",display3);
    delay();

    torque4=read_torque(0x98);
    temp4=torque4;
}

```

```

display4=(2*(temp4/256));
printf("%d",display4);
delay();

torque5=read_torque(0x9A);
temp5=torque5;
display5=(2*(temp5/256));
printf("%d",display5);
delay();

torque6=read_torque(0x9C);
temp6=torque6;
display6=(2*(temp6/256));
printf("%d",display6);
delay();

RI=0;
TI=0;

torque1=0;
torque2=0;
torque3=0;
torque4=0;
torque5=0;
torque6=0;
temp1=0;
temp2=0;
temp3=0;
temp4=0;

```

เอกสารนี้เป็นเอกสารที่สงวนไว้สำหรับการใช้งานเพื่อการศึกษาเท่านั้น ไม่อนุญาตให้นำไปใช้ประโยชน์ด้านการค้า
 ไม่ว่ากรณีใดๆ ทั้งสิ้น อีกทั้งห้ามมิให้ดัดแปลงเนื้อหา และต้องอ้างอิงถึงเจ้าแหล่งเอกสารทุกครั้งที่มีการนำไปใช้

```

temp5=0;
temp6=0;
display1=0;
display2=0;
display3=0;
display4=0;
display5=0;
display6=0;
}

void service_serial() interrupt 4
{
  if(RI)
  {
    RI=0;
    input=SBUF;
    switch(input)
    {
      case 'X':mode=0x01;
        break;

      case 'Y':mode=0x02;
        break;

      case 'Z':mode=0x03;
        break;

      case 'L':{
        if(index_servo>0)
        index_servo--;
        delay_infrared();
        send_inform_servo(index_servo);
        }
        break;

      case 'R':{

```

```

        if(index_servo<22)
        index_servo++;
        delay_infrared();
        send_inform_servo(index_servo);
        }
        break;

      case 'I':{
        if(index_speed<4)
        index_speed++;
        delay_infrared();
        send_inform_speed(index_speed);
        }
        break;

      case 'D':{
        if(index_speed>0)
        index_speed--;
        delay_infrared();
        send_inform_speed(index_speed);
        }
        break;

      case 'T':{
        send_torque();
        delay_infrared();
        }
        break;

      case 'P':{
        speed_slide[0]=127;
        speed_slide[1]=159;
        speed_slide[2]=191;
        speed_slide[3]=223;
        speed_slide[4]=255;
        enable=1;

```

```

        if(index_speed!=0)
        {
          move_forward=1;
          move_backward=0;
        }
        relay=0;
        speed_radius_forward=1;
        speed_radius_backward=0;
        speed_circle_forward=1;
        speed_circle_backward=0;
      }
      break;

      case 'D':{
        speed_slide[0]=127;
        speed_slide[1]=95;
        speed_slide[2]=63;
        speed_slide[3]=31;
        speed_slide[4]=0;
        enable=1;
        if(index_speed!=0)
        {
          move_forward=0;
          move_backward=1;
        }
        relay=1;
        speed_radius_forward=0;
        speed_radius_backward=1;
        speed_circle_forward=0;
        speed_circle_backward=1;
      }
      break;

      case 'S':{

```

```

        enable=0;
        move_forward=0;
        move_backward=0;
        relay=0;
        speed_radius_forward=0;
        speed_radius_backward=0;
        speed_circle_forward=0;
        speed_circle_backward=0;
      }
      break;
    }
  }

  if(TI)
  {
    TI=0;
  }
}

void slide(void)
{
  p1_0=1;
  p1_1=0;
  p1_2=0;

  CCAP0L=pwm_slide[index_servo];
  CCAP0H=pwm_slide[index_servo];
  CCAP1L=pwm_slide[index_servo];
  CCAP1H=pwm_slide[index_servo];
  CCAP2L=pwm_slide[index_servo];

```

เอกสารนี้เป็นเอกสารสงวนลิขสิทธิ์สำหรับการใช้งานเพื่อการศึกษาเท่านั้น ไม่อนุญาตให้นำไปใช้ประโยชน์ด้านการค้า
 ไม่ว่ากรณีใดๆ ทั้งสิ้น อีกทั้งห้ามมิให้ดัดแปลงเนื้อหา และต้องอ้างอิงถึงชื่อผู้จัดทำเอกสารทุกครั้งที่มีการนำไปใช้

```

CCAP2H=pwm_slide(index_servo);

CCAP3L=pwm_slide(index_servo);
CCAP3H=pwm_slide(index_servo);

CCAP4L=pwm_slide(index_servo);
CCAP4H=pwm_slide(index_servo);

if(index_speed==0)
enable=0;

if(enable==1)
{
write_D2A(0x92,speed_slide(index_speed));
write_D2A(0x94,speed_slide(index_speed));
write_D2A(0x96,speed_slide(index_speed));
write_D2A(0x98,speed_slide(index_speed));
write_D2A(0x9A,speed_slide(index_speed));
write_D2A(0x9C,speed_slide(index_speed));
}
else
stop();
}

void radius_center(void)
{
p1_0=0;
p1_1=1;
p1_2=0;

CCAP0L=pwm_slide(index_servo);
CCAP0H=pwm_slide(index_servo);

```

```

CCAP1L=pwm_slide(index_servo);
CCAP1H=pwm_slide(index_servo);

CCAP2L=pwm_slide(index_servo);
CCAP2H=pwm_slide(index_servo);

CCAP3L=pwm_slide(index_servo);
CCAP3H=pwm_slide(index_servo);

CCAP4L=pwm_slide(index_servo);
CCAP4H=pwm_slide(index_servo);

if(index_speed==0)
enable=0;

if(enable==1)
{
write_D2A(0x92,speed_slide(index_speed));
write_D2A(0x94,speed_slide(index_speed));
write_D2A(0x96,speed_slide(index_speed));
write_D2A(0x98,speed_slide(index_speed));
write_D2A(0x9A,speed_slide(index_speed));
write_D2A(0x9C,speed_slide(index_speed));
}
else
stop();
}

void radius_left(void)
{
unsigned char i;

```

```

if(index_servo<8)
index_servo=8;

index_servo_radius_left_2wheelrear=(11+(11-index_servo));

CCAP1L=pwm_slide(index_servo);
CCAP1H=pwm_slide(index_servo);

CCAP4L=pwm_slide(index_servo_radius_left_2wheelrear);
CCAP4H=pwm_slide(index_servo_radius_left_2wheelrear);

CCAP2L=237;
CCAP2H=237;

CCAP0L=zeta2(index_servo);
CCAP0H=zeta2(index_servo);

CCAP3L=zeta2(index_servo_radius_left_2wheelrear);
CCAP3H=zeta2(index_servo_radius_left_2wheelrear);

if(index_speed==0)
enable=0;

if(enable==1)
{
if((speed_radius_forward==1)&(speed_radius_backward==0))
{
switch(index_speed)
{
case 1: {
for(i=0;i<4;i++)

```

```

temp_speed_radius_outer[i]=speed_radius_outer_gear1_forward[i];
temp_speed_radius_inner[i]=speed_radius_inner_gear1_forward[i];

temp_speed_radius_center_outer[i]=speed_radius_center_outer_gear1_forward[i];
temp_speed_radius_center_inner[i]=speed_radius_center_inner_gear1_forward[i];
}
break;
case 2: {
for(i=0;i<4;i++)
{
temp_speed_radius_outer[i]=speed_radius_outer_gear2_forward[i];
temp_speed_radius_inner[i]=speed_radius_inner_gear2_forward[i];
temp_speed_radius_center_outer[i]=speed_radius_center_outer_gear2_forward[i];
temp_speed_radius_center_inner[i]=speed_radius_center_inner_gear2_forward[i];
}
break;
case 3: {
for(i=0;i<4;i++)
temp_speed_radius_outer[i]=speed_radius_outer_gear3_forward[i];
temp_speed_radius_inner[i]=speed_radius_inner_gear3_forward[i];

```

เอกสารนี้เป็นเอกสารที่สงวนไว้สำหรับการใช้งานเพื่อการศึกษาเท่านั้น ไม่อนุญาตให้นำไปใช้ประโยชน์ด้านการค้า
 ไม่ว่าการณี case 1: { ทั้งสิ้น อีกทั้งห้ามมิให้ตัดแปลงเนื้อหา และต้องอ้างอิงถึงเลขออกเอกสารชุดนี้ที่มีวางจำหน่ายไปใช้

```

temp_speed_radius_center_outer[i]=speed_radius_center_outer_gear3_forward[i];

temp_speed_radius_center_inner[i]=speed_radius_center_inner_gear3_forward[i];
    }
    }
    break;
    case 4:{
        for(i=0;i<4;i++)
        {
temp_speed_radius_outer[i]=speed_radius_outer_gear4_forward[i];

temp_speed_radius_inner[i]=speed_radius_inner_gear4_forward[i];

temp_speed_radius_center_outer[i]=speed_radius_center_outer_gear4_forward[i];

temp_speed_radius_center_inner[i]=speed_radius_center_inner_gear4_forward[i];
        }
    }
    break;
}
}

```

```

if(speed_radius_forward==0)&&(speed_radius_backward==1))
{
    switch(index_speed)
    {
        case 1:{
            for(i=0;i<4;i++)
            {

```

```

temp_speed_radius_outer[i]=speed_radius_outer_gear1_backward[i];

temp_speed_radius_inner[i]=speed_radius_inner_gear1_backward[i];

temp_speed_radius_center_outer[i]=speed_radius_center_outer_gear1_backward[i];

temp_speed_radius_center_inner[i]=speed_radius_center_inner_gear1_backward[i];
    }
    }
    break;
    case 2:{
        for(i=0;i<4;i++)
        {
temp_speed_radius_outer[i]=speed_radius_outer_gear2_backward[i];

temp_speed_radius_inner[i]=speed_radius_inner_gear2_backward[i];

temp_speed_radius_center_outer[i]=speed_radius_center_outer_gear2_backward[i];

temp_speed_radius_center_inner[i]=speed_radius_center_inner_gear2_backward[i];
        }
    }
    break;

```

```

    case 3:{
        for(i=0;i<4;i++)
        {
temp_speed_radius_outer[i]=speed_radius_outer_gear3_backward[i];

temp_speed_radius_inner[i]=speed_radius_inner_gear3_backward[i];

```

```

temp_speed_radius_center_outer[i]=speed_radius_center_outer_gear3_backward[i];

temp_speed_radius_center_inner[i]=speed_radius_center_inner_gear3_backward[i];
    }
    }
    break;
    case 4:{
        for(i=0;i<4;i++)
        {
temp_speed_radius_outer[i]=speed_radius_outer_gear4_backward[i];

temp_speed_radius_inner[i]=speed_radius_inner_gear4_backward[i];

temp_speed_radius_center_outer[i]=speed_radius_center_outer_gear4_backward[i];

temp_speed_radius_center_inner[i]=speed_radius_center_inner_gear4_backward[i];
        }
    }
    break;
}
}

```

```

write_D2A(0x94,temp_speed_radius_outer[index_speed]);
write_D2A(0x9C,temp_speed_radius_outer[index_speed]);

write_D2A(0x96,temp_speed_radius_center_inner[index_speed]);
write_D2A(0x98,temp_speed_center_outer[index_speed]);

write_D2A(0x92,temp_speed_radius_inner[index_speed]);

```

```

write_D2A(0x9A,temp_speed_radius_inner[index_speed]);
}
else
stop();

```

```

void radius_right(void)
{
    unsigned char i;
    if(index_servo>14)
    index_servo=14;

    index_servo_radius_right=11-(index_servo-11);

    CCAP0L=pwm_slide[index_servo];
    CCAP0H=pwm_slide[index_servo];

    CCAP3L=pwm_slide[index_servo_radius_right_2wheelrear];
    CCAP3H=pwm_slide[index_servo_radius_right_2wheelrear];

    CCAP2L=237;
    CCAP2H=237;

    CCAP1L=zeta2[index_servo];
    CCAP1H=zeta2[index_servo];

    CCAP4L=zeta2[index_servo_radius_right_2wheelrear];
    CCAP4H=zeta2[index_servo_radius_right_2wheelrear];

    if(index_speed==0)
    enable=0;
}

```

เอกสารนี้เป็นเอกสารที่สงวนลิขสิทธิ์การใช้งานเพื่อการศึกษาเท่านั้น ไม่สามารถนำเอกสารไปใช้โดยไม่ได้รับอนุญาต
 ไม่มีการแก้ไขใดๆ ทั้งสิ้น ยกเว้นให้ตัดแปลงเนื้อหา และต้องอ้างอิงถึงเจ้าของเอกสารทุกครั้งที่มีการนำไปใช้


```

}
else
stop();
}

void radius(void)
{
    p1_0=0;
    p1_1=1;
    p1_2=0;

    if(index_servo<11)
        radius_left();
    if(index_servo==11)
        radius_center();
    if(index_servo>11)
        radius_right();
}

void circle(void)
{
    p1_0=0;
    p1_1=0;
    p1_2=1;

    CCAP0L=230; // about 57.27 degree but the thruth must be 60 degree
    CCAP0H=230;

    CCAP1L=244;
    CCAP1H=244;

    CCAP2L=237;

```

```

CCAP2H=237;

CCAP3L=244;
CCAP3H=244;

CCAP4L=230;
CCAP4H=230;

if(index_speed==0)
    enable=0;

if(enable==1)
{
    if((speed_circle_forward==1)&&(speed_circle_backward==0))
    {
        switch(index_speed)
        {
            case 1: {
                speed_circle_outer_forward=128+32;
                speed_circle_inner_forward=128+21;
            }
            break;

            case 2: {
                speed_circle_outer_forward=128+64;
                speed_circle_inner_forward=128+41;
            }
            break;

            case 3: {
                speed_circle_outer_forward=128+96;
                speed_circle_inner_forward=128+62;
            }
            break;

```

```

            case 4: {
                speed_circle_outer_forward=128+127;
                speed_circle_inner_forward=128+82;
            }
            break;

        }

        write_D2A(0x92,speed_circle_outer_forward);//outer wheel
        write_D2A(0x94,speed_circle_outer_backward)//outer wheel

        write_D2A(0x9A,speed_circle_outer_forward)//outer wheel
        write_D2A(0x9C,speed_circle_outer_backward)//outer wheel

        write_D2A(0x96,speed_circle_inner_forward)//inner wheel
        write_D2A(0x98,speed_circle_inner_backward)//inner wheel
    }

    if((speed_circle_forward==0)&&(speed_circle_backward==1))
    {
        switch(index_speed)
        {
            case 1: {
                speed_circle_outer_backward=128-32;
                speed_circle_inner_backward=128-21;
            }
            break;

            case 2: {
                speed_circle_outer_backward=128-64;
                speed_circle_inner_backward=128-41;
            }
            break;

            case 3: {

```

```

                speed_circle_outer_backward=128-96;
                speed_circle_inner_backward=128-62;
            }
            break;

            case 4: {
                speed_circle_outer_backward=128-128;
                speed_circle_inner_backward=128-82;
            }
            break;

        }

        write_D2A(0x92,speed_circle_outer_backward)//outer wheel
        write_D2A(0x94,speed_circle_outer_forward)//outer wheel
        write_D2A(0x9A,speed_circle_outer_backward)//outer wheel
        write_D2A(0x9C,speed_circle_outer_forward)//outer wheel

        write_D2A(0x96,speed_circle_inner_backward)//inner wheel
        write_D2A(0x98,speed_circle_inner_forward)//inner wheel
    }

    else
    stop();
}

void main(void)
{
    enable=0;
    move_forward=0;
    move_backward=0;
    relay=0;
    speed_radius_forward=0;

```

เอกสารนี้เป็นเอกสารสงวนลิขสิทธิ์ของมหาวิทยาลัยเทคโนโลยีพระจอมเกล้าเจ้าคุณทหารลาดกระบัง ใช้งานเพื่อการศึกษาเท่านั้น ไม่อนุญาตให้นำไปใช้ประโยชน์ด้านการค้า
 ไม่ว่าการณีใดๆ ทั้งสิ้น อีกทั้งห้ามมิให้ตัดแปลงเนื้อหา และต้องอ้างอิงถึงที่มาของเอกสารทุกครั้งที่มีการนำไปใช้

```

speed_radius_backward=0;
speed_circle_forward=0;
speed_circle_backward=0;
mode=0x01;
p1_0=1;
p1_1=0;
p1_2=0;

index_servo=11;
index_speed=0;

CMOD=0x04;

TMO1=0x22;
SCON=0x50;
TH0=0x70;
TL0=0x70;
TH1=0xFA;
TL1=0xFA;
TF1=0;
RI=0;
TI=0;
EA=1;
ES=1;

CCAPM0=0x42;
CCAPM1=0x42;
CCAPM2=0x42;
CCAPM3=0x42;
CCAPM4=0x42;

CCAP0L=237;

```

```

CCAP0H=237;

CCAP1L=237;
CCAP1H=237;

CCAP2L=237;
CCAP2H=237;

CCAP3L=237;
CCAP3H=237;

CCAP4L=237;
CCAP4H=237;

TR0=1;
TR1=1;
CCON=0x40;

write_D2A(0x92,0x7F);
write_D2A(0x94,0x7F);
write_D2A(0x96,0x7F);
write_D2A(0x98,0x7F);
write_D2A(0x9A,0x7F);
write_D2A(0x9C,0x7F);
slide();
while(1)
{
switch(mode)
{
case 0x01:slide();
break;
case 0x02:radius();

```

```

break;
case 0x03:circle();
break;
}
}

```

//The End.

เอกสารนี้เป็นเอกสารที่สงวนไว้สำหรับการใช้งานเพื่อการศึกษาเท่านั้น ไม่อนุญาตให้นำไปใช้ประโยชน์ด้านการค้า
ไม่ว่ากรณีใดๆ ทั้งสิ้น อีกทั้งห้ามมิให้ดัดแปลงเนื้อหา และต้องอ้างอิงถึงเจ้าของเอกสารทุกครั้งที่มีการนำไปใช้